

කາງຕົກຕະຫຼາດນໍ້າໄລ ຕະຫຼາມເຮືອມອຸນຍາມ *Apis florea* Fabricius, 1787

ໃນປະເມັນໄກ

ນາງຄວາມຮັບຮັດໄສຫຼາຍ

ຂໍ້ມູນທີ່ພື້ນຖານ ດັ່ງນີ້ແມ່ນຊັບພື້ນຖານທີ່ມີການກົດໝາຍກຳນົດການປັບປຸງວາຈິນກາຕະກຳມາພື້ນທີ່

ສາຂາວິຊາເສົ້າວິທາ ສາຂາວິຊາປິວເຕີມ

ຮຽນວິທາໂຄຮອດ ອຸປະດົງກະໂນກໄວ້ຢ່າງດີ

ປຶກກະທົກ 2544

ISBN 974-17-0213-2

ລົບສັຫະນະເອຸກາສອກຮອມທົດນາອຸບ

การวิเคราะห์ทางมอร์ฟometrikของผึ้งมีม *Apis florea* Fabricius, 1787
ในประเทศไทย

นางสาวทรศนิย์ ไชยวงศ์

วิทยานิพนธ์เป็นส่วนหนึ่งของการศึกษาตามหลักสูตรปริญญาวิทยาศาสตรมหาบัณฑิต
สาขาวิชาสัตววิทยา ภาควิชาชีววิทยา¹
คณะวิทยาศาสตร์ จุฬาลงกรณ์มหาวิทยาลัย
ปีการศึกษา 2544

ISBN 974-17-0213-2

ลิขสิทธิ์ของจุฬาลงกรณ์มหาวิทยาลัย

MORPHOMETRIC ANALYSIS OF THE DWARF HONEY BEE

***Apis florea* Fabricius, 1787 IN THAILAND**

Miss Thadsanee Chaiyawong

A Thesis Submitted in Partial Fulfillment of the Requirements

for the Degree of Master of Science in Zoology

Department of Biology

Faculty of Science

Chulalongkorn University

Academic Year 2001

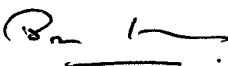
ISBN 974-17-0213-2

หัวข้อวิทยานิพนธ์ การวิเคราะห์ทางmorphometrikของผึ้งมี้ม *Apis florea* Fabricius, 1787
ในประเทศไทย
โดย นางสาวทรรศนีย์ ไชยวงศ์
สาขาวิชา สัตววิทยา
อาจารย์ที่ปรึกษา ศาสตราจารย์ ดร. สิริวัฒน์ วงศ์คิริ
อาจารย์ที่ปรึกษาร่วม อาจารย์ ดร. สุริรัตน์ เดี่ยววราณิชย์

คณะวิทยาศาสตร์ จุฬาลงกรณ์มหาวิทยาลัย อนุมัติให้นับวิทยานิพนธ์ฉบับนี้เป็นส่วนหนึ่ง
ของการศึกษาตามหลักสูตรปริญญาภูมานิพนธ์

 รองคณบดีฝ่ายบริหาร
(รองศาสตราจารย์ ดร. พิพัฒน์ การเที่ยง) รักษาราชการแทนคณบดีคณะวิทยาศาสตร์

คณะกรรมการสอบวิทยานิพนธ์

 ประธานกรรมการ
(รองศาสตราจารย์ จริยา เล็กประยูร)

 อาจารย์ที่ปรึกษา
(ศาสตราจารย์ ดร. สิริวัฒน์ วงศ์คิริ)

 อาจารย์ที่ปรึกษาร่วม
(อาจารย์ ดร. สุริรัตน์ เดี่ยววราณิชย์)

 กรรมการ
(รองศาสตราจารย์ สีมา ชัยสวัสดิ์)

 กรรมการ
(ผู้ช่วยศาสตราจารย์ ดร. กำธร ธีรคุปต์)

บรท - 144007

ทรงคุณย์ ไชยวงศ์ : การวิเคราะห์ทางมอร์ฟومեต릭ของผึ้งมีมีน *Apis florea* Fabricius, 1787 ในประเทศไทย. (MORPHOMETRIC ANALYSIS OF THE DWARF HONEY BEE *Apis florea* Fabricius, 1787 IN THAILAND) อ. ที่ปรึกษา : ศ. ดร. สิริวัฒน์ วงศ์ศิริ, อ. ที่ปรึกษาร่วม : อ. ดร. สุรีรัตน์ เดียววาณิชย์ จำนวนหน้า 108 หน้า. ISBN 974-17-0213-2.

ผึ้งมีมีน *Apis florea* Fabricius, 1787 เป็นผึ้งพื้นเมืองชนิดหนึ่งของประเทศไทย ซึ่งมีการศึกษาทางด้านมอร์ฟومेटริกน้อยมาก การศึกษาครั้งนี้ได้สุ่มเก็บตัวอย่างผึ้งงานจากการจับผึ้งมีมีนที่อยู่ในพื้นที่ต่าง ๆ ของประเทศไทยจำนวน 50 รัง ๆ ละ 15 ตัว เก็บรักษาตัวอย่างในแอลกอฮอล์เข้มข้น 70 เปอร์เซ็นต์เพื่อรอการผ่าตัด เลือกผ่าตัดส่วนต่าง ๆ ที่ใช้ศึกษาลักษณะ 9 ชนิดได้แก่ โพรงอสซิส หนวด ปีกหน้า ปีกหลัง ขาหลัง สเตอร์โนทิที 3 และ 6 และเทอร์ไกต์ที่ 3 และ 4 ติดตัวอย่างบนสไลด์ วัดขนาดความกว้าง ความยาวและมุนของลักษณะที่ศึกษา 22 ลักษณะภายใต้กล้องจุลทรรศน์แบบสเตรอริโอและบันทึกภาพลงในคอมพิวเตอร์

ผลการวิเคราะห์ปัจจัยพบว่ามี 14 ลักษณะที่ถูกคัดเลือกเป็นปัจจัยใหม่ได้ 4 กลุ่ม คือ ปัจจัยที่ 1 มีความสัมพันธ์กับความยาวลำตัว ขาหลังและหนวด ปัจจัยที่ 2 มีความสัมพันธ์กับความยาวเลี้นปีกหน้าและปีกหน้า ปัจจัยที่ 3 มีความสัมพันธ์กับจำนวนไขมูลและขนาดมุนที่ 37 และปัจจัยที่ 4 มีความสัมพันธ์กับขนาดมุนที่ 34 ผลการวิเคราะห์ปัจจัยและการจำแนกกลุ่มโดยใช้ลักษณะทางสัณฐานวิทยาทั้ง 22 ลักษณะ พบร่วมสามารถจำแนกกลุ่มตัวอย่างผึ้งมีมีนได้ แต่สามารถจำแนกตัวอย่างผึ้งมีมีนจากหมู่เดียวกันออกจากหมู่เดียวกันได้ในประเทศไทยได้จากลักษณะทางสัณฐานวิทยา 4 ลักษณะ ได้แก่ forewing-length of radial cell (RCL) length of metatarsus (ML) total length of 3rd sternite (SL3) และ total length of antenna (AL) โดยใช้การทดสอบเบรียบเทียบเชิงช้อนด้วยสถิติ Student-Newman-Keuls ซึ่งอาจจะอธิบายได้จากเหตุผลที่ผึ้งมีมีนมีพฤติกรรมการอพยพตามฤดูกาล การแยกรังและการหนีรังค่อนข้างสูง ทำให้ผึ้งมีมีนมีการแพร่กระจายในธรรมชาติอย่างรวดเร็วและครอบคลุมทั่วทั้งประเทศไทยกว่าการจำกัดอยู่ภายในท้องถิ่น

ภาควิชา ชีววิทยา
สาขาวิชา สัตว์วิทยา
ปีการศึกษา 2544

ลายมือชื่อนิสิต
ลายมือชื่ออาจารย์ที่ปรึกษา
ลายมือชื่ออาจารย์ที่ปรึกษาร่วม

##4172296523 : MAJOR ZOOLOGY

KEY WORD: dwarf honey bee / *Apis florea* / morphometric analysis / Thailand

THADSANEE CHAIYAWONG : MORPHOMETRIC ANALYSIS OF THE DWARF HONEY BEE *Apis florea* Fabricius, 1787 IN THAILAND. THESIS ADVISOR : PROF. SIRIWAT WONGSIRI, Ph.D., THESIS CO-ADVISOR : LECTURER SUREERAT DEOWANISH, D.Agr., 108 pp. ISBN 974-17-0213-2.

Apis florea Fabricius, 1787 is a native honey bee species of Thailand. Little data on morphometric analysis of this species has been reported. Worker bees of *A. florea* from different location of Thailand were randomly collected with fifteen bees per colony from fifty colonies. These bees were preserved in 70% alcohol until they were dissected. The nine body parts selected were: proboscis, antenna, forewing, hindwing, hind leg, the third and sixth sternites, and the third and fourth tergites. These parts were mounted on slides. The measurements of width, length and angle of 22 characters were carried out using a stereo microscope and recorded into a computer.

Factor analysis selected 14 characters of worker bees into four factors. Factor 1: characters associated with the size, hind leg and antenna of the honey bees; Factor 2: length of wing venation and forewing; Factor 3: number of hamuli and angle 37 of venation; and Factor 4: angle 34 of venation. The results of factor and cluster analyses using 22 characters revealed *A. florea* of Thailand distributed into one group. Only 4 characters; forewing-length of radial cell (RCL) length of metatarsus (ML) total length of 3rd sternite (SL3) and total length of antenna (AL) can be used to separate *A. florea* of Islands from the mainland samples by Student-Newman-Keuls Statistics. This might be explained from the behavior of *A. florea*, such as the seasonal migration, swarming, and absconding, that they distribute very widely and rapidly throughout the country, rather than restricting to local populations.

Department Biology Student's signature *Thadsanee Chaiyawong*
Field of study Zoology Advisor's signature *Siriwat*
Academic year 2001 Co-advisor's signature *Sureerat Deowanish*

กิตติกรรมประกาศ

ผู้เขียนขอกราบขอบพระคุณ ศาสตราจารย์ ดร. สิริวัฒน์ วงศ์ศิริ อาจารย์ที่ปรึกษา วิทยานิพนธ์ และ อาจารย์ ดร. สุรีรัตน์ เดี่ยววานิชย์ อาจารย์ที่ปรึกษาวิทยานิพนธ์ร่วม เป็นอย่างสูง ที่ได้ให้คำปรึกษา คำแนะนำ ตลอดจนการสนับสนุนในด้านต่าง ๆ และช่วยแก้ไขข้อบกพร่องของ วิทยานิพนธ์ให้ถูกต้องและสมบูรณ์ ดังแต่เริ่มต้นจนกระทั่งสำเร็จลุล่วงไปด้วยดี

กราบขอบพระคุณ รองศาสตราจารย์ จริยา เล็กประญู ประธานกรรมการสอบวิทยานิพนธ์ รองศาสตราจารย์ สีมา ชัยสวัสดิ์ และผู้ช่วยศาสตราจารย์ ดร. ก้าวอร ชีรคุปต์ กรรมการสอบ วิทยานิพนธ์ ที่ได้กรุณาให้คำแนะนำและตรวจแก้ไขวิทยานิพนธ์ให้ถูกต้องและสมบูรณ์มากยิ่งขึ้น

กราบขอบพระคุณอาจารย์ ดร. ศุภิชัย ตั้งใจตรง ผู้ช่วยศาสตราจารย์ ดร. อัจฉรากรณ์ เปี่ยมสมบูรณ์ และอาจารย์ อัชฎิกา ธรรมทอง ที่ได้กรุณาให้คำแนะนำและความอนุเคราะห์ในการใช้สถานที่และเครื่องมือ จนกระทั่งสำเร็จลุล่วงไปด้วยดี

กราบขอบพระคุณ Prof. Dr. Randall Hepburn Dr. Allen Sylvester ผู้ช่วยศาสตราจารย์ ดร. นันทน์ คงเสนี อาจารย์เล็ก และอาจารย์ยุคล ทองตัน อาจารย์ ดร. วันดี และอาจารย์เดช วัฒนชัยยิ่งเจริญ อาจารย์ ดร. กันทิมา สุวรรณพงศ์ อาจารย์ธงชัย งามประเสริฐวงศ์ นายสุรชัย และนางวิชา ลีพิทักษ์รัตน์ และนายบุญมี กวินเสกสรรค์ ที่ได้กรุณาให้คำปรึกษา คำแนะนำและการสนับสนุนในด้านต่าง ๆ อันเป็นประโยชน์ในการศึกษาเป็นอย่างยิ่ง

ขอบพระคุณนางสาวสุชีรা อินทร์ศร นางสาวปิยมาศ นานอก นายวชิระ กิตติมศักดิ์ นางสาวทิพย์วรรณ สรรสัตย์ นางสุภากรณ์ กี่จินดา ตลอดจนพี่ ๆ เพื่อน ๆ และน้อง ๆ รวมทั้งเจ้าหน้าที่ในภาควิชาชีววิทยาและวิทยาศาสตร์ทางทะเล คณะวิทยาศาสตร์ จุฬาลงกรณ์มหาวิทยาลัย ซึ่งมิอาจจะกล่าวนามได้หมดทุกท่าน ที่กรุณาให้ความช่วยเหลือ อ่านวิทยาความดูด และให้กำลังใจ อันเป็นแรงผลักดันให้วิทยานิพนธ์สำเร็จลุล่วงไปได้ด้วยดี

ขอบพระคุณผู้ที่มิอาจจะกล่าวนามได้ ที่กรุณาให้ความช่วยเหลือ ความอนุเคราะห์ในการใช้สถานที่และอุปกรณ์ และอ่านวิทยาความดูดในการเก็บตัวอย่างจนสำเร็จลุล่วงไปได้ด้วยดี

ผลการวิจัยนี้ได้รับทุนสนับสนุนจากโครงการพัฒนาองค์ความรู้และศึกษานโยบายการจัดการทรัพยากรชีวภาพในประเทศไทย (BRT) ซึ่งร่วมจัดตั้งโดยสำนักงานกองทุนสนับสนุนการวิจัย และศูนย์พันธุวิศวกรรมและเทคโนโลยีชีวภาพแห่งชาติ รหัสโครงการ T_144007

ขอขอบคุณบัณฑิตวิทยาลัยและหน่วยวิจัยชีววิทยาของผู้ ภาควิชาชีววิทยา คณะวิทยาศาสตร์ จุฬาลงกรณ์มหาวิทยาลัย ที่เอื้อเฟื้อเงินทุนสนับสนุนการวิจัย ตลอดจนให้ความอนุเคราะห์ในการใช้สถานที่ วัสดุอุปกรณ์ และอ่านวิทยาความดูดในการทำวิจัยจนสำเร็จลุล่วงไปได้ด้วยดี

ท้ายที่สุดนี้ผู้เขียนขอกราบขอบพระคุณบิดา มารดา และญาติ ๆ ที่ให้ความรักและความเข้าใจอันมีค่ายิ่ง และให้การสนับสนุนในทุกด้านอย่างสม่ำเสมอมาโดยตลอด

สารบัญ

หน้า

บทคัดย่อภาษาไทย.....	๑
บทคัดย่อภาษาอังกฤษ.....	๒
กิตติกรรมประกาศ.....	๓
สารบัญ.....	๔
สารบัญตาราง.....	๘
สารบัญภาพ.....	๙
สารบัญกราฟ.....	๙
คำอธิบายตัวย่อ.....	๙
บทที่ 1 บทนำ	1
บทที่ 2 สอบสานเอกสาร.....	6
2.1 อนุกรมวิธานของผึ้ง.....	6
2.2 ชีวิตและสังคมของผึ้งทั่วไป.....	6
2.3 ชนิดของผึ้ง.....	8
2.4 ซีวิทยาและการกระจายของผึ้งมีม.....	8
2.5 مورฟเมตري.....	10
2.6 งานวิจัยที่เกี่ยวข้อง.....	11
บทที่ 3 วัสดุอุปกรณ์และวิธีการศึกษา.....	16
3.1 วัสดุอุปกรณ์และสารเคมีที่ใช้ในภาคสนาม.....	16
3.2 วัสดุอุปกรณ์และสารเคมีที่ใช้ในห้องปฏิบัติการ.....	16
3.3 วิธีการศึกษา.....	18
บทที่ 4 ผลการศึกษา.....	34
4.1 ผลการจำแนกกลุ่มตัวแปรด้วยสถิติ Factor Analysis.....	34
4.2 ผลการจำแนกกลุ่มตัวอย่างผึ้งมีมด้วยสถิติ Cluster Analysis.....	36
4.3 ผลการวิเคราะห์ความแปรปรวนแบบมีปัจจัยเดียว.....	46

สารบัญ (ต่อ)

หน้า

4.4 ผลการเปรียบเทียบเชิงช้อน	47
บทที่ 5 อภิปรายผลการศึกษา	53
บทที่ 6 สรุปผลการศึกษา	57
รายการอ้างอิง	59
ภาคผนวก	65
ประวัติผู้เขียนวิทยานิพนธ์	108

สารบัญตาราง

ตาราง

หน้า

1. แสดงจังหวัดและจำนวนรังของตัวอย่างผึ้งมีนเมื่อแยกตามบริเวณที่มีสภาพภูมิอากาศแตกต่างกันและหมู่เกาะ.....	20
2. แสดงจังหวัดและจำนวนรังของตัวอย่างผึ้งมีนเมื่อแยกตามบริเวณที่อยู่เหนือและใต้เส้นละติจูดที่ 12°N	21
3. แสดงผลการเปรียบเทียบค่าเฉลี่ยความเยา RCL ของตัวอย่างผึ้งมีนตามสภาพภูมิอากาศและหมู่เกาะ.....	47
4. แสดงผลการเปรียบเทียบค่าเฉลี่ยความเยา ARCL ของตัวอย่างผึ้งมีนตามสภาพภูมิอากาศและหมู่เกาะ.....	48
5. แสดงผลการเปรียบเทียบค่าเฉลี่ยขนาดนม AN37 ของตัวอย่างผึ้งมีนตามสภาพภูมิอากาศและหมู่เกาะ.....	48
6. แสดงผลการเปรียบเทียบค่าเฉลี่ยความเยา FEL ของตัวอย่างผึ้งมีนตามสภาพภูมิอากาศและหมู่เกาะ.....	49
7. แสดงผลการเปรียบเทียบค่าเฉลี่ยความเยา ML ของตัวอย่างผึ้งมีนตามสภาพภูมิอากาศและหมู่เกาะ.....	50
8. แสดงผลการเปรียบเทียบค่าเฉลี่ยความเยา TL3 ของตัวอย่างผึ้งมีนตามสภาพภูมิอากาศและหมู่เกาะ.....	50
9. แสดงผลการเปรียบเทียบค่าเฉลี่ยความเยา TL4 ของตัวอย่างผึ้งมีนตามสภาพภูมิอากาศและหมู่เกาะ.....	51
10. แสดงผลการเปรียบเทียบค่าเฉลี่ยความเยา SL3 ของตัวอย่างผึ้งมีนตามสภาพภูมิอากาศและหมู่เกาะ.....	51
11. แสดงผลการเปรียบเทียบค่าเฉลี่ยความเยา SL6 ของตัวอย่างผึ้งมีนตามสภาพภูมิอากาศและหมู่เกาะ.....	52
12. แสดงผลการเปรียบเทียบค่าเฉลี่ยความเยา AL ของตัวอย่างผึ้งมีนตามสภาพภูมิอากาศและหมู่เกาะ.....	52

สารบัญภาพ

รูปภาพ	หน้า
1. แสดงภาพทางสัณฐานวิทยาของผึ้งเป็นครั้งแรก	2
2. แสดงภาพวัดการเก็บน้ำผึ้งใส่ภาชนะ	3
3. แสดงรังผึ้งมีม์ <i>A. florea</i> ที่นำมายาในจังหวัดนครสวรรค์	3
4. แสดงลักษณะของผึ้ง 3 วรรณะ	7
5. แสดงการกระจายของผึ้งมีม์จากทุกประเทศแบบเชิงตะวันออกเฉียงใต้จนถึงจีนตอนใต้	10
6. แสดงรังของผึ้งมีม์ <i>A. florea</i>	18
7. แผนที่ประเทศไทยแสดงตำแหน่งจังหวัดที่เก็บตัวอย่างผึ้งงานของผึ้งมีม์	19
8. แสดงส่วนต่าง ๆ ของผึ้งที่ทำการผ่าตัด	22
9. แสดงหนวดผึ้งงานของผึ้งมีม์	26
10. แสดงโพรงอสซิสผึ้งงานของผึ้งมีม์	27
11. แสดงปีกหน้าผึ้งงานของผึ้งมีม์	27
12. แสดงปีกหลังผึ้งงานของผึ้งมีม์	28
13. แสดงฟิเมอร์และทิเบียผึ้งงานของผึ้งมีม์	28
14. แสดงเมตาการ์ซผึ้งงานของผึ้งมีม์	29
15. แสดงสเตอร์ไนต์ที่ 3 ของผึ้งงานของผึ้งมีม์	29
16. แสดงสเตอร์ไนต์ที่ 6 ของผึ้งงานของผึ้งมีม์	30
17. แสดงเทอร์ไกต์ที่ 3 ของผึ้งงานของผึ้งมีม์	30
18. แสดงเทอร์ไกต์ที่ 4 ของผึ้งงานของผึ้งมีม์	31

สารบัญกราฟ

สารบัญกราฟ (ต่อ)

กราฟ	หน้า
และหมู่เกาะ.....	44
15. กราฟเดนโดรแกรมแสดงการรวมกลุ่มตัวอย่างผึ้งมีมที่อยู่เหนือและใต้เส้นละติจูด ที่ 12°N	45

คำอธิบายตัวย่อ

RCL = forewing-length of radial cell

ARCL = length of apical portion of radial cell

FWL = length of forewing

AN34 = angle 34 of venation

AN35 = angle 35 of venation

AN37 = angle 37 of venation

BRVL = hindwing-length of basal portion of radial vein

NH = number of hamuli

VL = length of vannal lobe

FEL = hind leg-length of femur

TL = length of tibia

ML = length of metatarsus

TONGL = tongue-total length of tongue

LPL = length of labial palp

TL3 = abdomen-total length of 3rd tergite

DTL4 = length of dark band of 4th tergite

TL4 = total length of 4th tergite

WSL3 = length of wax mirror on 3rd sternite

SL3 = total length of 3rd sternite

SL6 = length or depth of 6th sternite

FL = antenna-length of flagellum

AL = total length of antenna

บทที่ 1

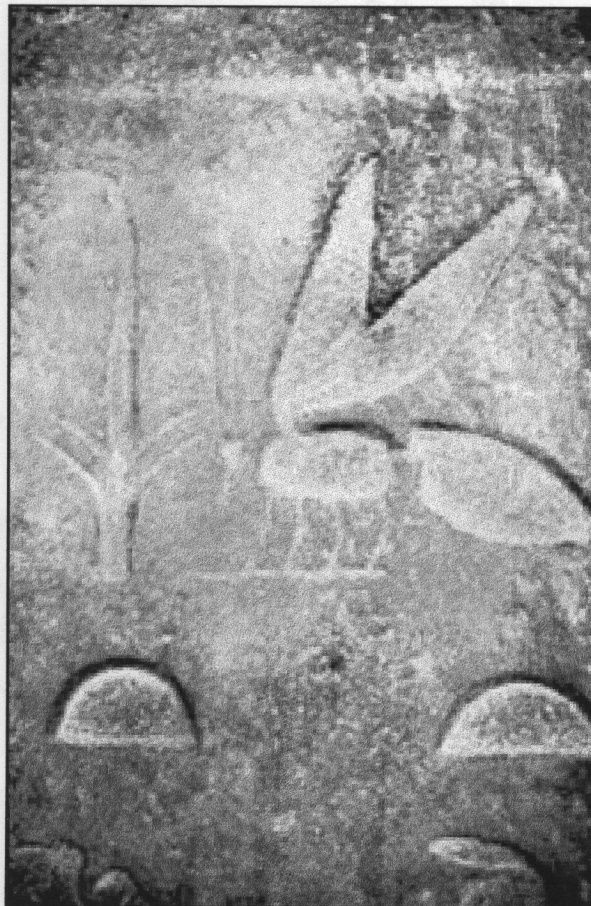
บทนำ

เรื่องราวเกี่ยวกับผึ้งและน้ำผึ้งเป็นที่รู้จักกันอย่างกว้างขวางตั้งแต่สมัยก่อนประวัติศาสตร์ จากหลักฐานภาพวาดบนผนังปารามิตในประเทศอียิปต์ที่แสดงภาพทางสัณฐานวิทยาของผึ้งเป็นครั้งแรก (รูปภาพที่ 1) และการเก็บน้ำผึ้งใส่ภาชนะ ซึ่งเป็นภาพที่มีอายุประมาณ 3,000 ปี ก่อนคริสต์ศักราชในสมัยของพระเจ้าเมเนส (Menes) ฟาโรห์ของประเทศอียิปต์ (รูปภาพที่ 2) (Crane, 1999) นอกจากนี้ผึ้งยังเป็นแมลงที่ถูกบันทึกเรื่องราวต่าง ๆ มากกว่าแมลงชนิดอื่น ๆ โดยนักจินตภูมิและนักประชุมโบราณ รวมทั้งถูกบันทึกในนิทานชาดกในศาสนาพุทธ หลายศตวรรษต่อมา มนุษย์ได้เห็นถึงความสำคัญจากประโยชน์ของผึ้งมากขึ้นทั้งในด้านการให้น้ำผึ้ง ใช้ผึ้ง และเป็นแมลงที่ช่วยในการผสมเกสร เป็นต้น (สิริวัฒน์ วงศ์ศิริ, สุรีตัน เดียววานิชย์ และศิรินันธ์ เอี่ยมประภา, 2542; Crane, 1999)

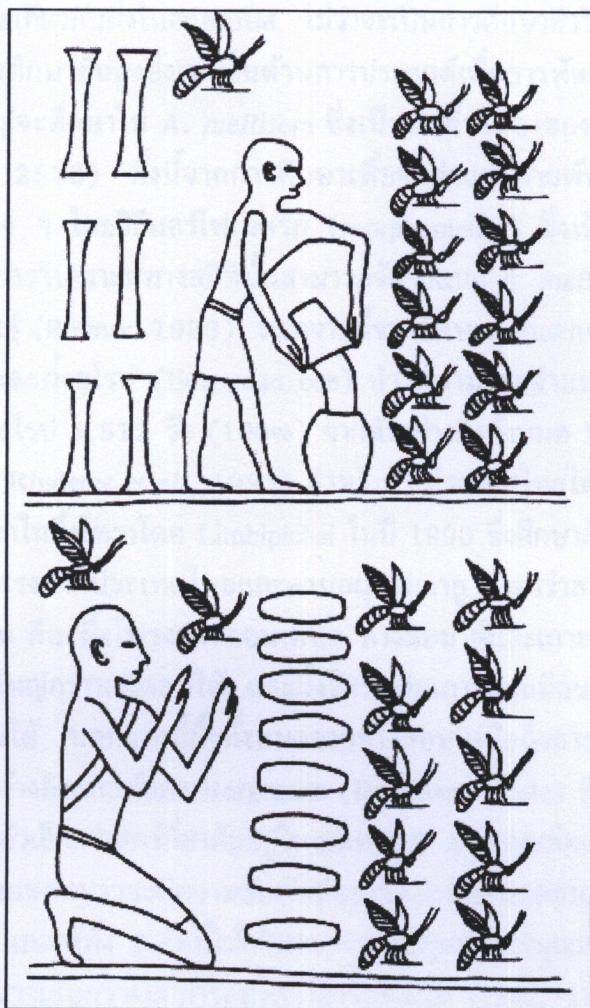
ผึ้งที่ให้น้ำผึ้ง (honey bee) เป็นแมลงที่ถูกจัดอยู่ในอันดับไฮเมโนพเทรา (Order Hymenoptera) สกุลเอปีส (Genus Apis) และเป็นแมลงสังคมชั้นสูง (highly eusocial insects) (สิริวัฒน์ วงศ์ศิริ, 2532; Crane, 1990) ในแต่ละรังประกอบด้วย 3 วรรณะ คือ ผึ้งนางพญา (queen) 1 ตัว ผึ้งตัวผู้ (drone) หลายร้อยตัว และผึ้งงาน (worker) หลายหมื่นตัว (สิริวัฒน์ วงศ์ศิริ, 2532; Wongsiri, 1988) ปัจจุบันในประเทศไทยพบผึ้งในสกุลเอปีสอยู่ 5 ชนิด คือ ผึ้งมีม A. florea Fabricius, 1787 ผึ้งมีมเล็ก A. andreniformis Smith, 1858 ผึ้งหลวง A. dorsata Fabricius, 1793 ผึ้งโพรง A. cerana Fabricius, 1793 ซึ่งผึ้งทั้ง 4 ชนิดนี้เป็นผึ้งพื้นเมืองของประเทศไทย (สิริวัฒน์ วงศ์ศิริ, 2532; Wongsiri et al., 2000) พบรกรจะอยู่ตั้งแต่ที่ราบในระดับความสูง 1-100 เมตรเหนือระดับน้ำทะเลจนถึงบนภูเขาที่สูง 1,600 เมตรเหนือระดับน้ำทะเล เช่น ดอยอินทนนท์ (Wongsiri et al., 2000) ส่วนผึ้งอีกชนิดหนึ่งคือ ผึ้งพันธุ์ A. mellifera Linnaeus, 1758 ซึ่งเป็นผึ้งพื้นเมืองของทวีปยุโรปและแอฟริกาที่นำเข้ามาเพื่อการวิจัยและเพาะเลี้ยงทางด้านอุตสาหกรรมในประเทศไทย (สิริวัฒน์ วงศ์ศิริ, 2532; Wongsiri et al., 2000)

ผึ้งเป็นแมลงเศรษฐกิจที่มีบทบาทสำคัญและเป็นประโยชน์อย่างมากทั้งในด้านอุตสาหกรรมเกษตรกรรม การแพทย์และสิ่งแวดล้อม (สิริวัฒน์ วงศ์ศิริ, 2532; อุบลวรรณ บุญจำ, 2538; Free, 1981) เช่น ผึ้งมีมเป็นแมลงที่ช่วยในการผสมเกสร (Free, 1981; Lekprayoon and Wongsiri, 1989; Koeniger and Vorwohl, 1979; Pyramarn and Wongsiri, 1986; Ruttner, 1988) จึงทำให้พืชไม่ผลของเกษตรกรและพืชป่าในประเทศไทยมีผลผลิตเพิ่มมากขึ้น โดยเฉพาะในสวนมะม่วง (Wongsiri et al., 1996) ซึ่งมะม่วงเป็นพืชผสมข้ามและผสมตัวเอง เพาะดอกมะม่วงมีทั้งดอกสมบูรณ์เพศและดอกแยกเพศ พบว่าผึ้งมีม ผึ้งโพรง ชั้นโรมและแมลงวัน เป็นแมลงที่มีประสิทธิภาพในการช่วยผสมเกสรมะม่วง (อุดม จิรเศวตฤกุล และสุทธิชัย สุทธิวรากิริกษ์, 2540) นอกจากนี้ผึ้งและผลิตภัณฑ์จากรังผึ้งมีมยังช่วยเพิ่มรายได้ให้คุณในท้องถิ่นด้วย (Lekprayoon and Wongsiri,

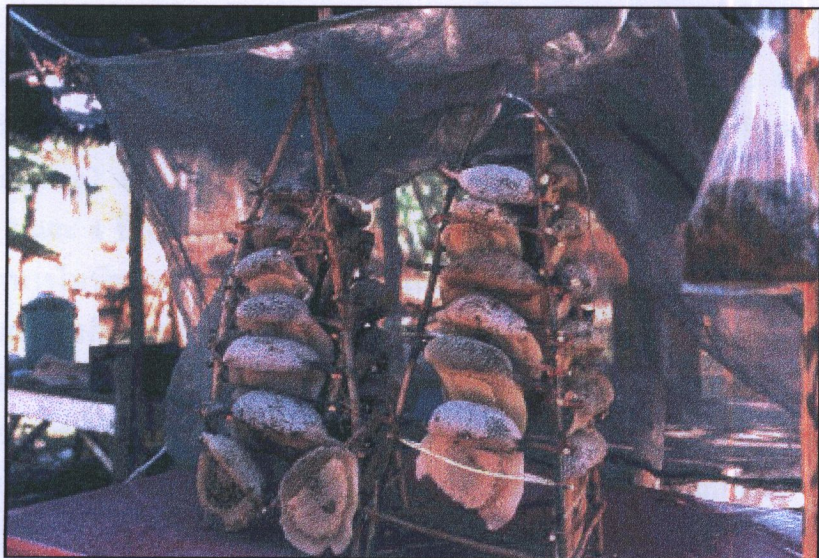
1989; Wongsiri et al., 1996; Wongsiri et al., 2000) เพาะคนไทยนิยมนำตัวอ่อน ดักแด้ และน้ำผึ้งจากผึ้งมีมีมาประกอบอาหาร โดยเฉพาะคนที่อาศัยอยู่ทางภาคเหนือและภาคตะวันออกเฉียงเหนือ เช่น ในจังหวัดนครสวรรค์เป็นแหล่งที่มีการขายผึ้งมีมีมากที่สุด จะเห็นได้จากมีแผงขายผึ้งมีมีตั้งอยู่ 2 ข้างทางถนนพิษณุโลก-นครสวรรค์ (รูปภาพที่ 3) โดยในแต่ละปีมีรังผึ้งมีมีจำนวน 15,000–20,000 รังที่ถูกนำมาขายในบริเวณนี้ และมีรังผึ้งมีมีจำนวน 40,000–50,000 รังที่ถูกตั้งเพื่อนำไปขายทั่วประเทศในแต่ละปี (Chen et al., 1998) ถึงแม้ว่าผึ้งมีมีจะมีการกระจายอยู่ทั่วไปในประเทศไทยตั้งแต่ภาคใต้เป็นบริเวณที่มีความหลากหลายทางชีวภาพ (biodiversity) สูง (อุบลวรรณ บุญฉัตร, 2538) แต่ถ้าคนยังคงตั้งรังผึ้งอย่างต่อเนื่องหรือเพิ่มขึ้นจะทำให้ประชากรของผึ้งลดจำนวนลงได้ ซึ่งส่งผลกระทบต่อปริมาณผลผลิตของพืชไม้ผลทางการเกษตรและตามธรรมชาติ รวมทั้งการรักษาความหลากหลายและสมดุลของระบบนิเวศ (Wongsiri et al., 1996) ซึ่งปัจจุบันนักวิชาการกำลังให้ความสนใจเกี่ยวกับการลดลงของชนิด (species) ในความหลากหลายทางชีวภาพบริเวณเขตว่อนเป็นอย่างมาก



รูปภาพที่ 1 แสดงภาพทางสัณฐานวิทยาของผึ้งเป็นครั้งแรก (สิริวัฒน์ วงศ์ศิริ, 2532)



รูปภาพที่ 2 แสดงภาพวิถีการเก็บน้ำผึ้งในอดีต (ดัดแปลงจาก Crane, 1979)



รูปภาพที่ 3 แสดงรังผึ้งมีมี *A. florea* ที่นำมาขายในจังหวัดนครสวรรค์

สำหรับงานวิจัยเกี่ยวกับผึ้งในสกุลເອົປີສ ໄນວ່າຈະເປັນການສຶກຂາຫົວວິທຍາພື້ນຮູານເພື່ອຈຳແນກສາຍພັນຊີ່ ທີ່ການສຶກຂາຂັ້ນສູງຂຶ້ນເນັ້ນໃນດ້ານການປະຍຸກຕີເພື່ອການພັດທາເຊີງອຸດສາຫກຮຽມແລະເສດຖະກິຈນັ້ນສ່ວນໃຫຍ່ຈະສຶກຂາໃນ *A. mellifera* ທີ່ເປັນຜົ່ນເພື່ນເມືອງຂອງທີ່ວີປູໂປຣແລະແອຟຣິກາ (ອຸບລວຽຮັນ ບຸຜູ້ຈໍາ, 2538) ທັງນີ້ຈາກການສຶກຂາເພື່ອຈຳຈຳແນກສາຍພັນຊີ່ຂອງ *A. mellifera* ທີ່ກະຈາຍໃນຄື່ນທີ່ອູ່ຢູ່ຕ່າງ ຈ ໂດຍວິອິມອົຣົໄຟເມຕຣິກ (morphometric) ທີ່ເປັນວິວິກາເຊີ້ງລັກຂະພະທາງສັນຮູານວິທຍາຮ່ວມກັບການວິເຄຣະທີ່ການສົດຕິນັ້ນສາມາດຈັດຈຳແນກ *A. mellifera* ອອກເປັນສາຍພັນຊີ່ຕ່າງ ຈ ໄດ້ 24 ສາຍພັນຊີ່ (Ruttner, 1988) ນອກຈາກນີ້ຈາກລັກຂະພະທີ່ແຕກຕ່າງກັນຂອງຜົ່ນແອຟຣິກັນ (Africanized bee) ແລະຜົ່ນຢູ່ໂປຣ (European bee) ທຳໄໝສາມາດຈຳຈຳແນກຜົ່ນແອຟຣິກັນ 565 ຮັງ (95.6%) ອອກຈາກຜົ່ນຢູ່ໂປຣ 1,512 ຮັງ (100%) ຈາກຕ້ວຍ່າງຜົ່ນທັງໝົດ 2,103 ຮັງໄດ້ດ້ວຍວິວິກາທາງນອຣົໄຟເມຕຣິກເຫັນກັນ (Rinderer et al., 1993) ສຳຮັບໃນປະເທດໄທໄດ້ເຮີ່ມມີມາຮັງການການສຶກຂາດ້ວຍວິວິກາທາງນອຣົໄຟເມຕຣິກໃນຜົ່ນໂພຣໂດຍ Limbipichai ໃນປີ 1990 ທີ່ສຶກຂາລັກຂະພະທາງສັນຮູານວິທຍາ 58 ລັກຂະພະໃນຜົ່ນໂພຣຈາກປະເທດໄທແລະຄານສຸත່ຽນລາຍງ ພບວ່າສາມາດຈັດກຸລຸ່ມຜົ່ນໂພຣທີ່ແຕກຕ່າງກັນໄດ້ 3 ກຸລຸ່ມ ດື່ອ ຜົ່ນໂພຣກາງຕອນເໜືອ ຖາງຕອນໃຕ້ແລະເກະສຸມຍ ໂດຍຜົ່ນໂພຣທີ່ພັບກາງຕອນເໜືອມີມີນາດໃຫຍ່ກ່າວກາງຕອນໃຕ້ ແລະຜົ່ນໂພຣຈາກເກະສຸມຍມີມີນາດອູ່ຮ່ວງກລາງຄ່ອນໄປກາງຜົ່ນທີ່ພັບກາງຕອນໃຕ້ ນອກຈາກນີ້ຜົ່ນທັງໝົດຈາກກາງຕອນເໜືອດີ່ງກາງຕອນໃຕ້ຈະມີມີນາດລຳຕົວເລື້ອກງານຕາມລຳດັບ ໂດຍອ້າງອີງເກັບທີ່ຂອງ Bergmann (Bergmann's rule) ທີ່ວ່າ “ສັດວົງທີ່ອາສີຍອູ່ໃນເຂດຕອບອຸ່ນຈະມີມີນາດລຳຕົວເລື້ອກກ່າວສັດວົງທີ່ອາສີຍອູ່ໃນເຂດທານວາ” ແລະເກັບທີ່ຂອງ Allen (Allen's rule) ທີ່ວ່າ “ສັດວົງທີ່ອາສີຍອູ່ໃນເຂດທານວາຈະມີມີນາດສັນພັນຊີ່ຂອງສັດສ່ວນທີ່ຢືນອອກມາຈາກລຳຕົວສັນກ່າວສັດວົງທີ່ອາສີຍອູ່ໃນເຂດຕອບອຸ່ນ” ເກັບທັງ 2 ຂ້ອນນີ້ໃຊ້ອີນຍາກຄວບຄຸມນໍ້າແລະອຸ່ນທຸກມີຂອງສັດວົງ ໂດຍສັດວົງທີ່ອາສີຍອູ່ໃນບົຣເວເພທີ່ທ່ານວາເຢັ້ນກ່າວຈະມີກາລດພື້ນທີ່ຜົວຮັບສັນຜັສ (Daly, 1985; Ruttner, 1988) ແລະມີມີນາດລຳຕົວໃຫຍ່ເພື່ອຄວບຄຸມນໍ້າແລະອຸ່ນທຸກມີກາຍໃນຮ່ວງກາຍ ສ່ວນການສຶກຂາຜົ່ນເພື່ນເມືອງໃນໄທ ຊົນດີ່ນີ້ ຈ ໄດ້ແກ່ ຜົ່ນຫລວງ ຜົ່ນນິ້ນ ແລະຜົ່ນນິ້ນເລັກ ຢັງໄມ້ມາຮັງການການສຶກຂາທາງດ້ານນອຣົໄຟເມຕຣິກ ກາຍໃນຜົ່ນໜີດເດີຍກັນນາກ່ອນ ທັງນີ້ຈາກບ່ານທາກແລະຄວາມລຳດັບຂອງຜົ່ນນິ້ນດັ່ງທີ່ໄດ້ກຳລຳໄປແລ້ວໃນໜ້າງຕົ້ນ ຈຶ່ງສົນໃຈສຶກຂາການຈຳຈຳແນກສາຍພັນຊີ່ຂອງຜົ່ນນິ້ນໃນປະເທດໄທໃໝ່ໃນໆສາມາດຈຳແນກໄດ້ດ້ວຍສາຍຕານັ້ນ ດ້ວຍວິວິກາທາງນອຣົໄຟເມຕຣິກ ເພື່ອວັດລັກຂະພະທາງສັນຮູານວິທຍາ 22 ລັກຂະພະ ຈາກສ່ວນຕ່າງ ຈ ຂອງຮ່ວງກາຍ 9 ສ່ວນ ດື່ອ ໜ້າວັດ (antenna) ໂພຣບອສີສ (proboscis) ປຶກໜ້າ (forewing) ປຶກຫລັງ (hindwing) ຂາຫລັງ (hind leg) ສເຕວຣີນິຕ (stemite) ທີ່ 3 ແລະ 6 ແລະເທେຣີກິຕ (tergite) ທີ່ 3 ແລະ 4 ທີ່ສ່ວນຕ່າງ ຈ ເທົ່ານີ້ເປັນສ່ວນທີ່ແສດງໝາດຂອງລຳຕົວແລະວິວຍະວົງທີ່ເກີ່ວຂ້ອງກັບການຫາອາຫານໃນພື້ນອາຫານເຂດຕອນຂອງປະເທດໄທໃໝ່ມີຄວາມຫລາກຫລາຍສູງ ນອກຈາກນີ້ເມື່ອເປີຍເຫັນຜົນການສຶກຂາຂອງ Limbipichai (1990) ກັບ Rinderer ແລະຄອນະ (1995) ພບວ່າຜົ່ນນິ້ນມີມີນາດຂອງປຶກເລື້ອກກ່າວຜົ່ນໂພຣ ແລະຜົ່ນນິ້ນຍັງມີຄວາມສາມາດໃນການບິນຈາກແຫລ່ງທີ່ອູ່ອາສີຍໄປຢັ້ງແຫລ່ງອາຫານສັນກ່າວຜົ່ນໂພຣ ດື່ອ ຜົ່ນນິ້ນ ແລະຜົ່ນໂພຣບິນໄດ້ກາຍໃນພື້ນທີ່ປະນາມ 3 ແລະ 10 ຕາຮາກໂຄລິມີຕຣາມລຳດັບ (Buchmann and Shipman, 1993) ດັ່ງນັ້ນລັກຂະພະທາງສັນຮູານວິທຍາຂອງຜົ່ນນິ້ນໃນປະເທດໄທຍ່າງມີຄວາມແຕກຕ່າງກັນອ່າຍ່າຍ້າມີສຳຄັງເຫັນເດີຍກັບຜົ່ນໂພຣ

วัตถุประสงค์

- ศึกษาความแตกต่างทางสัณฐานวิทยาของผึ้งมีม์ *Apis florea* ในประเทศไทยโดยการวิเคราะห์ทางมอร์ฟometrik
- เพื่อจัดกลุ่มผึ้งมีม์ของประเทศไทย

ประโยชน์ที่คาดว่าจะได้รับ

- สามารถจัดกลุ่มผึ้งมีม์ของประเทศไทยโดยอาศัยลักษณะทางสัณฐานวิทยา
- ได้ข้อมูลเพื่อนำไปใช้ประกอบการศึกษาทางสัณฐานวิทยา อนุกรมวิธาน ชีววิทยา วิวัฒนาการ นิเวศวิทยา การกระจายตัวทางภูมิศาสตร์และพันธุศาสตร์
- สามารถนำข้อมูลไปประยุกต์ใช้ประกอบการศึกษาลักษณะทางสัณฐานวิทยาของผึ้งชนิดต่าง ๆ ของประเทศไทยเพื่อการอนรักษ์ต่อไป

บทที่ 2

สอบสวนเอกสาร

2.1 อนุกรรมวิธานของผึ้ง

ผึ้งประเภทที่ให้น้ำผึ้ง (*Apis spp.*) เป็นแมลงที่มีวิวัฒนาการสูง (สิริวัฒน์ วงศ์ศิริ, 2532) พบระยะอยู่ทั่วโลกตามแหล่งกำเนิดทั้งในทวีปยุโรป แอฟริกาและเอเชีย และถูกนำเคลื่อนย้ายไปเลี้ยงในทวีปอื่น ๆ ได้ เช่น ทวีปออสเตรเลียและเมริกา (พงศ์เทพ อัครธนกุล, 2534; Ruttner, 1988) การสืบทอดผ่านพันธุ์ของผึ้งในสกุลເອີ້ນສົກ (Osmia) มีติดต่อกันมานานไม่ต่ำกว่า 30 ล้านปี โดยมีหลักฐานจากการค้นพบฟอสซิลของ *A. javana* Enderlein ปรากฏอยู่ในมหาสมุទซีโนโซอิก (Cenozoic Era) ซึ่งเป็นฟอสซิลของผึ้งและรังรังแร็กที่พบในประเทศไทยมาเลเซีย (Stauffer, 1979 จ้างถึงใน สิริวัฒน์ วงศ์ศิริ, 2532) ด้วยเหตุนี้นักวิทยาศาสตร์จึงเชื่อว่ามีความเป็นไปได้ที่ผึ้งในสกุลເອີ້ນສົກมีถิ่นกำเนิดดั้งเดิมในแถบเอเชียตะวันออกเฉียงใต้ (สิริวัฒน์ วงศ์ศิริ, 2532)

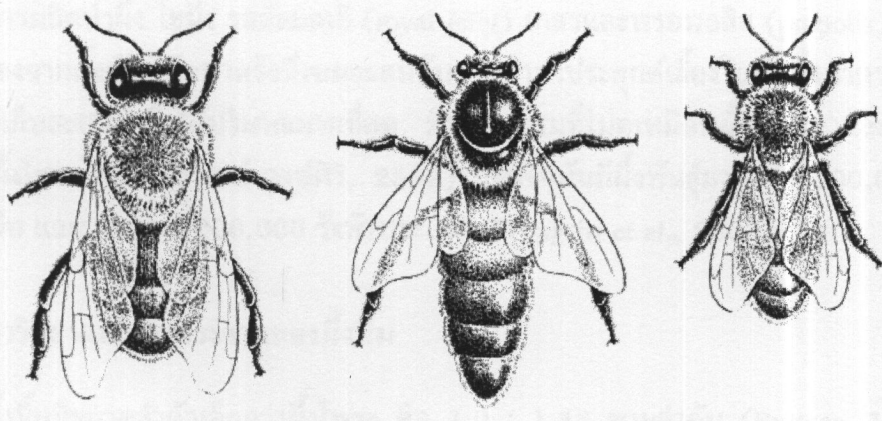
นักกีฏวิทยาด้านอนุกรมวิธานได้จัดเรียงลำดับชั้น (Taxonomic hierarchy) ของผึ้งในสกุลเอปส์ไว้ดังนี้ (Elzinga, 1997)

อาณาจักร (Kingdom)	เมตาซัว (Metazoa)
ไฟลัม (Phylum)	อาร์โทรโพดา (Arthropoda)
ชั้น (Class)	อินเซคตَا (Insecta)
อันดับ (Order)	ไฮเมโนพเทรา (Hymenoptera)
วงศ์ใหญ่ (Super-family)	ເອປ່ອຍເດີຍ (Apoidea)
วงศ์ (Family)	ເອປິດ (Apidae)
วงศ์ย่อย (Subfamily)	ເລປິນີ (Apinae)
สกุล (Genus)	ເອປີສ (Apis)

2.2 ชีวิตและสังคมของผึ้งทั่วไป

ผังมีการดำเนินชีวิตอยู่ร่วมกันหลาย ๆ ตัวเป็นสังคมภายในรังเดียวกันและแบ่งหน้าที่กันทำงาน ซึ่งแต่ละรังจะเป็นหนึ่งครอบครัว (colony) ที่ประกอบด้วยผึ้ง 3 วรรณะ (รูปภาพที่ 4) คือ ผึ้นนางพญาหนึ่งตัว ผึ้งตัวผู้หล่ายร้อยตัว และผึ้นงานหลายหมื่นตัว ทั้งนี้จำนวนสมาชิกภายในรังยังขึ้นอยู่กับขนาดของรังผึ้งด้วย (สิริวัฒน์ วงศ์ศิริ, 2532) ไม่มีผึ้งตัวใดตัวหนึ่ง หรือวรรณะใดวรรณะหนึ่งที่สามารถดำเนินชีวิตอยู่อย่างโดดเดี่ยวเป็นระยะเวลานาน ๆ ได้ หรือไม่มีกลุ่มผึ้งจำนวนหนึ่งในวรรณะใด ๆ จะดำเนินชีวิตอยู่ได้โดยขาดความสัมพันธ์กับวรรณะอื่น ๆ ภายใต้สังคมเดียวกัน

(พงศ์เทพ อัครอนกุล, 2534) ผึ้งนางพญาเจริญมาจากการไข่ที่ถูกผสม มีโครโนซوم $2n$ เป็นเพศเมีย มีปีกสั้นเมื่อเทียบกับความยาวลำตัว แต่มีขนาดใหญ่ที่สุดเมื่อเทียบกับผึ้งอีก 2 วรรณะ มีอวัยวะไข่ (ovipositor) ที่เปลี่ยนแปลงไปเป็นเหล็กใน (sting) เพื่อใช้ป้องกันตัว ผึ้งนางพญาจะทำหน้าที่วางไข่เมื่อผสมพันธุ์กับผึ้งตัวผู้แล้ว นอกจากนี้ยังมีความสำคัญต่อสังคมผึ้งโดยเป็นตัวผลิตเฟอร์โอม (pheromone) ที่ใช้ควบคุมกลไกการทำงานของสมาชิกภายในรัง ผึ้งนางพญาจะมีผึ้งงานอยู่ดูแลรับใช้โดยให้อาหารและนำของเสียไปทิ้ง ปกติผึ้งนางพญาเมียอายุประมาณ 2–3 ปี สำหรับผึ้งงานเจริญมาจากการไข่ที่ถูกผสม มีโครโนซอม $2n$ และเป็นเพศเมียเช่นเดียวกับผึ้งนางพญา แต่มีรังไข่ขนาดเล็กและไม่สามารถสร้างไข่ได้ในสภาวะปกติ ยกเว้นในกรณีที่รังนั้นขาดผึ้งนางพญา ผึ้งงานเมียขนาดเล็กที่สุดในบรรดาผึ้งทั้ง 3 วรรณะ มีอวัยวะที่แตกต่างจากผึ้งในวรรณะอื่น ๆ คือ ที่ส่วนห้องมีต่อมสร้างไข่ผึ้งเพื่อใช้สร้างและซ่อมแซมรัง มีต่อมผลิตกลินประจำรัง (Nassanoff's pheromone) ต่อมผลิตสารเตือนภัย (alarm pheromone) มีเหล็กใน (sting) มีตระกร้าเก็บเกสร (pollen basket) ที่ขาหลัง มีกระเพาะเก็บน้ำผึ้ง (honey stomach) ที่เกิดจากอวัยวะทางเดินอาหารส่วนหน้าขยายเป็นถุงเพื่อเก็บน้ำหวานที่ดูดจากดอกไม้ เป็นต้น ซึ่งอวัยวะเหล่านี้มีความสำคัญต่อหน้าที่การทำงานของผึ้งงาน ได้แก่ การสร้างและซ่อมแซมรัง การทำความสะอาดรัง การหาอาหารและนำต่อดจนการป้องกันรัง เป็นต้น ผึ้งงานมักมีอายุสั้นเพียง 10–12 สัปดาห์ ส่วนผึ้งตัวผู้เจริญมาจากการไข่ที่ไม่ได้ถูกผสม มีโครโนซอม n มีขนาดลำตัวอ้วนและใหญ่กว่าผึ้งนางพญาและผึ้งงาน มีปลายห้องมนและไม่มีเหล็กใน มีความสามารถใหญ่และหนวดที่พัฒนาเป็นพิเศษเพื่อเพิ่มความสามารถในการมองเห็นและรับกลิ่น เพราะผึ้งตัวผู้มีหน้าที่บินออกไปหาผึ้งนางพญาเพื่อการผสมพันธุ์ในฤดูผสมพันธุ์ มีโครงสร้างลำตัวที่แข็งแรงและทนทาน 适应于在花上采集花蜜和授粉。 ผึ้งตัวผู้ชี้นำผึ้งงานต่อไปยังแหล่งอาหารและควบคุมการเดินทางกลับบ้าน。



ผึ้งตัวผู้

ผึ้งนางพญา

ผึ้งงาน

รูปภาพที่ 4 แสดงลักษณะของผึ้ง 3 วรรณะ (Gould and Gould, 1988)

2.3 ชนิดของผึ้ง

ปัจจุบันผึ้งในสกุลເປົ້າສູກຈໍາແນກອອກເປັນ 9 ชนิด (Koeniger and Koeniger, 2000) คือ *A. laboriosa* F. Smith, 1871 (Sakagami, Matsumura, and Ito, 1980) *A. dorsata* Fabricius, 1793 (Ruttner, 1988) *A. mellifera* Linnaeus, 1758 (Ruttner, 1988; Ruttner, Milner, and Dews, 1990) *A. nigrocincta* Smith, 1861 (Otis, 1991; 1996) *A. koschevnikovi* Buttelen, 1906 (Koeniger et al., 1988; Rinderer et al., 1989) *A. nuluensis* Tingek, Koeniger and Koeniger, 1996 (Fuchs, Koeniger, and Tingek, 1996; Otis, 1991; 1996) *A. cerana* Fabricius, 1793 (Rinderer et al., 1989; Ruttner, 1988) *A. florea* Fabricius, 1787 (Ruttner, 1988) และ *A. andreniformis* Smith, 1858 (Wu and Kuang, 1987; Wongsiri et al., 1990) สำหรับประเทศไทยมีผึ้งในสกุลເປົ້າສູກຢູ່ 5 ชนิด คือ ผึ้งมี้ม *A. florea* ผึ้งมีມเล็ก *A. andreniformis* ผึ้งหลวง *A. dorsata* ผึ้งโพรง *A. cerana* และผึ้งพันธุ์ *A. mellifera* (สิริวัฒน์ วงศ์คิริ, 2532; Wongsiri et al., 2000)

ผึ้งมีມ ผึ้งมีມเล็ก และผึ้งหลวง พนกระจาຍອຍຸໃນເຂດຮ້ອນບຣິເວນເອເຊີຍຕອນໄຕແລະທຸກປະເທດ
ໃນເອເຊີຍຕະວັນອອກເຈີຍໃຫ້ຈົນຄົງຈົນຕອນໄຕ ແລະເປັນຜົ່ງພື້ນເມືອງຂອງປະເທດໄທ ທີ່ມີລັກຂະນະການ
ສ້າງຮັງໃນທີ່ໄລ່ແລະມີຮຽງຮັງຂັ້ນເຕີຍາ ສ່ວນຜົ່ງໂພຣງເປັນຜົ່ງພື້ນເມືອງຂອງປະເທດໄທເຫັນເດີຍກັນແລະມີ
ຂອນເຂດກະຈະກະຍາເກີອບທີ່ທຸກປະເທດໃນທີ່ປົກເອເຊີຍ ແຕ່ມີລັກຂະນະການສ້າງຮັງໃນໂພຣງແລະມີຮຽງຮັງ
ໜາຍຂັ້ນ (ສิริวัฒน์ วงศ์คิริ, 2532; ອຸນລວຣຣນ ບຸງຈຳ້າ, 2538; Wongsiri et al., 2000) ສ້າຮັບ
ຜົ່ງພັນຖຸມີລັກຂະນະການສ້າງຮັງໃນໂພຣງແລະມີຮຽງຮັງໜາຍຂັ້ນເຫັນເດີຍກັບຜົ່ງໂພຣງ (ສิริวัฒน์ วงศ์คิริ,
2532; Ruttner, 1988) ແຕ່ເປັນຜົ່ງພື້ນເມືອງຂອງທີ່ປົກໂຢຣໂປແລະແພຣິກາທີ່ນໍາເຫັນມາເມື່ອປະມານປີ
ກ.ສ. 1940 ເພື່ອກວິຈີຍທີ່ຈຸ່າລາງກຽມໝາວິທຍາລັຍ ແລະຕ່ອນໄມາໄດ້ນໍາເຫັນມາເພື່ອກາເພະເລີ່ຍກາງ
ດ້ານອຸດສາຫກຮ່ວມໃນປະເທດໄທ (Sylvester and Wongsiri, 1986; Wongsiri et al., 2000)
ໄດ້ແກ່ ການຜົລິຕ້ານໍາຜົ່ງ ໃຂຜົ່ງ ຮອຍລ້າຍເລື້ (royal jelly) ແກສຣແລະພຣອພອລິສ (propolis) ທີ່ມີຍານໃນ
ທັນນີ້ເນື່ອງຈາກຜົ່ງພັນຖຸມີຂາດຮັງທີ່ເໝາະສມ່ກັບການນໍາມາປະຢຸດເລີ່ຍໃນທີ່ບັນດັບຮຽນໄດ້ພອດ
ສາມາດເກີນສະສນໍາຜົ່ງໄດ້ປົມາພານຸກທີ່ສຸດ ມີພຸດຕິກຣົມທີ່ໄໝດຸເໜືອນຜົ່ງหลวง ແລະໄຟ່ທີ່ຮັງຈ່າຍ
ເໜືອນຜົ່ງໂພຣງໄທ (ສิริวัฒน์ วงศ์คิริ, 2532) ທີ່ປັດຈຸບັນມີຜົ່ງພັນຖຸມາກກວ່າ 100,000 ຮັງຍູ່ທີ່
ກາຄເໜືອ ແລະປະມາລ 200,000 ຮັງທີ່ປະເທດ (Wongsiri et al., 2000)

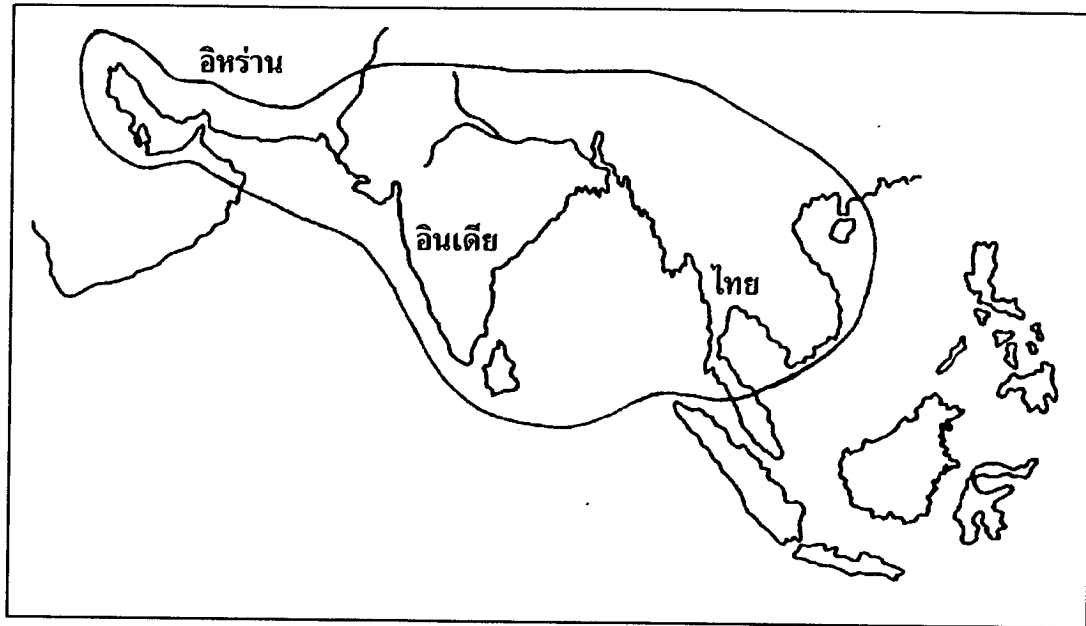
2.4 ຜົນຍາແລກກະຈະກະຍາຂອງຜົ່ງມື້ມ

ຜົ່ງມື້ມີຂາດລໍາຕັວເລີກກວ່າຜົ່ງໂພຣງ ຄື່ອ 1.0 : 1.33 ຕາມລໍາດັບ (Ruttner, 1986) ແຕ່ມີ
ຂາດໃຫຍ່ກວ່າຜົ່ງມື້ມີເລີກ (Rinderer et al., 1995; Wongsiri et al., 1996) ຜົ່ງໂພຣງມີຄວາມຍາວ :
ຄວາມກວ້າງຂອງປຶກໜ້າເທົ່າກັນ 7.75 ± 0.14 : 2.70 ± 0.06 ແລະຄວາມຍາວ : ຄວາມກວ້າງຂອງປຶກໜ້າ
ເທົ່າກັນ 3.67 ± 0.08 : 1.51 ± 0.05 (Limbipichai, 1990) ສ່ວນຜົ່ງມື້ມີຄວາມຍາວ : ຄວາມກວ້າງ
ຂອງປຶກໜ້າເທົ່າກັນ 6.45 ± 0.16 : 2.25 ± 0.06 ແລະຄວາມຍາວ : ຄວາມກວ້າງຂອງປຶກໜ້າເທົ່າກັນ

$3.17 \pm 0.08 : 1.36 \pm 0.04$ (Rinderer *et al.*, 1995) ผึ้งมีมีปล้องห้องปล้องแรกสีเหลืองลับและปล้องถัดไปเป็นสีดำลับสีเหลืองจนถึงปลายท้อง (สิริวัฒน์ วงศ์ศิริ, 2532; Rinderer *et al.*, 1995; Wongsiri *et al.*, 1996)

ความแตกต่างของบริเวณที่สร้างรังของผึ้งในประเทศไทย พบว่า ผึ้งหลวง ผึ้งโพรงและผึ้งมีมี การสร้างรังสูงจากพื้นดินแตกต่างกัน นอกจากนี้บางชนิดสร้างรังในโพรงและบางชนิดสร้างรังในที่โล่ง ซึ่งเป็นผลเนื่องจากการเก่งแย่งแข่งขันในเรื่องของโพรงที่ใช้สร้างรังมืออยู่อย่างจำกัด เพราะการสร้างรังในโพรงจะได้เปรียบในด้านการรักษาอุณหภูมิภัยในรังทำให้สามารถและตัวอ่อนเจริญเติบโตได้ดีและประหยัดพลังงาน จึงมีอายุยืนยาวกว่าผึ้งที่สร้างรังในที่โล่ง ดังนั้นการสร้างรังภัยในโพรงจึงมีบทบาทสำคัญทำให้ผึ้งมีสายวิวัฒนาการแยกออกไปสร้างรังในที่โล่งเพื่อลดการแย่งแข่งขันของบริเวณที่สร้างรังลง (Seeley, Seeley and Akratanakul, 1982 อ้างถึงใน อุบลวรรณ บุญจำ, 2538) ผึ้งมีมีการสร้างรังแบบเปิดและมีรังชั้นเดียวอยู่บนกึ่งไม้ ต้นไม้เดียว ๆ หรือพุ่มไม้ มักซ่อนรังอยู่ในพุ่มไม้และกึ่งไม้เพื่อพรางตาป้องกันภัยจากศัตรุ (สิริวัฒน์ วงศ์ศิริ, 2532; อุบลวรรณ บุญจำ, 2538; Free, 1981; Wongsiri *et al.*, 2000) โดยสร้างรังสูงจากพื้นดินประมาณ 1-15 เมตร และมักทันหน้ารังเข้าหาแสงอาทิตย์ บางครั้งจะพบผึ้งมีมีทำรังบนผนังกำแพงตึกและหลังคาอาคารบ้านเรือน (Wongsiri *et al.*, 1996) นอกจากนี้ผึ้งมีมียังนำยางไม้มาสะสมเหมือนการเหนียว (sticky band) ล้อมรอบกึ่งไม้ก็ล ฯ บริเวณหัวค้อนเพื่อป้องกันศัตรุไม่ให้เดินเข้ามาถึงรังได้ (Free, 1981; Ruttner, 1988) เช่น นดแดง *Oecophylla smaragdina* (Seeley, 1985) และมีผึ้งงานเกาะคลุมรังเพื่อป้องกันศัตรุ น้ำฝน และควบคุมอุณหภูมิภัยในรังให้อยู่ระหว่าง $33-38^{\circ}\text{C}$ (Free, 1981) เพื่อให้ตัวอ่อนเจริญเติบโตเป็นตัวเต็มวัย (Wongsiri *et al.*, 2000)

ผึ้งมีมีการกระจายพบได้ทั่วไปในทุกประเทศแถบเอเชียตะวันออกเฉียงใต้จนถึงจีนตอนใต้ ได้แก่ ประเทศไทย ปากีสถาน ศรีลังกา อินเดีย เมียนมาร์ ไทย ลาว กัมพูชา เวียดนาม จนถึง เกาะปาลาวันของประเทศไทยฟิลิปปินส์ (ไม่รวมหมู่เกาะอื่น ๆ ในประเทศไทยฟิลิปปินส์) แต่ไม่พบผึ้งมีมี ที่บริเวณคาบสมุทรน้ำจืดและหมู่เกาะรอบ ๆ บอร์เนียวและอินโดนีเซีย (รูปภาพที่ 5) (สิริวัฒน์ วงศ์ศิริ, 2532; อุบลวรรณ บุญจำ, 2538; Ruttner, 1988; Wongsiri *et al.*, 1996; Wongsiri *et al.*, 2000) นอกจากนี้มีรายงานการพบผึ้งมีมีในประเทศไทยและต่างประเทศ (Lord and Nagi, 1987 อ้างถึงใน อุบลวรรณ บุญจำ, 2538) และมีรายงานการค้นพบผึ้งมีมีทางพรอมแดนตอนใต้ของประเทศไทยอิหร่าน (Tirgari, 1971; Ruttner, 1985) ซึ่งอาศัยอยู่ในหลายพื้นที่ของประเทศไทยอิหร่าน ได้แก่ พื้นที่รกร้าง ป่าไม้ ทุบเช้า ภูเขา และหมู่บ้าน ซึ่งสามารถอาศัยอยู่ในภูเขามีสภาพภูมิอากาศร้อนและแห้งแล้งได้ นอกจากนี้ยังพบผึ้งมีมีอาศัยอยู่ในเมืองและชานเมืองที่มีสภาพภูมิอากาศและแหล่งอาหารที่ดี (Mossadegh, 1993) สำหรับในประเทศไทย สามารถพบผึ้งมีมีได้เกือบทุกพื้นที่ ได้แก่ บริเวณชานเมือง พื้นที่การเกษตร และพื้นที่ราบทั่วไป (Wongsiri *et al.*, 1996) รวมทั้งในเมืองใหญ่ ๆ เช่น กรุงเทพมหานครและเชียงใหม่ แต่พบผึ้งมีมีได้น้อยในภาคใต้ (Wongsiri, *et al.*, 2000)



รูปภาพที่ 5 แสดงการกระจายของผึ้งมีม์จากทุกประเทศแถบเอเชียตะวันออกเฉียงใต้จนถึงจีนตอนใต้ (ตัดแปลงจาก Ruttner, 1988; Wongsiri et al., 2001)

ถึงแม้ว่าผึ้งมีม์จะเป็นผึ้งที่มีขนาดเล็กและประชากรต่อรังน้อยกว่าผึ้งชนิดอื่น ๆ ที่อยู่ในสกุลเอปีส แต่ผึ้งมีม์ก็มีความสามารถพิเศษในการปรับตัวเพื่อความอยู่รอดในบริเวณที่มีสภาพภูมิอากาศหนาวยืนและร้อนได้ดีกว่าผึ้งชนิดอื่น ๆ ที่อยู่ในสกุลเดียวกัน (Ruttner, 1988) เช่น ผึ้งมีม์สามารถอาศัยอยู่ในบริเวณอ่าวเปอร์เซีย (Persian Gulf) ที่มีอุณหภูมิสูงมากกว่า 50°C ในฤดูร้อน โดยที่ไม่มีผึ้งชนิดอื่น ๆ อาศัยอยู่ในบริเวณนั้นเลย (Whitcombe, 1984 อ้างถึงใน Ruttner, 1988) และในฤดูหนาวของบริเวณเดียวกันนี้จะมีอากาศหนาวยืนมาก แต่ผึ้งมีม์ยังสามารถอาศัยอยู่ได้ทั้ง ๆ ที่มีลักษณะการสร้างรังแบบเปิดและมีร่องชั้นเดียว (Ruttner, 1988) นอกจากนี้ยังมีรายงานการศึกษาผึ้งมีม์ในทวีปแอฟริกา ซึ่งสามารถปรับตัวอยู่ในทะเลทรายที่มีอุณหภูมิสูงได้โดยมีพฤติกรรมการเลือกสร้างรังในบริเวณที่มีที่กำบังมาก ๆ ส่วนในฤดูหนาวที่มีอุณหภูมิต่ำ ผึ้งจะย้ายไปสร้างรังใหม่ในบริเวณที่ได้รับแสงอาทิตย์เพิ่มขึ้น (Mogga and Ruttner, 1988 อ้างถึงใน อุบลวรรณบุญจำ, 2538)

2.5 morphometry (Morphometry)

morphometry หมายถึง การวัดรูปร่างทางสัณฐานวิทยา ซึ่งข้อมูลที่ได้จะอยู่ในรูปของตัวเลขอัตราส่วน องศาของมุม ๆ ฯลฯ และนำข้อมูลที่ได้จากการวัดมาวิเคราะห์ด้วยวิธีการทางสถิติก่อนที่จะนำผลที่ได้จากการวิเคราะห์ไปใช้ประโยชน์เพื่อจำแนกความแตกต่างของลิงมีชีวิต ตลอดจนสามารถวินิจฉัยชนิดของลิงมีชีวิตที่กำลังศึกษาอยู่ได้ (เพ็ญครี ตั้งคณะสิงห์, 2531)

มอร์ฟเมตሪมีลักษณะผสมผสานกับวิชาเรขาคณิต โดยใช้ความรู้ในเรื่องตัวแหน่งของจุดต่าง ๆ จากวิชาเรขาคณิตและความรู้ด้านสอนอลอยด์ (homology) จากวิชาชีววิทยา ดังนั้นลักษณะการวัดทางมอร์ฟเมต릭จึงเป็นการวัดความยาว มนุ อัตราส่วน ฯลฯ ของลักษณะที่เป็นขอโมโลกัส กัน โดยข้อมูลทางมอร์ฟเมต릭จะมีลักษณะเป็นกลุ่มของรูปแบบ (set of forms) อาจจะเป็นความยาวระหว่างจุดคอординेट (coordinate) 2 จุด มนุระหว่างเลี้น 2 เลี้น ซึ่งอยู่ในระบบเอกซ์ (x) และwhy (y) และบันทึกข้อมูลที่ได้อ่าย่างเป็นระเบียบ เพื่อนำไปใช้คำนวณ หรือวิเคราะห์ผลโดยวิธีการต่าง ๆ ทางสถิติต่อไป (Bookstein, 1982 อ้างถึงในเพ็ญศรี ตั้งคณะสิงห์, 2531)

การวิเคราะห์ทางมอร์ฟเมต릭ของแมลงชนิดต่าง ๆ สามารถทำได้แม่นยำ เพราะลักษณะทางสัณฐานวิทยาของแมลงเป็นโครงร่างแข็งภายนอก (exoskeleton) ซึ่งคงรูปและมีการเปลี่ยนแปลงน้อยมาก ทำให้สะดวกต่อการวัด ถึงแม้ว่าจะเก็บรักษาตัวอย่างนี้ไว้ในน้ำยาดอง หรืออบแห้ง นอกจากนี้โครงร่างแข็งภายนอกที่ถูกกำหนดโดยพันธุกรรมยังขึ้นอยู่กับอิทธิพลจากสภาพแวดล้อม ได้แก่ ความผันแปรของเขตภูมิศาสตร์ (geographic variability) และฤดูกาล (Daly, 1985; Matti and Verma, 1984c) รวมทั้งพฤติกรรมของแมลงนั้น ๆ ด้วย (Daly, 1985) ซึ่งการศึกษาทางมอร์ฟเมต릭ของแมลงในสมัยก่อน จะทำการวัดขนาดด้วยมือ ในบางครั้งอาจทำให้เกิดความคลาดเคลื่อนได้จาก 3 กรณี คือ

1. ผู้วัดกำหนดจุด 2 จุดในการวัดไม่เที่ยงตรงพอ
2. ผู้วัดอ่านระยะผิดพลาด เนื่องจากหน่วยของ ocular micrometer ไม่ละเอียดพอ
3. เมื่อวัดขนาดจากตัวอย่างจำนวนมาก ทำให้ผู้วัดเกิดความเมื่อยล้าของสายตาและส่วนอื่น ๆ ของร่างกาย ซึ่งมีผลทำให้ความละเอียดรบคบและพิถีพิถันลดน้อยลง

ถึงแม้ว่าความคลาดเคลื่อนทั้ง 3 กรณีจะเกิดเพียงเล็กน้อยแต่ก็อาจจะมีผลต่อการวิเคราะห์ได้ ต่อมาได้มีการนำคอมพิวเตอร์และอุปกรณ์อิเล็กทรอนิกส์มาช่วยในการศึกษาทางมอร์ฟเมต릭 ซึ่งประกอบด้วยกล้องจุลทรรศน์ที่มีเครื่องฉายสไลด์จากตัวกล้อง เครื่องไมโครคอมพิวเตอร์ จอร์บภาพจากเครื่องฉายสไลด์จากตัวกล้อง และโปรแกรมคอมพิวเตอร์เฉพาะงาน (Daly, 1985) โดยข้อมูลที่ได้จากการศึกษานี้ เป็นพื้นฐานที่สำคัญต่อการศึกษาทางด้านสัณฐานวิทยาของลิงมีชีวิต ซึ่งสามารถนำไปประกอบการศึกษาทางนิเวศวิทยาและพันธุศาสตร์ได้ (เสวนีย์ เสนมาทอง, 2540) ทั้งนี้การศึกษาทางด้านนี้ต้องใช้ตัวอย่างที่มีจำนวนมากพอในแต่ละหนึ่งหน่วยพื้นที่และทำการศึกษาด้วยช่วงการที่เหมือนกันจะได้ข้อมูลที่ดีที่สุดในการเปรียบเทียบ (Limbipichai, 1990)

2.6 งานวิจัยที่เกี่ยวข้อง

ในปี 1916 Cochlov เป็นผู้ที่ทำการศึกษาทางด้านมอร์ฟเมต릭ของผึ้งเป็นครั้งแรก โดยวัดความยาวโพรงอสซิสของตัวอย่าง *A. mellifera* ที่เก็บมาจากพื้นที่ในรัสเซีย 6 บริเวณ ๆ ละ 3 รัง ๆ ละ 100 ตัวชั้นไป รวมจำนวนตัวอย่างผึ้งทั้งหมด 1,899 ตัว พบร่วมกับความยาวของโพรงอสซิสเพิ่มขึ้นตามลำดับจากตัวอย่างทางตอนเหนือถึงทางตอนใต้ (Cochlov, 1916 อ้างถึงใน Ruttner, 1988)

Morimoto (1965) ได้รายงานผลการวัดขนาดสเตอร์ในตัวของ *A. mellifera ligustica* และ *A. cerana cerana* โดยเปรียบเทียบขนาดความยาวท้อง (abdomen) ในผึ้งชนิดเดียวกันจำนวน 2 รัง พบว่าไม่มีความแตกต่างกัน แต่เมื่อเปรียบเทียบขนาดความยาวท้องในผึ้งต่างชนิดกัน พบว่ามีความแตกต่างกันอย่างมีนัยสำคัญ นอกจากนี้ยังพบว่าความยาวและกว้างของสเตอร์ในตัวที่ 4-6 มีความสัมพันธ์ใกล้ชิดกับขนาดของท้อง

Morimoto (1968) สามารถประมาณความยาวโพรงอสซิสของ *A. mellifera ligustica* และ *A. cerana cerana* จากความยาวเลเบียล พาลพัส (labial pulpus) ของผึ้งทั้งสองชนิดได้ โดยความยาวของโพรงอสซิสและเลเบียล พาลพัสของผึ้งแต่ละชนิดมีความสัมพันธ์กัน นอกจากนี้ความยาวโพรงอสซิสของผึ้งทั้งสองชนิดนี้ยังมีความแตกต่างอย่างมีนัยสำคัญด้วย

Mattu และ Verma (1983) ได้ทำการศึกษาเปรียบเทียบลักษณะทางสัณฐานวิทยาของลิ้น (tongue) และหนวดของ *A. cerana indica* ซึ่งอยู่ทางด้านตะวันตกเฉียงใต้ของเทือกเขาหิมาลัย โดยเก็บตัวอย่างจากที่ต่าง ๆ กันในบริเวณ Himachal และ Kashmir ของประเทศอินเดีย พบว่าลักษณะทางสัณฐานวิทยาของความยาวโพสท์เมนตัม (postmentum) เพดิเซล (pedicel) เส้นหนวด (flagellum) และความยาวหนวดของผึ้งในบริเวณ Himachal มีความแตกต่างกัน ส่วนบริเวณ Kashmir พบเพียงความยาวโพสท์เมนตัมเท่านั้นที่มีความแตกต่างกัน นอกจากนี้พบว่าความยาวโพสท์เมนตัม สแคป (scape) เพดิเซล เส้นหนวดและความยาวหนวดของผึ้งในบริเวณ Himachal และความยาวหนวดของผึ้งในบริเวณ Kashmir มีความสัมพันธ์แบบเป็นปฏิภาคโดยตรงเล็กน้อยกับความสูงเหนือระดับน้ำทะเล (altitude) ส่วนความยาวหนวดและเส้นหนวดของผึ้งจากบริเวณ Kashmir ยาวมากกว่า Himachal สำหรับความยาวลิ้นของผึ้งทั้งสองบริเวณไม่พบความแตกต่างกัน ทั้งนี้อาจจะมีความสัมพันธ์อย่างใกล้ชิดกับลักษณะทางสัณฐานวิทยาของดอกไม้ที่เป็นพืชอาหารมากกว่าความสูงเหนือระดับน้ำทะเล

Mattu และ Verma (1984a) ได้ทำการศึกษาลักษณะทางสัณฐานวิทยาของปีกหน้าและปีกหลังของ *A. cerana indica* โดยเก็บตัวอย่างจากที่ต่าง ๆ กันในบริเวณ Himachal และ Kashmir ของประเทศอินเดีย พบว่าความยาวและความกว้างของปีกหน้าและหลัง สัดส่วนของเส้นปีก (wing venation) ขนาดของมุนบางมุน และจำนวนชานุไล (hamuli) ของผึ้งในบริเวณเทือกเขาหิมาลัย และความกว้างของปีกหน้า สัดส่วนของเส้นปีกบางลักษณะ ขนาดของมุนบางมุน และจำนวนชานุไลของผึ้งในบริเวณ Kashmir มีความสัมพันธ์แบบเป็นปฏิภาคโดยตรงกับความสูงเหนือระดับน้ำทะเล นอกจากนี้ยังพบว่าลักษณะต่าง ๆ ของปีกผึ้งในบริเวณ Kashmir ส่วนมากมีขนาดใหญ่กว่า Himachal

Mattu และ Verma (1984b) ได้ทำการศึกษาลักษณะทางสัณฐานวิทยาของขาหลัง เทอร์igoต และสเตอร์ในตัวของ *A. cerana indica* โดยเก็บตัวอย่างจากที่ต่าง ๆ กันในบริเวณ Himachal และ Kashmir ของประเทศอินเดีย พบว่าลักษณะเหล่านี้ส่วนใหญ่มีความสัมพันธ์แบบเป็นปฏิภาคโดยตรงกับความสูงเหนือระดับน้ำทะเล โดยผึ้งจากบริเวณ Himachal มีความสัมพันธ์มากกว่า

Kashmir นอกจากนี้ยังพบว่าลักษณะต่าง ๆ เหล่านี้ของผึ้งจากบริเวณ Kashmir มีขนาดใหญ่กว่า Himachal

Mattu และ Verma (1984c) ได้รายงานการศึกษาลักษณะทางสัณฐานวิทยาของ *A. cerana indica* ที่เปลี่ยนแปลงไปตามฤดูกาล พบร่วมมีลักษณะทางสัณฐานวิทยา 14 ลักษณะที่แสดงค่าความแตกต่างอย่างมีนัยสำคัญระหว่างผึ้งที่เก็บมาจากฤดูร้อน (summer) และฤดูใบไม้ร่วง (autumn) เบรริบเนียนกับฤดูฝน (rainy) ต้นฤดูหนาว (early winter) ปลายฤดูหนาว (late winter) และฤดูใบไม้ผลิ (spring) ทั้งนี้เนื่องจากฤดูร้อนและฤดูใบไม้ร่วงเป็นช่วงที่ผึ้งในบริเวณที่ศึกษาสามารถเก็บน้ำผึ้งได้มากที่สุด และดูเหมือนว่ารั้งผึ้งมีความหนาแน่นและมีอาหารมากเกินพอกล้าหรับตัวอ่อนทำให้ผึ้งในทั้งสองฤดูนี้มีขนาดใหญ่กว่าฤดูอื่น ๆ ซึ่งส่งผลต่อค่าทางสถิติของผึ้งด้วย ดังนั้นควรเก็บตัวอย่างในช่วงสองฤดูนี้สำหรับการศึกษาเพื่อตรวจสอบชนิดของผึ้ง หรือเก็บตัวอย่างในช่วงฤดูกาลเดียวกันสำหรับการศึกษาแบบต่อเนื่องทุกปี

Ruttner (1988) ได้รายงานการศึกษาทางmorphometrikโดยการวัดลักษณะทางสัณฐานวิทยา 20 ลักษณะ จากตัวอย่าง *A. florea* 6 บริเวณ คือ อิหร่าน 60 ตัว โอมาน 60 ตัว ปากีสถาน 40 ตัว ศรีลังกา 80 ตัว อินเดียตอนใต้ 20 ตัว และไทย 60 ตัว รวมเป็นจำนวน 320 ตัว ถึงแม้ว่าข้อมูลยังไม่เพียงพอสำหรับการวิเคราะห์ แต่ก็สามารถพิสูจน์การแปรผันตามเขตภูมิศาสตร์ (geographic variability) ได้ชัดเจน ซึ่งผลการวิเคราะห์ปัจจัยโดยการสกัดปัจจัยด้วย Principle Component Analysis (PCA) สามารถจัดกลุ่ม *A. florea* ได้ 3 กลุ่ม คือ กลุ่มที่ 1 เป็นผึ้งจากศรีลังกาและอินเดียตอนใต้ กลุ่มที่ 2 เป็นผึ้งจากไทย และกลุ่มที่ 3 เป็นผึ้งจากโอมาน ปากีสถานและอิหร่าน นอกจากนี้ยังพบว่าผึ้งทางตอนเหนือมีขนาดใหญ่กว่าผึ้งทางตอนใต้

Rinderer และคณะ (1993) ได้ศึกษาการจัดจำแนกผึ้งแอฟริกันและผึ้งยุโรป โดยใช้เทคนิคทางmorphometrik เพื่อหาความแตกต่างของตัวอย่าง 2,103 รัง ที่เก็บมาจากหลาย ๆ บริเวณในซีกโลกตะวันออกและเกาะ Kangaroo ของประเทศออสเตรเลีย และใช้การวิเคราะห์ตัวแปรตัวเดียว (Univariate Analysis) และ การวิเคราะห์ตัวแปรหลายตัว (Multivariate Analysis) เพื่อคัดเลือกลักษณะทางสัณฐานวิทยาและกลุ่มของลักษณะที่จะใช้ในการวิเคราะห์ความแตกต่าง ผลการวิเคราะห์สามารถจำแนกผึ้งแอฟริกัน 565 รัง (95.6%) จาก 591 รังได้และสามารถจำแนกผึ้งยุโรป 1,512 รังได้อย่างถูกต้อง

Crewe, Hepburn และ Moritz (1994) ได้ศึกษาการวิเคราะห์ทางด้านmorphometrik ของสายพันธุ์ผึ้งแอฟริกันทางตอนใต้ 2 สายพันธุ์ คือ *A. mellifera capensis* และ *A. mellifera scutellata* โดยเก็บตัวอย่างจากชายฝั่งตะวันตกถึงชายฝั่งตะวันออก และจากทางตอนใต้ของ Cape Town ถึงทางตอนเหนือของ Johannesburg แล้วนำมารวิเคราะห์ลักษณะทางสัณฐานวิทยา 36 ลักษณะด้วยเทคนิคทางmorphometrik เพื่อหาข้อบ่งบอกการกระจายของผึ้งทั้ง 2 สายพันธุ์และบริเวณที่เกิดลูกผสมจาก 2 สายพันธุ์นี้ พบว่ามีลักษณะทางสัณฐานวิทยา 10 ลักษณะ ที่สามารถนำมาใช้แยกความแตกต่างของผึ้ง 2 สายพันธุ์นี้ได้

Verma, Mattu และ Daly (1994) ได้ทำการวิเคราะห์ลักษณะทางสัณฐานวิทยาของ *A. cerana* 55 ลักษณะ โดยเก็บตัวอย่างจากหลายพื้นที่ภายใน Himachal Pradesh และ Jammu และบริเวณ Kashmir ของประเทศอินเดีย เมื่อทำการวิเคราะห์ผลการวัดลักษณะทางสัณฐานวิทยาด้วย Discriminant Function Analysis และ Cluster Analysis พบว่ามี 2 กลุ่มที่แตกต่างกัน ซึ่งภายใน 2 กลุ่มนี้มีสัมพันธ์กับความแตกต่างของสภาพภูมิอากาศภายในบริเวณ Himachal และ Kashmir ด้วย

Rinderer และคณะ (1995) ได้ศึกษาการจัดจำแนกทางด้านอนุกรมวิธานโดยใช้ลักษณะทางสัณฐานวิทยา 44 ลักษณะ ระหว่าง *A. andreniformis* จากทางภาคใต้ของประเทศไทยและเกาะป่าลัวนของประเทศไทยเป็นสกุล *A. florea* จากทางภาคใต้ของประเทศไทย พบว่า ลักษณะทางสัณฐานวิทยาทั้งหมด 44 ลักษณะของ *A. andreniformis* มีความแตกต่างจาก *A. florea* นอกจากนี้ พบว่าสีที่ส่วนเทลลัม (scutellum) ของ *A. andreniformis* มีสีเหลือง ส่วนของ *A. florea* มีสีดำ ซึ่งสามารถใช้สีที่ส่วนเทลลัมจำแนกชนิดของผึ้งทั้งสองในพื้นที่ศึกษาได้

Fuchs และคณะ (1996) ได้ศึกษาลักษณะทางสัณฐานวิทยา 38 ลักษณะ ในตัวอย่างผึ้งที่ทำรังอยู่ในโพรง คือ *A. nuluensis* จำนวน 9 ตัวอย่าง ที่เก็บมาจาก 3 บริเวณ คือ ชาบท์ บอร์เนีย และมาเลเซีย ที่อยู่ในช่วงความสูง 1,524–3,400 เมตรเหนือระดับน้ำทะเล เพื่อเปรียบเทียบกับผึ้งที่ทำรังในโพรงเช่นเดียวกันอีก 4 ชนิด ได้แก่ ชนิดที่ 1 เป็น *A. cerana* ที่เก็บมาจาก 4 บริเวณ ในเอเชีย ได้แก่ บอร์เนีย ศรีลังกา จีนและญี่ปุ่น ชนิดที่ 2 เป็น *A. koschevnikovi* ชนิดที่ 3 เป็น *A. nigrocincta* และชนิดที่ 4 เป็น *A. mellifera* ที่เก็บมาจากบริเวณเด่นศุนย์สูตร 2 สายพันธุ์ ได้แก่ *A. mellifera scutellata* และ *A. mellifera monticola* พบว่ามีบางลักษณะของ *A. nuluensis* ที่แตกต่างจากผึ้งชนิดอื่น ๆ แต่ขนาดลำตัวของ *A. nuluensis* มีค่าใกล้เคียงกับ *A. nigrocincta* ที่เก็บมาจาก Sulawesi ส่วนขนาดเล็บปีกมีค่าใกล้เคียงกับ *A. cerana* จากทางตอนเหนือของเอเชีย นอกจากนี้ผลการวิเคราะห์ปัจจัย (Factor Analysis) แสดงให้เห็นอย่างชัดเจนว่า *A. nuluensis* มีความแตกต่างอย่างมีนัยสำคัญจากผึ้งกลุ่มอื่น ๆ และผลการจำแนกกลุ่มด้วยวิธี Discriminant Analysis พบว่าผึ้ง *A. nuluensis* มีความแตกต่างจากผึ้งที่อาศัยอยู่ในบริเวณเดียวกัน (sympatric) คือ *A. cerana* จากบอร์เนียและ *A. koschevnikovi* อย่างชัดเจน

Radloff และคณะ (1996) ได้ทำการวัดลักษณะทางสัณฐานวิทยา 11 ลักษณะ และศึกษาเพอร์โอมจากเหล็กใน (sting pheromone) ในผึ้งงานของ *A. mellifera* เพื่อวิเคราะห์ลักษณะของประชากรผึ้งเหล่านี้ที่อยู่ทางตะวันตกเฉียงใต้ของแอฟริกาด้วยวิธีวิเคราะห์ตัวแปรหลายตัว พบว่า สามารถจัดกลุ่มประชากรที่มีลักษณะเหมือนกันได้ 2 กลุ่ม คือ กลุ่ม *A. mellifera adansonii* อยู่ทางตอนเหนือของแอฟริกาใต้ และกลุ่ม *A. mellifera scutellata* อยู่ทางตอนใต้ของ Namibia นอกจากนี้ยังมีกลุ่มลูกผสมอยู่ระหว่างประชากรทั้ง 2 กลุ่มด้วย

Radloff และ Hepburn (1997a) ได้รายงานการศึกษาเปรียบเทียบลักษณะทางสัณฐานวิทยา 11 ลักษณะ และเพอร์โอมจากเหล็กในของ *A. mellifera* เพื่อจำแนกกลุ่มประชากรผึ้งบริเวณแหล่ง

(Horn) ของแอฟริกาด้วยวิธีวิเคราะห์ตัวแปรหลายตัว พบว่าสามารถจัดกลุ่มประชากรที่มีลักษณะภายในกลุ่มเหมือนกันได้ 4 กลุ่ม ได้แก่ กลุ่มที่ 1 เป็น *A. mellifera jemenitica* Ruttner กลุ่มที่ 2 เป็น *A. mellifera bandasii* Mogga กลุ่มที่ 3 เป็น *A. mellifera sudanensis* Rashad อยู่ในบริเวณ Ethiopia และกลุ่มที่ 4 เป็นลูกผสมอยู่ทางตะวันตกเฉียงใต้ของ Somalia

Radloff และ Hepburn (1997b) ได้ทำการศึกษาเปรียบเทียบลักษณะทางสัณฐานวิทยา 11 ลักษณะ และเพอร์โรมนจากเหล็กในของผึ้งงาน *A. mellifera* ด้วยวิธีวิเคราะห์ตัวแปรหลายตัว เพื่อจำแนกกลุ่มประชากรใน Cameroon ซึ่งมีสภาพภูมิอากาศ 3 แบบ พบว่ามีกลุ่มประชากรที่มีลักษณะภายในกลุ่มเหมือนกันอยู่ 3 กลุ่ม คือ กลุ่มที่ 1 เป็น *A. mellifera adansonii* Latreille กลุ่มที่ 2 เป็น *A. mellifera monticola* และกลุ่มที่ 3 เป็น *A. mellifera jemenitica* Ruttner นอกจากนี้ยังพบกลุ่มลูกผสมอีก 2 กลุ่ม

Hepburn และคณะ (2001) ได้รายงานการใช้ลักษณะทางสัณฐานวิทยา 55 ลักษณะ เพื่อศึกษารูปometrik ของประชากร *A. cerana* บริเวณทางตอนใต้ของเทือกเขาทิมาลัย ซึ่งมีอาณาเขตของพื้นที่ศึกษาจากพรมแดนทางทิศตะวันออกเฉียงเหนือของประเทศปากีสถานถึงพรมแดนทางทิศตะวันตกเฉียงเหนือของประเทศพม่า โดยมีระยะห่างเฉลี่ย 50 กิโลเมตรในแต่ละตำแหน่ง รวมระยะทางทั้งสิ้น 2,200 กิโลเมตร พบว่ามีลักษณะทางสัณฐานวิทยาเพียง 22 ลักษณะที่สามารถจำแนกกลุ่มประชากรผึ้งโรงออกเป็น 4 กลุ่ม ซึ่ง 2 ใน 4 กลุ่มนี้สามารถแยกออกได้อีกกลุ่มละ 3 กลุ่มย่อย ซึ่งทั้ง 4 กลุ่มนี้มีความสัมพันธ์กับสภาพภูมิประเทศที่แตกต่างกันในแต่ละความสูงที่เหนือระดับน้ำทะเล ทำให้เกิดการแยกการสืบพันธุ์กันแบบชั้นคลาฟ

บทที่ 3

วัสดุอุปกรณ์และวิธีการศึกษา

3.1 วัสดุอุปกรณ์และสารเคมีที่ใช้ในภาคสนาม

- 3.1.1 สิ่งจับแมลง
- 3.1.2 ขวดสเปรย์ฉีดน้ำ
- 3.1.3 กระปองควัน
- 3.1.4 ชุดป้องกันผึ้งต่ออย
- 3.1.5 ขวดเก็บตัวอย่าง ขนาด 20 มิลลิลิตร
- 3.1.6 ปากดีบปลายทู่
- 3.1.7 Ethyl acetate (Merck, Germany)
- 3.1.8 Absolute ethanol (Merck, Germany)
- 3.1.9 สำลี
- 3.1.10 ถุงพลาสติกและยางรัด
- 3.1.11 กล้องถ่ายรูป Nikon FM2 (Nikon Co., Japan)
- 3.1.12 ฟิล์มถ่ายรูปสี 100 (Eastman Kodak Company, U.S.A.)

3.2 วัสดุอุปกรณ์และสารเคมีที่ใช้ในห้องปฏิบัติการ

- 3.2.1 เครื่องมือ
 - 3.2.1.1 Stereo microscope SZ40 (Olympus, Japan)
 - 3.2.1.2 Incubator BM400 (Memmert GambH, Germany)
 - 3.2.1.3 Balance 180A (Precisa Balances, Switzerland)
 - 3.2.1.4 Stirrer/Hotplate model PC-320 (Corning, U.S.A.)
 - 3.2.1.5 Vortex Genie-2 model G560E (Scientific Industries Inc., U.S.A.)
 - 3.2.1.6 Personal computer (IBM)
 - 3.2.1.7 กล้องวีดีโอดูจาระปิดแบบขาวดำ CCTV Camera Panasonic รุ่น WV-BL 730/G (Panasonic, Japan)

3.2.2 อุปกรณ์

- 3.2.2.1 โคมไฟ
- 3.2.2.2 กรรไกรผ่าตัดปลายแหลม (Bio Quip)
- 3.2.2.3 ปากคีบปลายแหลม (Grümed, Germany)
- 3.2.2.4 สไลด์ ขนาดกว้าง × ยาว 25.4×76.2 มิลลิเมตร และหนา $1-1.2$ มิลลิเมตร (Sail brand, China)
- 3.2.2.5 กระเจกปิดสไลด์ ขนาดเลันผ่าคูนย์กลาง 15 มิลลิเมตร (Menzel-Glaser, Germany)
- 3.2.2.6 เข็มปักแมลง (The shiga, Japan)
- 3.2.2.7 ตาดผ่าตัดแมลง
- 3.2.2.8 ในมีดโกนพู่กัน เบอร์ 0
- 3.2.2.9 ชาตั้งหลอดทดลองและกรวยกรอง
- 3.2.2.10 บีกเกอร์ ขนาด $1,000$ มิลลิลิตร (Pyrex, U.S.A.)
- 3.2.2.11 ชุดใส่สารละลาย ขนาด 100 มิลลิลิตร
- 3.2.2.12 แท่งแก้วสำหรับคนสารละลาย
- 3.2.2.13 หลอดหยดสาร
- 3.2.2.14 ถุงมือยาง
- 3.2.2.15 กล่องใส่สไลด์
- 3.2.2.16 Micrometer

3.2.3 สารเคมี

- 3.2.3.1 Gum arabic (Sigma, U.S.A.)
- 3.2.3.2 Chloral hydrate (Fluka, Switzerland)
- 3.2.3.3 Glycerine (BDH, England)
- 3.2.3.4 น้ำยาทาเล็บและน้ำยาเติม

3.2.4 วัสดุ

- 3.2.4.1 Microcentrifuge tube 0.5 และ 1.5 มิลลิลิตร (Treff lab, Switzerland)
- 3.2.4.2 Whatman laboratory sealing film (Whatman Internation Ltd., England)
- 3.2.4.3 Filter paper whatman 4 MM (Whatman Internation Ltd., England)

3.2.4.4 ใบมีดโคน

3.2.4.5 กระดาษติดฉลาก

3.2.4.6 กระดาษ 100 ปอนด์

3.3 วิธีการศึกษา

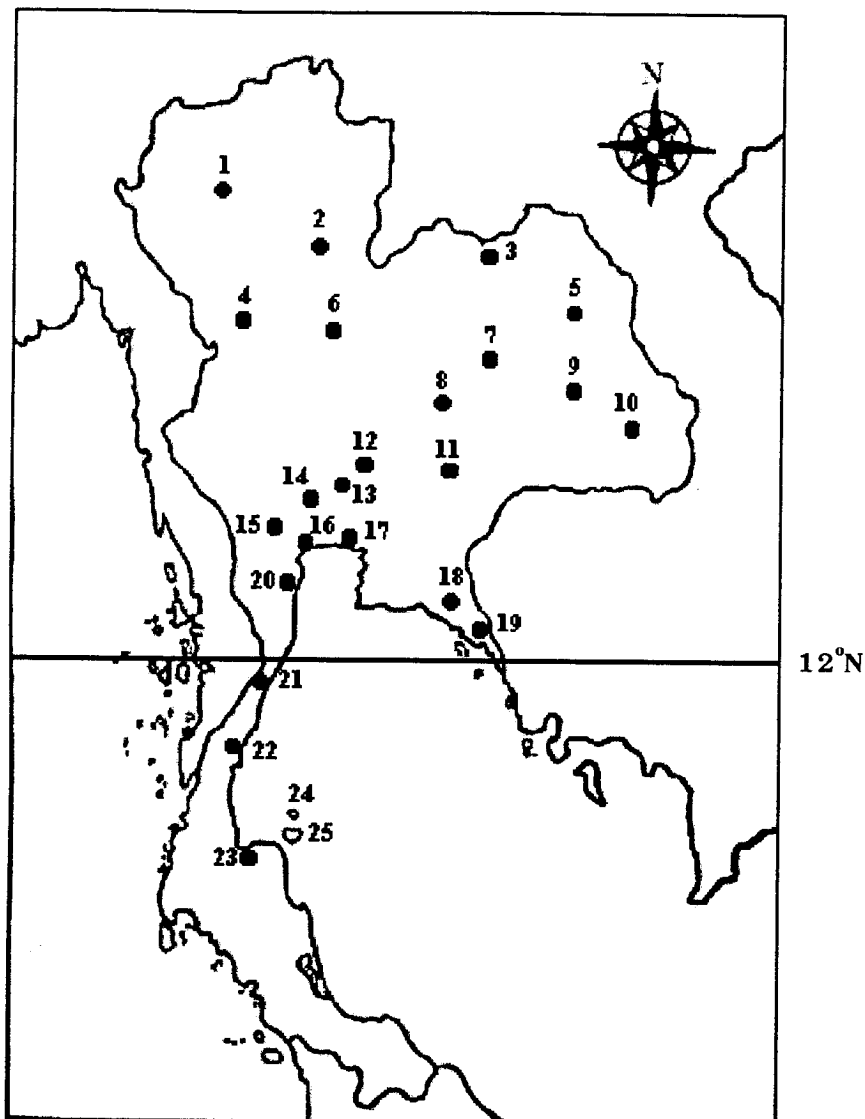
3.3.1 การเก็บตัวอย่าง

3.3.1.1 เก็บตัวอย่างผึ้งงานของผึ้งมีมิ้น *Apis florea* (รูปภาพที่ 6) 50 รัง ๆ ละ 15 ตัว (Ruttner, 1988) (รูปภาพที่ 7 และ ตารางที่ 1-2) ใส่ในขวดที่มี ethyl acetate เพื่อทำให้ผึ้งสลบ



รูปภาพที่ 6 แสดงรังของผึ้งมีมิ้น *A. florea*

3.3.1.2 นำผึ้งที่สลบใส่ในขวดเก็บตัวอย่างที่มีแอลกอฮอล์เข้มข้น 70 เปอร์เซ็นต์ บรรจุอยู่เพื่อรักษาสภาพตัวอย่าง และติดฉลากแสดงชื่อผู้เก็บตัวอย่าง วันที่ และสถานที่



รูปภาพที่ 7 แผนที่ประเทศไทยแสดงตำแหน่งจังหวัดที่เก็บตัวอย่างผึ้งงานของผึ้งมีน

- | | | |
|---------------------------|-------------------|----------------------------|
| 1 = เชียงใหม่ | 2 = อุตรดิตถ์ | 3 = หนองคาย |
| 4 = ตาก | 5 = สกลนคร | 6 = พิษณุโลก |
| 7 = ขอนแก่น | 8 = ชัยภูมิ | 9 = ร้อยเอ็ด |
| 10 = อุบลราชธานี | 11 = นครราชสีมา | 12 = ลพบุรี |
| 13 = อ่างทอง | 14 = สุพรรณบุรี | 15 = ราชบุรี |
| 16 = สมุทรสงคราม | 17 = สมุทรปราการ | 18 = จันทบุรี |
| 19 = ตราด | 20 = เพชรบุรี | 21 = ประจวบคีรีขันธ์ |
| 22 = ชุมพร | 23 = สุราษฎร์ธานี | 24 = กาฬพะเนน สุราษฎร์ธานี |
| 25 = กาฬสุมย สุราษฎร์ธานี | | |

ตารางที่ 1 แสดงจังหวัดและจำนวนรังของตัวอย่างผึ้งมีมเมื่อแยกตามบริเวณที่มีสภาพภูมิอากาศแตกต่างกันและหมู่บ้าน

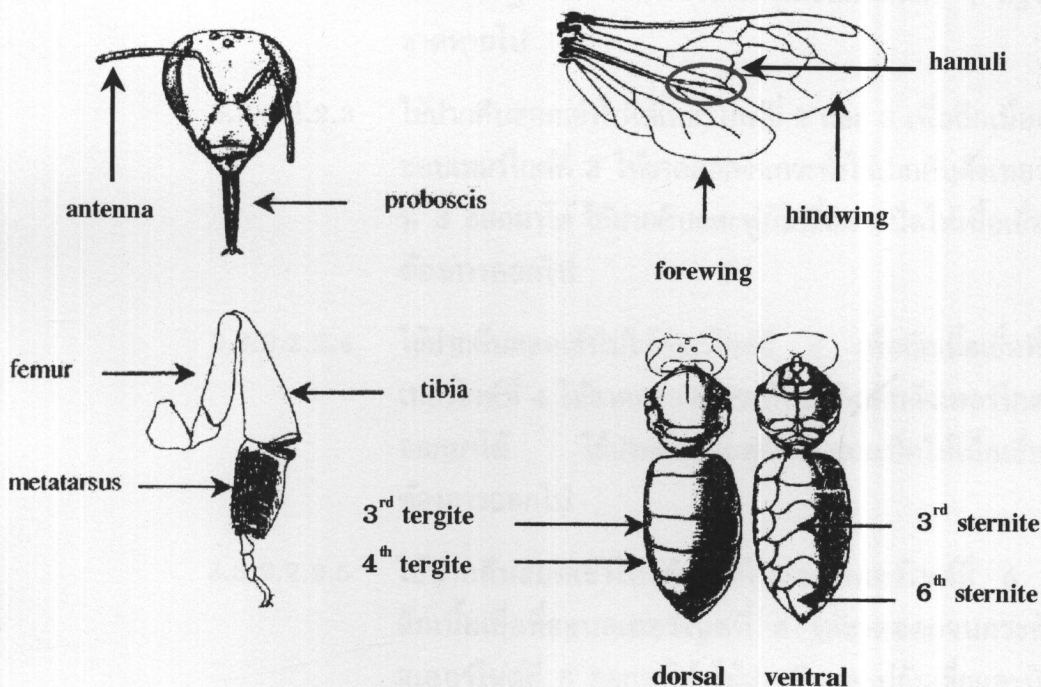
บริเวณ	จังหวัด	จำนวนตัวอย่างผึ้งมีม (รัง)
ภาคเหนือ	เชียงใหม่	2
	อุตรดิตถ์	1
	ตาก	1
	พิษณุโลก	1
ภาคตะวันออกเฉียงเหนือ	หนองคาย	1
	สกลนคร	1
	ขอนแก่น	1
	ชัยภูมิ	1
	นครราชสีมา	2
	ร้อยเอ็ด	1
	อุบลราชธานี	1
ภาคกลาง	ลพบุรี	6
	อ่างทอง	1
	สุพรรณบุรี	1
	สมุทรปราการ	1
	สมุทรสงคราม	2
	ราชบุรี	2
ภาคตะวันออก	จันทบุรี	1
	ตราด	1
ภาคใต้	เพชรบุรี	1
	ประจวบคีรีขันธ์	6
	ชุมพร	3
	สุราษฎร์ธานี	2
หมู่บ้าน	เกาะพะงัน จังหวัดสุราษฎร์ธานี	4
	เกาะสมุย จังหวัดสุราษฎร์ธานี	6
รวม		50

ตารางที่ 2 แสดงจังหวัดและจำนวนรังของตัวอย่างผึ้งมีมเมื่อแยกตามบริเวณที่อยู่เหนือและใต้เส้นละติจูดที่ 12°N

จังหวัด	จำนวนรังของผึ้งมีม (รัง)	
	เหนือเส้นละติจูดที่ 12° เหนือ	ใต้เส้นละติจูดที่ 12° เหนือ
เชียงใหม่	2	-
อุตรดิตถ์	1	-
พิษณุโลก	1	-
ตาก	1	-
หนองคาย	1	-
ขอนแก่น	1	-
ชัยภูมิ	1	-
นครราชสีมา	2	-
ลพบุรี	6	-
อ่างทอง	1	-
สกลนคร	1	-
ร้อยเอ็ด	1	-
อุบลราชธานี	1	-
สมุทรปราการ	1	-
จันทบุรี	1	-
ตราด	1	-
สุพรรณบุรี	1	-
สมุทรสงคราม	2	-
เพชรบุรี	1	-
ราชบุรี	2	-
ประจวบคีรีขันธ์	1	5
ชุมพร	-	3
สุราษฎร์ธานี	-	2
เกาะสมุย สุราษฎร์ธานี	-	6
เกาะพะนัง สุราษฎร์ธานี	-	4
รวม	30	20

3.3.2 การผ่าตัด

- 3.3.2.1 นำผึ้ง 15 ตัว จากชุดเก็บตัวอย่าง 1 ชุด วางบนถาดผ่าตัดที่มีแอลกอฮอล์เข้มข้น 70 เปอร์เซ็นต์บรรจุอยู่เพื่อไม่ให้ตัวอย่างแห้งและง่ายต่อการผ่าตัด โดยทำการผ่าตัดภายในใต้กล้องจุลทรรศน์แบบสเตอโรไกโอ (stereo microscope)
- 3.3.2.2 ผ่าตัดผึ้งแต่ละตัวเพื่อเอาส่วนต่าง ๆ ที่ใช้ศึกษาลักษณะทางสัณฐานวิทยาได้แก่ หนวด โพรงอสซิส ปีกหน้า ปีกหลัง ขาหลัง สเตอร์ไนต์ที่ 3 และ 6 และเทอร์ไกต์ที่ 3 และ 4 (รูปภาพที่ 8) โดยมีขั้นตอนการผ่าตัดดังนี้



รูปภาพที่ 8 แสดงส่วนต่าง ๆ ของผึ้งที่ทำการผ่าตัด

- 3.3.2.2.1 ใช้เข็มปักแมลงแหงลงบนด้านท้องของอกผึ้ง เพื่อตรึงผึ้งบนถาดผ่าตัด
- 3.3.2.2.1.1 ใช้ปากคีบจับบริเวณพรีเมนตัม (prementum) เพื่อใช้กรรไกรและใบมีดตัดเลาเนื้อยื่อรอบ ๆ โพรงอสซิสอย่างระมัดระวัง แล้วดึงโพรงอสซิสออกมากอย่างสมบูรณ์ ซึ่งประกอบด้วย พอสท์เมนตัม พรีเมนตัม และกลอสเส (glossae)
- 3.3.2.2.1.2 ใช้ปากคีบจับบริเวณปล้องของฟีเมอร์ (femur) ของขาหลังด้านขวา เพื่อใช้กรรไกรตัดบริเวณปล้องทรอแคนเตอร์ (trochanter) ของขาหลังด้านขวา ใช้ใบมีดตัดแยกบริเวณรอยต่อของทรอแคนเตอร์กับฟีเมอร์ รอยต่อของทิเบีย (tibia) กับเมตาทาร์ซัส (metatarsus) และรอยต่อของเมตาทาร์ซัสกับ

ฟาร์ซัส (tarsus) จะได้ส่วนที่ต้องการ 2 ส่วนคือ ฟิเมอร์ติดอยู่กับทิเบีย และเมตาฟาร์ซัส

3.3.2.2.2 ใช้เข็มปักแมลงแ肠ลงบนด้านหน้าของหัวผึ้ง เพื่อตรึงผึ้งบนถาดผ่าตัด

- 3.3.2.2.2.1 ใช้ปากคีบจับบริเวณโคนของสแคปของหนวดด้านขวา ใช้มีดเลาะเนื้อเยื่อบริเวณใต้สแคป เพื่อแยกหนวดออกมา
- 3.3.2.2.2.2 ใช้เข็มปักแมลงแ肠ลงบนด้านหลังของอกผึ้ง ใช้ปากคีบจับบริเวณปีกหน้าด้านขวา เพื่อใช้กรรไกรและใบมีดตัดเลาะบริเวณใต้ฐานปีก โดยระวังไม่ให้จุดเชื่อมต่อเล็ก ๆ ที่ฐานปีกขาดหายไป
- 3.3.2.2.2.3 ใช้ปากคีบสอดเข้าไปใต้เทอร์ไกต์ที่ 2 และ 3 เพื่อฉีกเนื้อเยื่อที่ขอบเทอร์ไกต์ที่ 3 ให้ขาดออกจนกระหั่งใช้ปากคีบดึงเทอร์ไกต์ที่ 3 ออกมาได้ ใช้ปากคีบและพู๊กันเชี่ยและปัดให้เนื้อเยื่อที่ไม่ต้องการออกไป
- 3.3.2.2.2.4 ใช้ปากคีบสอดเข้าไปใต้เทอร์ไกต์ที่ 4 เพื่อฉีกเนื้อเยื่อที่ขอบเทอร์ไกต์ที่ 4 ให้ขาดออกจนกระหั่งใช้ปากคีบดึงเทอร์ไกต์ที่ 4 ออกมาได้ ใช้ปากคีบและพู๊กันเชี่ยและปัดให้เนื้อเยื่อที่ไม่ต้องการออกไป
- 3.3.2.2.2.5 ใช้ปากคีบสอดเข้าไปใต้เหล็กในและสเตอร์ไนต์ที่ 6 เพื่อฉีกเนื้อเยื่อที่ขอบสเตอร์ไนต์ที่ 6 ให้ขาดออกจนกระหั่งดึงสเตอร์ไนต์ที่ 6 ออกมาได้ ใช้ปากคีบและพู๊กันเชี่ยและปัดให้เนื้อเยื่อกับไข่ผึ้งที่ไม่ต้องการออกไป
- 3.3.2.2.2.6 ใช้ปากคีบสอดเข้าไปใต้สเตอร์ไนต์ที่ 4 และ 3 เพื่อฉีกเนื้อเยื่อที่ขอบสเตอร์ไนต์ที่ 3 ให้ขาดออกจนกระหั่งดึงสเตอร์ไนต์ที่ 3 ออกมาได้ ใช้ปากคีบและพู๊กันเชี่ยและปัดให้เนื้อเยื่อกับไข่ผึ้งที่ไม่ต้องการออกไป

หมายเหตุ ทุกขั้นตอนของการผ่าตัดต้องทำอย่างระมัดระวัง เพราะส่วนต่าง ๆ ของผึ้งสามารถแตกหักและฉีกขาดได้ง่าย

- 3.3.2.3 เก็บส่วนต่าง ๆ ที่ใช้ศึกษาของผึ้ง 1 ตัว ใส่รวมกันใน microcentrifuge tube ขนาด 0.5 มิลลิลิตร ที่มีแอลกอฮอล์เข้มข้น 70 เปอร์เซ็นต์บรรจุอยู่ส่วนที่เหลือเก็บใส่ใน microcentrifuge tube ขนาด 1.5 มิลลิลิตร ที่มีแอลกอฮอล์เข้มข้น 70 เปอร์เซ็นต์บรรจุอยู่ และติดฉลากตัวอย่างทั้งสองหลอดเหมือนกัน

3.3.3 การติดตัวอย่างลงบนสไลด์

- 3.3.3.1 ติดตัวอย่างลงบนสไลด์ภายใต้กล้องจุลทรรศน์แบบสเตอโรไก
- 3.3.3.2 เว้นที่ว่างจากขอบสไลด์ด้านกว้างเข้ามาประมาณด้านละ 0.5 มิลลิเมตร เพื่อสามารถนำสไลด์ใส่ในช่องของกล่องเก็บสไลด์ได้ แล้วแบ่งพื้นที่ส่วนที่เหลือออกเป็น 4 ส่วน เพื่อติดตัวอย่างของส่วนต่าง ๆ ที่ใช้ศึกษา โดยแบ่งออกเป็นดังนี้
 - 3.3.3.2.1 ปีกหน้าและหลัง และสเตอร์ไนต์ที่ 3
 - 3.3.3.2.2 เทอร์ไกต์ที่ 3 และ 4 และสเตอร์ไนต์ที่ 6
 - 3.3.3.2.3 โพรงอลซิสและหนวด
 - 3.3.3.2.4 ฟีเมอร์กับทิเบีย และเมตาหาร์ซัส
 - 3.3.3.2.5 เหย่า microcentrifuge tube ที่เก็บส่วนต่าง ๆ ที่ใช้ศึกษาด้วยเครื่อง vortex เพื่อแยกลิ้งสกปรกออกไป
- 3.3.3.3 หยดน้ำยาหอยเออร์ (Hoyer's Medium) (ภาชนะวาก 1) 1-2 หยดลงบนแผ่นสไลด์ขนาด 25.4×76.2 มิลลิเมตร นำส่วนต่าง ๆ ที่จัดแบ่งไว้มาวางบนน้ำยา ใช้ปากคีบช่วยจัดตัวอย่างให้อยู่ในท่าที่ปกติ
- 3.3.3.4 ใช้ปากคีบจับขอบกระจาดปิดสไลด์ขนาด 15 มิลลิเมตร แล้วค่อย ๆ ปล่อยกระจาดปิดสไลด์ลงไปเบา ๆ เพื่อไม่ให้เกิดฟองอากาศ ใช้ผู้กันกดบนกระจาดสไลด์ให้แน่นตัวอย่างเพื่อไม่ให้ตัวอย่างเคลื่อนที่หรือบิด
- 3.3.3.5 สำหรับการติดฟีเมอร์กับทิเบีย และเมตาหาร์ซัส จะหมุนกระจาดปิดสไลด์ด้วยกระดาษ 100 ปอนต์ ซึ่งตัดเป็นวงกลมขนาดเส้นผ่าศูนย์กลาง 15 มิลลิเมตร แล้วเจาะรูเป็นวงกลมขนาดเส้นผ่าศูนย์กลางประมาณ 0.5 มิลลิเมตร เพื่อวางฟีเมอร์กับทิเบีย และเมตาหาร์ซัสในช่องว่างนี้
- 3.3.3.6 ติดฉลากบนแผ่นสไลด์ที่ติดตัวอย่างเรียบร้อยแล้ว ก่อนนำไปวางบน hot plate เพื่อให้ฟองอากาศ
- 3.3.3.7 นำแผ่นสไลด์เข้าตู้อบที่อุณหภูมิ 40°C นานประมาณ 1 สัปดาห์ เพื่อให้น้ำระเหยออกไป
- 3.3.3.8 นำแผ่นสไลด์ออกจากตู้อบ วางทิ้งไว้ที่อุณหภูมิห้องจนเย็นเพื่อให้แผ่นสไลด์กลับคืนสู่สภาพเดิม ก่อนที่จะปิดขอบกระจาดปิดสไลด์ด้วยน้ำยาทาเล็บ ทิ้งไว้จนแห้ง แล้วทำข้า 2-3 ข้า เพื่อป้องกันความชื้นในอากาศเข้าไปในน้ำยาหอยเออร์ และเก็บสไลด์ใส่ในกล่องเก็บสไลด์

3.3.4 การวัดตัวอย่าง

3.3.4.1 ส่องดูแผ่นสไลด์ด้วย stereo microscope และถ่ายภาพด้วยโปรแกรม Dazzle Digital Video Creator & Digital Photo Marker 3.6 เพื่อบันทึกภาพลงในคอมพิวเตอร์ โดยใช้กำลังขยายต่าง ๆ กัน ดังนี้

3.3.4.1.1 กำลังขยาย 1 เท่า ใช้ถ่ายภาพปึกหน้า

3.3.4.1.2 กำลังขยาย 1.2 เท่า ใช้ถ่ายภาพปึกหลัง เทอร์ไกต์ที่ 3 และ 4

3.3.4.1.3 กำลังขยาย 1.5 เท่า ใช้ถ่ายภาพสเตอร์ไนต์ที่ 3

3.3.4.1.4 กำลังขยาย 2 เท่า ใช้ถ่ายภาพพรอบอสซิล

3.3.4.1.5 กำลังขยาย 2.5 เท่า ใช้ถ่ายภาพหนวด สเตอร์ไนต์ที่ 6 พีเมอร์กับทิเบีย และเมตาทาร์ซัส

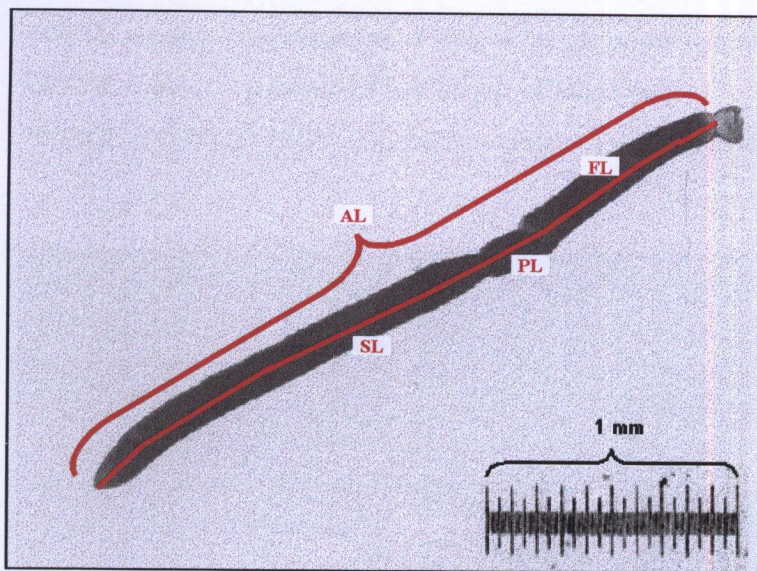
หมายเหตุ กำลังขยายที่ใช้อาจเปลี่ยนแปลงได้ตามความเหมาะสมของขนาดตัวอย่าง

3.3.4.2 ใช้โปรแกรม Image-Pro Plus 3.00 เพื่อวัดขนาดความกว้าง ความยาวและมุมของส่วนต่าง ๆ ที่ใช้ศึกษาลักษณะทางสัณฐานวิทยาของผึ้งมีมแต่ละตัว (รูปภาพที่ 9-18) รวมทั้งหมด 22 ลักษณะ (Ruttner, 1988; Verma *et al.*, 1994; Hepburn *et al.*, 2001) ได้แก่

1. forewing-length of radial cell (RCL)
2. length of apical portion of radial cell (ARCL)
3. length of forewing (FWL)
4. angle 34 of venation (AN34)
5. angle 35 of venation (AN35)
6. angle 37 of venation (AN37)
7. hindwing-length of basal portion of radial vein (BRVL)
8. number of hamuli (NH)
9. length of vannal lobe (VL)
10. hind leg-length of femur (FEL)
11. length of tibia (TL)
12. length of metatarsus (ML)
13. tongue-total length of tongue (TONGL)

14. length of labial palp (LPL)
15. abdomen-total length of 3rd tergite (TL3)
16. length of dark band of 4th tergite (DTL4)
17. total length of 4th tergite (TL4)
18. length of wax mirror on 3rd sternite (WSL3)
19. total length of 3rd sternite (SL3)
20. length or depth of 6th sternite (SL6)
21. antenna-length of flagellum (FL)
22. total length of antenna (AL)

ແລ້ວນັ້ນທີ່ກໍ່ຂອ້ມງວດຈາກການວັດລົງໃນຄອມພິວເຕອຮ໌ ເພື່ອນໍາໄປໃຫ້ເຄຣະທ້າງສົດິທີ

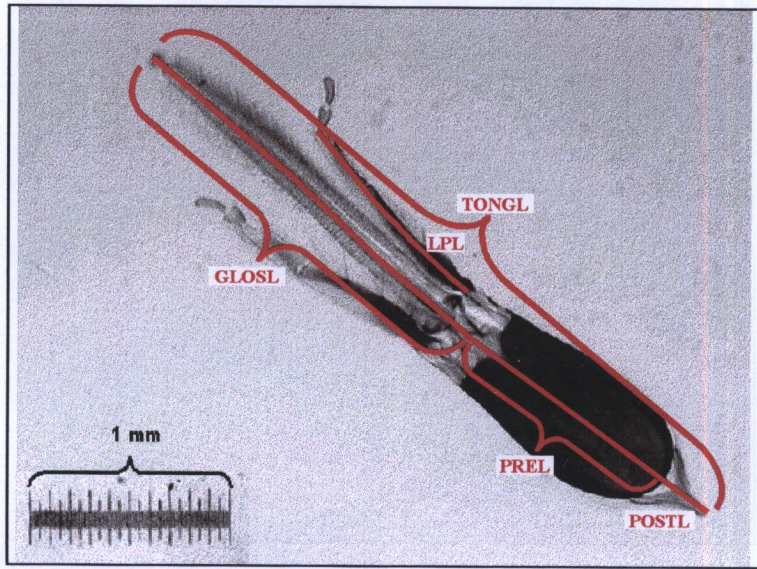


ຮູບກາພີ້ 9 ແສດງໜາວດຜຶ້ງຈານຂອງຜຶ້ງມື້ນ

SL = length of scape; PL = length of pedicel

FL = length of flagellum

AL = (SL+PL+FL) = total length of antenna

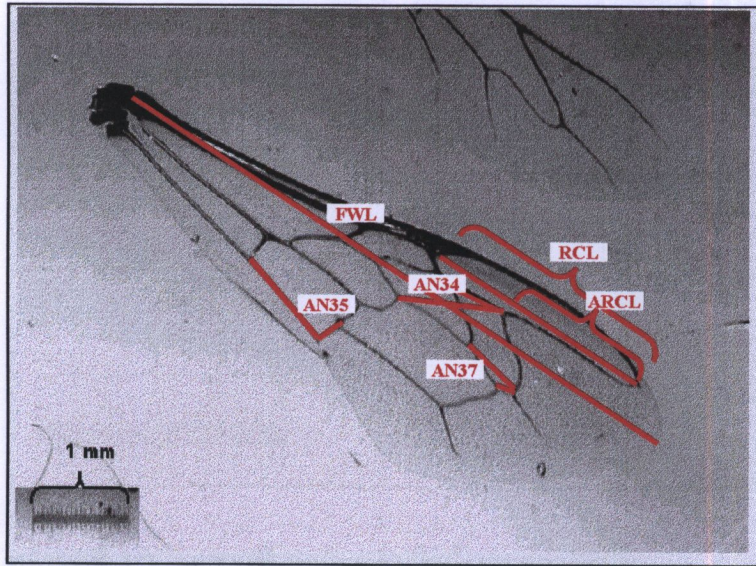


รูปภาพที่ 10 แสดงโปรดอสซิสผึ้งงานของผึ้งมีม

POSTL = length of postmentum; PREL = length of prementum

GLOSL = length of glossa; LPL = length of labial palp

TONGL = (POSTL+PREL+GLOSL) = tongue-total length of tongue



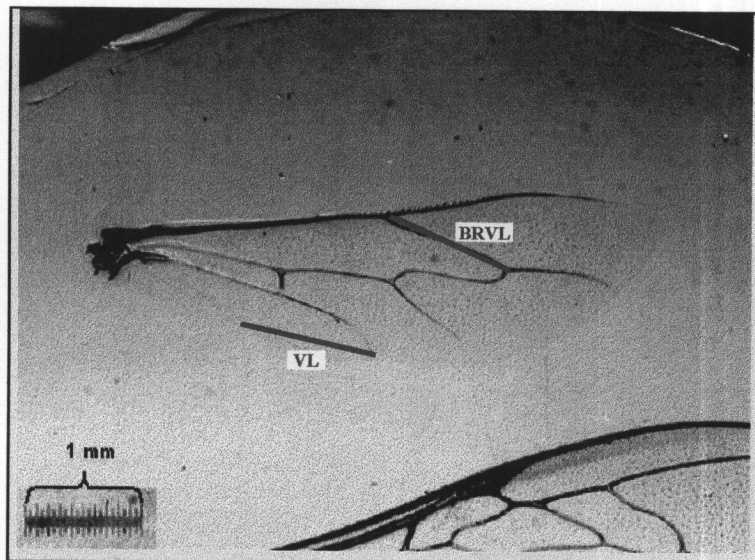
รูปภาพที่ 11 แสดงปีกหน้าผึ้งงานของผึ้งมีม

FWL = length of forewing; RCL = length of radial cell

ARCL = length of apical portion of radial cell

AN34 = angle 34 of venation; AN35 = angle 35 of venation

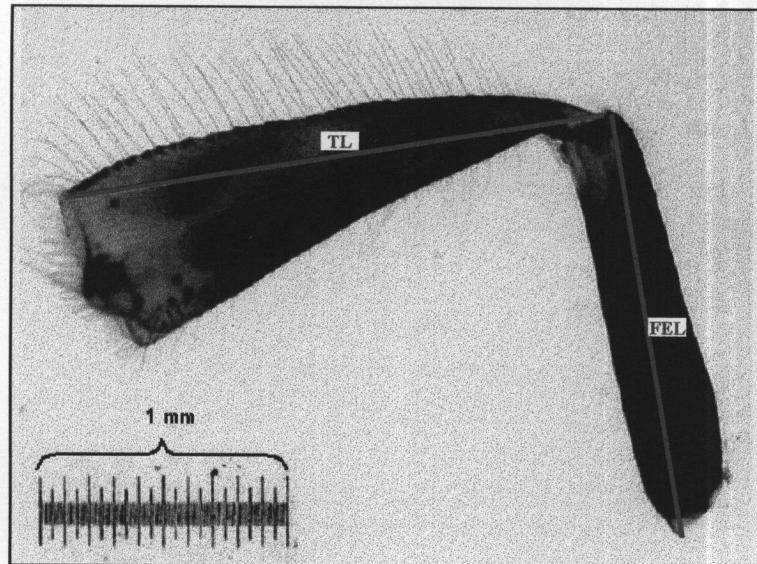
AN37 = angle 37 of venation



รูปภาพที่ 12 แสดงปีกหลังผึ้งงานของผึ้งมีน

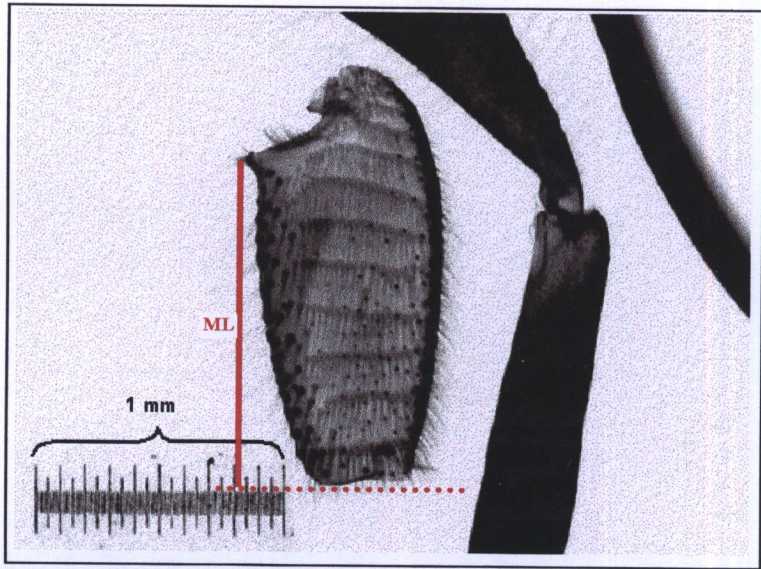
BRVL = length of basal portion of radial vein

VL = length of vannal lobe



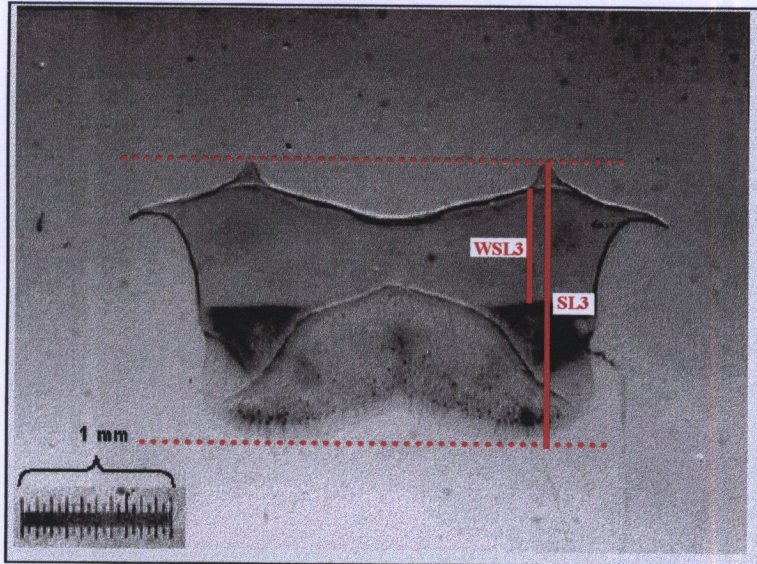
รูปภาพที่ 13 แสดงฟีเมอร์และทิเบียผึ้งงานของผึ้งมีน

FEL = length of femur; TL = length of tibia



รูปภาพที่ 14 แสดงเมตาเทาร์ซสั้นงงานของผึ้งมีมี

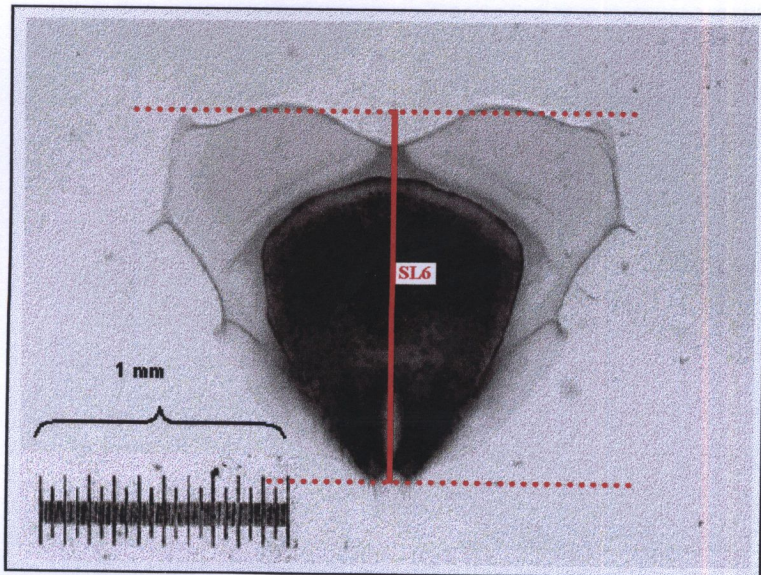
ML = length of metatarsus; MW = width of metatarsus



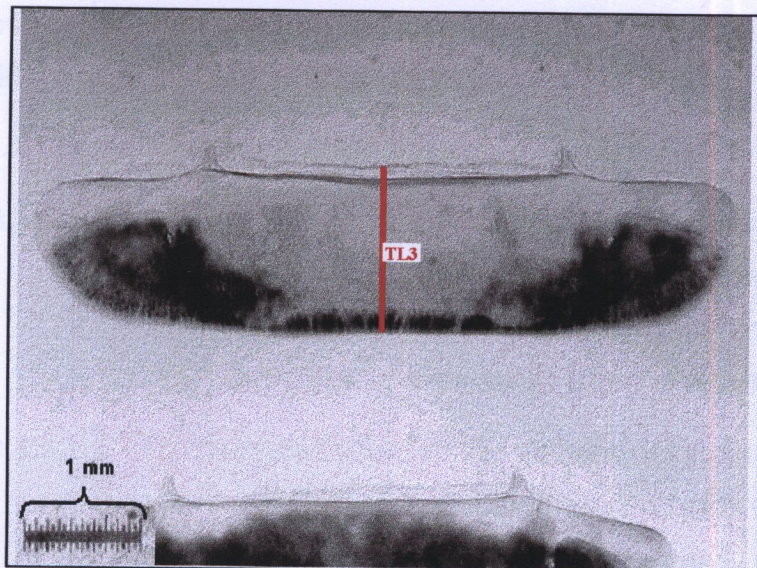
รูปภาพที่ 15 แสดงสเตอเรอีนต์ที่ 3 ของผึ้งงานของผึ้งมีมี

SL3 = abdomen - total length of 3rd sternite

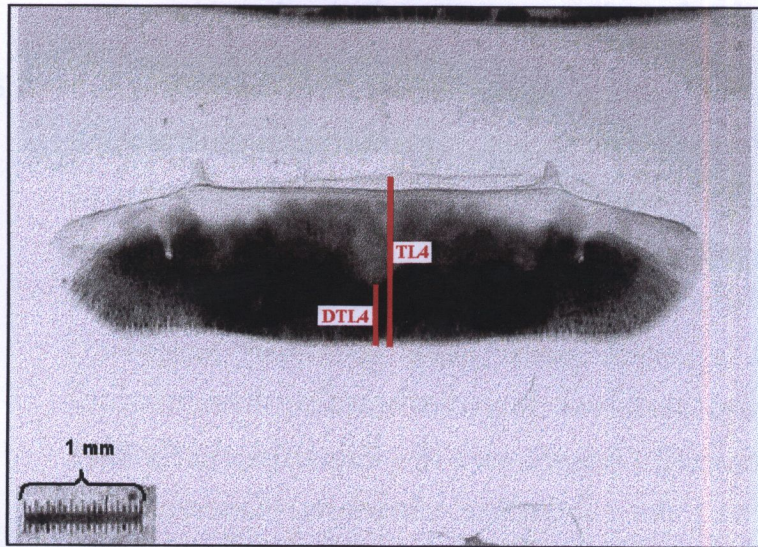
WSL3 = length of wax mirror on 3rd sternite



รูปภาพที่ 16 แสดงสเตอร์ไนต์ที่ 6 ของผึ้งงานของผึ้งมีม
SL6 = length or depth of 6th sternite



รูปภาพที่ 17 แสดงเทอร์ไกต์ที่ 3 ของผึ้งงานของผึ้งมีม
TL3 = total length of 3rd tergite



รูปภาพที่ 18 แสดงเทอร์ไกต์ที่ 4 ของผึ้งงานของผึ้งมีมิ้น

$DTL4 = \text{length of dark band of } 4^{\text{th}} \text{ tergite}$

$TL4 = \text{total length of } 4^{\text{th}} \text{ tergite}$

3.3.5 นำข้อมูลที่ได้จากการวัดลักษณะทางสัณฐานวิทยาในข้อ 3.3.4.2 ไปวิเคราะห์ทางสถิติด้วยโปรแกรม SPSS for Windows 10.0

3.3.5.1 จำแนกกลุ่มตัวแปรด้วยสถิติ Factor Analysis

3.3.5.1.1 การวิเคราะห์ปัจจัย (Factor Analysis) ครั้งที่ 1 เพื่อคัดเลือกตัวแปรที่มีความสัมพันธ์กันมากไว้สำหรับการวิเคราะห์ปัจจัยครั้งที่ 2 ซึ่งอาจเป็นความสัมพันธ์ในทางบวกหรือลบก็ได้ โดยพิจารณาจากตัวแปรที่มีค่าสัมประสิทธิ์ (factor loading) มากกว่าค่าสมบูรณ์ 0.6

3.3.5.1.2 การวิเคราะห์ปัจจัยครั้งที่ 2 จะนำตัวแปรที่ถูกคัดเลือกไว้จากการวิเคราะห์ปัจจัยครั้งที่ 1 มาจำแนกกลุ่มหรือรวมตัวแปรหลาย ๆ ตัวที่มีความสัมพันธ์กันไว้ในกลุ่มหรือปัจจัย (factor) เดียวกัน โดยพิจารณาจากตัวแปรที่มีค่าสัมประสิทธิ์ (factor loading) ที่แสดงความสัมพันธ์ของตัวแปรกับกลุ่มของปัจจัยใหม่มากกว่าค่าสมบูรณ์ 0.6 ทั้งนี้ก็กลุ่มของปัจจัยใหม่ที่ได้จัดเป็นตัวแปรใหม่ที่สามารถหาค่าข้อมูลของตัวแปรใหม่ได้เรียกว่า factor score จากนั้นใช้ตัวแปรใหม่นี้เป็นตัวแปรอิสระสำหรับการวิเคราะห์ทางสถิติต่อไป

3.3.5.1.3 จับคู่ค่า factor score ของตัวแปรหรือปัจจัยใหม่ที่ได้จากข้อ 3.3.5.1.2 ไปเขียนกราฟการกระจายเพื่อจำแนกกลุ่มของตัวอย่างผึ้งมีมิ้นตาม

สภาพภูมิอากาศและหมุนกาล แล้วยืนยันกราฟการกระจายเพื่อจำแนกกลุ่มของตัวอย่างผึ้งมีมีที่อยู่บริเวณเหนือและใต้เส้นละติจูดที่ 12°N

- 3.3.5.2 จำแนกกลุ่มตัวอย่างผึ้งมีมีด้วยสถิติ Cluster Analysis โดยการวัดความคล้ายหรือระยะห่างของตัวอย่างแต่ละคู่ ถ้าตัวอย่างคู่ใดมีระยะห่างระหว่างคู่น้อยแสดงว่าคู่นั้นอยู่ใกล้กันหรือมีความคล้ายกันควรจัดให้อยู่ในกลุ่ม (cluster) เดียวกัน และใช้หลักเกณฑ์ในการรวมกลุ่มแบบ Between-groups linkage หรือที่เรียกว่า Average linkage between groups หรือที่เรียกว่า UPGMA (Unweighted Pair-Group Method Using Arithmetic Average) ซึ่งจะคำนวณหาระยะห่างเฉลี่ยของตัวอย่างทุกคู่ โดยที่ตัวอย่างหนึ่งอยู่ในกลุ่มที่ i ส่วนอีกตัวอย่างอยู่ในกลุ่มที่ j ซึ่ง $i \neq j$ ถ้ากลุ่มที่ i มีระยะห่างเฉลี่ยจากกลุ่มที่ j สั้นกว่าระยะห่างจากกลุ่มอื่น จะนำกลุ่มที่ i และ j มารวมกันเป็นกลุ่มเดียวกัน จากนั้นเขียนกราฟเดินrogram (Dendrogram) แสดงการรวมกันของกลุ่ม โดยเปลี่ยนหน่วยระยะห่างของข้อมูลเดิมให้มีค่าอยู่ในช่วง 1 ถึง 25 ซึ่งตัวแปรที่ใช้ในการจำแนกกลุ่มตัวอย่างผึ้งมีมีนั้นจะใช้ตัวแปรใหม่ที่ได้จากการวิเคราะห์ปัจจัยครั้งที่ 2 ในข้อ 3.3.5.1.2
- 3.3.5.3 วิเคราะห์ความแปรปรวนแบบมีปัจจัยเดียว (One-Way ANOVA) ด้วยสถิติ F-Test ที่ระดับความเชื่อมั่น 95% ($p \leq 0.05$) เพื่อทดสอบความแตกต่างระหว่างค่าเฉลี่ยของลักษณะทางสัณฐานวิทยาแต่ละลักษณะของตัวอย่างผึ้งมีมีตามสภาพภูมิอากาศและหมุนกาล โดยใช้ลักษณะทางสัณฐานวิทยาหรือตัวแปรที่มีค่า factor loading มากกว่าค่าสมบูรณ์ 0.6 ที่ถูกคัดเลือกมาจากการวิเคราะห์ปัจจัยครั้งที่ 1 ในข้อ 3.3.5.1.1 ซึ่งการวิเคราะห์ความแปรปรวนนี้มีเงื่อนไขอยู่ 3 ประการ คือ
- 3.3.5.3.1 การสุ่มตัวอย่างจะต้องสุ่มอย่างเป็นอิสระกัน
 - 3.3.5.3.2 สุ่มตัวอย่างจากประชากรที่มีการแจกแจงแบบปกติ โดยจะทดสอบด้วย Kolmogorov-Smirnov Test (K-S Test) ที่ระดับความเชื่อมั่น 95% ($p \leq 0.05$) ในกรณีที่ไม่ทราบค่าเฉลี่ยและค่าแปรปรวนของประชากร จึงต้องใช้ค่าเฉลี่ยและค่าแปรปรวนของตัวอย่างแทน และทดสอบด้วย Shapiro-Wilk ที่ระดับความเชื่อมั่น 95% ($p \leq 0.05$) ในกรณีที่ทราบหรือไม่ทราบค่าเฉลี่ยหรือค่าแปรปรวนของประชากรก็ได้แต่ขนาดตัวอย่างต้องไม่เกิน 50 หน่วย
 - 3.3.5.3.3 ค่าแปรปรวนของแต่ละตัวอย่างต้องเท่ากัน โดยจะทดสอบด้วย Levene's Test ที่ระดับความเชื่อมั่น 95% ($p \leq 0.05$)

- 3.3.5.4 ทดสอบการเปรียบเทียบเชิงช้อน (Multiple Comparisons) เพื่อเปรียบเทียบความแตกต่างระหว่างค่าเฉลี่ยของลักษณะทางสัณฐานวิทยาแต่ละลักษณะพร้อมกันครึ่งละหลาย ๆ คู่ของตัวอย่างผู้มีมัมตามสภาพภูมิอากาศและหมู่เกาะด้วยสถิติ Student–Newman–Keuls (SNK) Multiple Range Test ที่ระดับความเชื่อมั่น 95% ($p \leq 0.05$) ซึ่งจะนำค่าเฉลี่ยตัวอย่างมาเรียงลำดับจากน้อยไปมาก จากนั้นจัดกลุ่มตัวอย่างที่มีค่าเฉลี่ยไม่แตกต่างกันไว้ในกลุ่มเดียวกัน

บทที่ 4

ผลการศึกษา

4.1 ผลการจำแนกกลุ่มตัวแปรด้วยสถิติ Factor Analysis

ผลการวิเคราะห์ปัจจัยครั้งที่ 1 โดยใช้ค่าเฉลี่ยลักษณะทางสัณฐานวิทยาของตัวอย่างผึ้งงานของผึ้งมีมแต่ละรัง ๆ ละ 15 ตัว รวมทั้งหมด 22 ลักษณะ พบร่วมกันลักษณะทางสัณฐานวิทยาหรือตัวแปรที่มีค่าสัมประสิทธิ์ (factor loading) ที่แสดงความสัมพันธ์ของตัวแปรกับกลุ่มของปัจจัยใหม่นักกว่าค่าสมบูรณ์ 0.6 ซึ่งถูกคัดเลือกไว้สำหรับการวิเคราะห์ต่อไปอよู่ 14 ตัวแปร (ภาคผนวก 3) ดังนี้

1. abdomen-total length of 3rd tergite (TL3)
2. total length of 4th tergite (TL4)
3. hind leg-length of femur (FEL)
4. length or depth of 6th sternite (SL6)
5. length of tibia (TL)
6. length of metatarsus (ML)
7. total length of 3rd sternite (SL3)
8. forewing-length of radial cell (RCL)
9. length of forewing (FWL)
10. length of apical portion of radial cell (ARCL)
11. total length of antenna (AL)
12. angle 37 of venation (AN37)
13. number of hamuli (NH)
14. angle 34 of venation (AN34)

ผลการวิเคราะห์ปัจจัยครั้งที่ 2 โดยใช้ค่าเฉลี่ยตัวแปรที่มีค่า factor loading มากกว่าค่าสมบูรณ์ 0.6 จำนวน 14 ตัวแปร พบร่วมกับความสามารถจำแนกกลุ่มปัจจัยหรือตัวแปรใหม่ได้ 4 กลุ่ม และแต่ละกลุ่มนี้ความสัมพันธ์ของตัวแปรที่มีค่า factor loading มากกว่าค่าสมบูรณ์ 0.6 ดังนี้

1. ปัจจัยที่ 1 มีความสัมพันธ์กับความยาวลำตัว ขาหลังและหนวด ได้แก่ TL3 TL4 SL6 SL3 TL FEL ML และ AL

2. ปัจจัยที่ 2 มีความสัมพันธ์กับความยาวเส้นปีกหน้าและปีกหน้า ได้แก่ RCL ARCL และ FWL
3. ปัจจัยที่ 3 มีความสัมพันธ์กับจำนวนขามูลและขนาดมุนที่ 37 ได้แก่ NH และ AN37
4. ปัจจัยที่ 4 มีความสัมพันธ์กับขนาดมุนที่ 34 ได้แก่ AN34

ช่องปัจจัยที่ 1 มีความสำคัญที่สุดเพริ่งประกอบด้วยตัวแปรที่มีค่า factor loading มากกว่าค่าสัมบูรณ์ 0.6 อยู่ 8 ตัวแปร ส่วนปัจจัยที่ 2-4 มีความสำคัญรองลงมา ตามลำดับ (ภาคผนวก 4)

เมื่อนำค่าตัวแปรหรือปัจจัยใหม่ (factor score) ทั้ง 4 กลุ่มไปจับคู่เขียนกราฟการกระจายเพื่อจำแนกกลุ่มตัวอย่างผึ้งมี้มีตามสภาพภูมิอากาศและหมู่เกาะได้ผลดังนี้

1. ผลการเขียนกราฟการกระจายของค่าปัจจัยใหม่ระหว่างความยาวลำตัว ชาหลัง และหนวด กับความยาวเส้นปีกหน้าและปีกหน้า (กราฟที่ 1) พบว่าไม่สามารถจำแนกกลุ่มตัวอย่างผึ้งมี้มีได้
2. ผลการเขียนกราฟการกระจายของค่าปัจจัยใหม่ระหว่างจำนวนขามูลและขนาดมุนที่ 37 (กราฟที่ 2) พบว่าไม่สามารถจำแนกกลุ่มตัวอย่างผึ้งมี้มีได้
3. ผลการเขียนกราฟการกระจายของค่าปัจจัยใหม่ระหว่างความยาวลำตัว ชาหลัง และหนวด กับขนาดมุนที่ 34 (กราฟที่ 3) พบว่าไม่สามารถจำแนกกลุ่มตัวอย่างผึ้งมี้มีได้
4. ผลการเขียนกราฟการกระจายของค่าปัจจัยใหม่ระหว่างความยาวเส้นปีกหน้า และปีกหน้า กับจำนวนขามูลและขนาดมุนที่ 37 (กราฟที่ 4) พบว่าไม่สามารถจำแนกกลุ่มตัวอย่างผึ้งมี้มีได้
5. ผลการเขียนกราฟการกระจายของค่าปัจจัยใหม่ระหว่างความยาวเส้นปีกหน้า และปีกหน้า กับขนาดมุนที่ 34 (กราฟที่ 5) พบว่าไม่สามารถจำแนกกลุ่มตัวอย่างผึ้งมี้มีได้
6. ผลการเขียนกราฟการกระจายของค่าปัจจัยใหม่ระหว่างจำนวนขามูลและขนาดมุนที่ 37 กับขนาดมุนที่ 34 (กราฟที่ 6) พบว่าไม่สามารถจำแนกกลุ่มตัวอย่างผึ้งมี้มีได้

เมื่อนำค่าตัวแปรหรือปัจจัยใหม่ (factor score) 4 กลุ่มไปจับคู่เขียนกราฟการกระจายเพื่อจำแนกกลุ่มตัวอย่างผึ้งมี้มีที่อยู่เหนือและใต้เส้นละติจูดที่ 12°N ได้ผลดังนี้

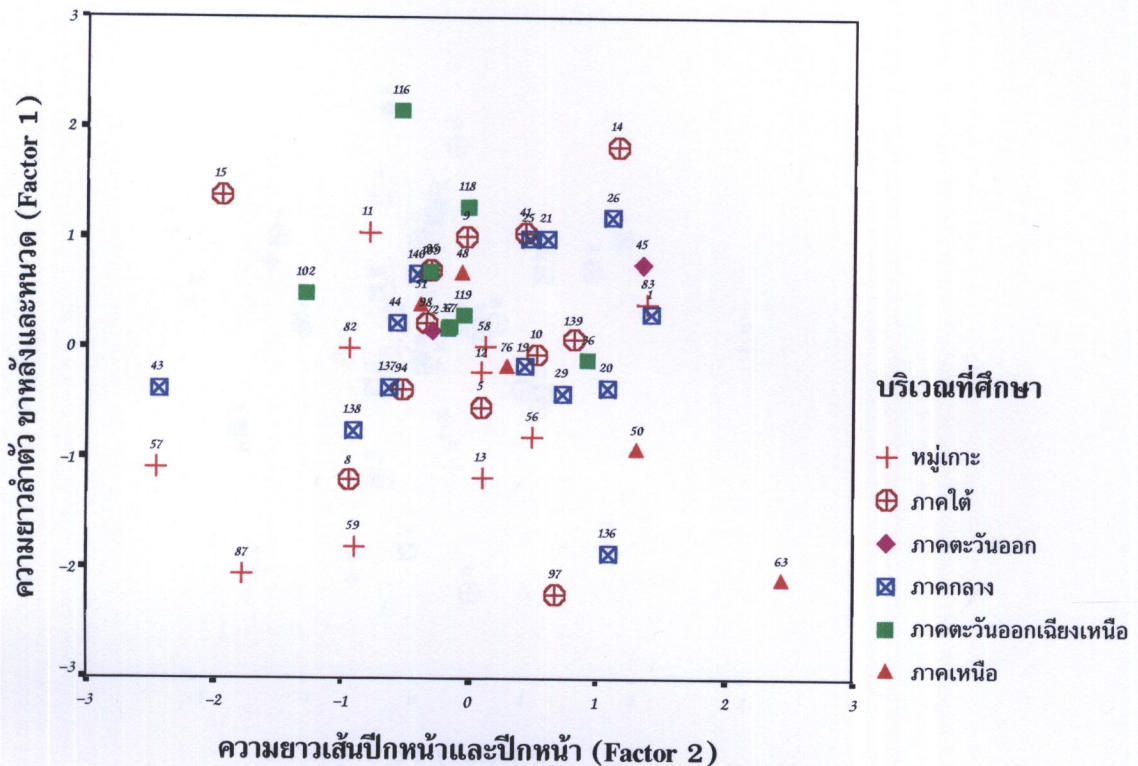
1. ผลการเขียนกราฟการกระจายของค่าปัจจัยใหม่ระหว่างความยาวลำตัว ขาหลัง และหนวด กับความยาวเส้นปีกหน้าและปีกหน้า (กราฟที่ 7) พบว่าไม่สามารถจำแนกกลุ่มตัวอย่างผึ้งมีม์ได้
2. ผลการเขียนกราฟการกระจายของค่าปัจจัยใหม่ระหว่างความยาวลำตัว ขาหลัง และหนวด กับจำนวนชามูไลและขนาดมุมที่ 37 (กราฟที่ 8) พบว่าไม่สามารถจำแนกกลุ่มตัวอย่างผึ้งมีม์ได้
3. ผลการเขียนกราฟการกระจายของค่าปัจจัยใหม่ระหว่างความยาวลำตัว ขาหลัง และหนวด กับขนาดมุมที่ 34 (กราฟที่ 9) พบว่าไม่สามารถจำแนกกลุ่มตัวอย่างผึ้งมีม์ได้
4. ผลการเขียนกราฟการกระจายของค่าปัจจัยใหม่ระหว่างความยาวเส้นปีกหน้า และปีกหน้า กับจำนวนชามูไลและขนาดมุมที่ 37 (กราฟที่ 10) พบว่าไม่สามารถจำแนกกลุ่มตัวอย่างผึ้งมีม์ได้
5. ผลการเขียนกราฟการกระจายของค่าปัจจัยใหม่ระหว่างความยาวเส้นปีกหน้า และปีกหน้า กับขนาดมุมที่ 34 (กราฟที่ 11) พบว่าไม่สามารถจำแนกกลุ่มตัวอย่างผึ้งมีม์ได้
6. ผลการเขียนกราฟการกระจายของค่าปัจจัยใหม่ระหว่างจำนวนชามูไลและขนาดมุมที่ 37 กับขนาดมุมที่ 34 (กราฟที่ 12) พบว่าไม่สามารถจำแนกกลุ่มตัวอย่างผึ้งมีม์ได้

4.2 ผลการจำแนกกลุ่มตัวอย่างผึ้งมีม์ด้วยสถิติ Cluster Analysis

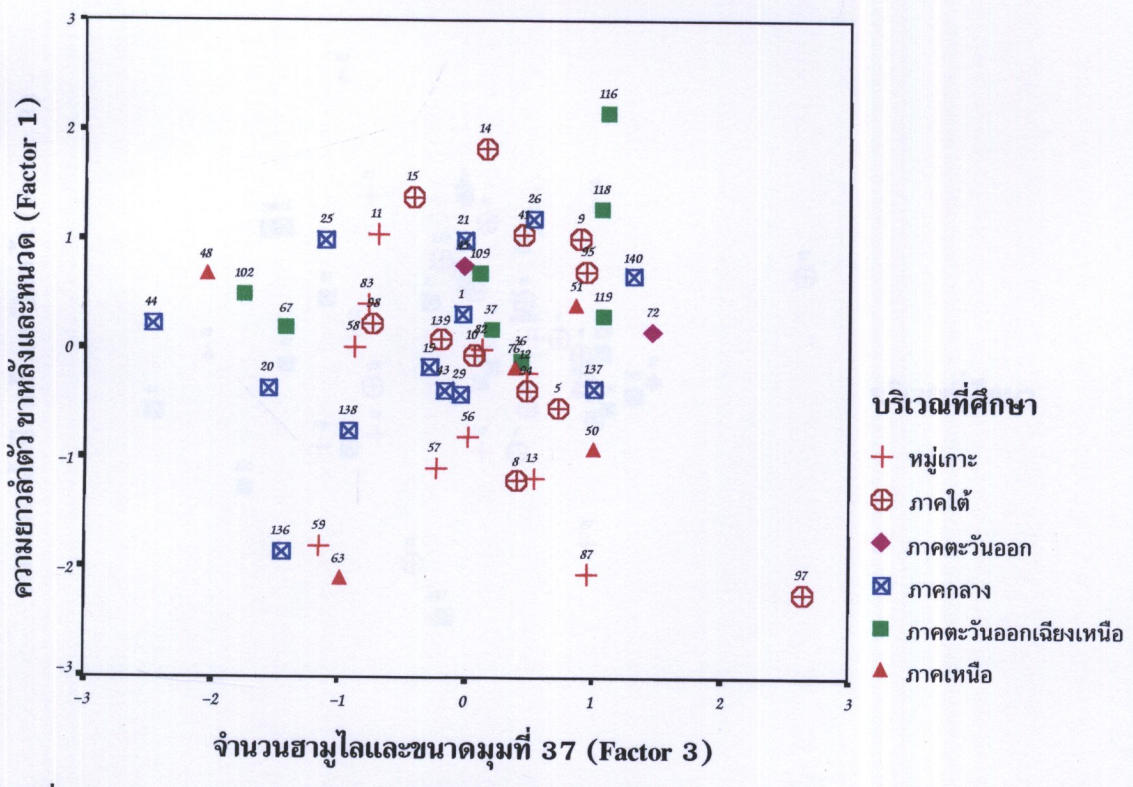
เมื่อนำค่าปัจจัยใหม่ 4 กลุ่มที่ได้จากการวิเคราะห์ปัจจัยครั้งที่ 2 ไปใช้จำแนกกลุ่มตัวอย่างผึ้งมีม์ด้วยการวัดความคล้ายหรือระยะห่างของตัวอย่างแต่ละคู่ และรวมกลุ่มแบบ Unweighted Pair-Group Method Using Arithmetic Average (UPGMA) (ภาคผนวก 5) ได้ผลลัพธ์นี้

1. ตัวอย่างผึ้งมีม์ 48 รังถูกจัดอยู่ในกลุ่มที่ 1
2. ตัวอย่างผึ้งมีม์ 2 รัง คือ ตัวอย่างเกาะสมุย จังหวัดสุราษฎร์ธานี (87) และตัวอย่างจากจังหวัดประจวบคีรีขันธ์ (97) ถูกจัดอยู่ในกลุ่มที่ 2

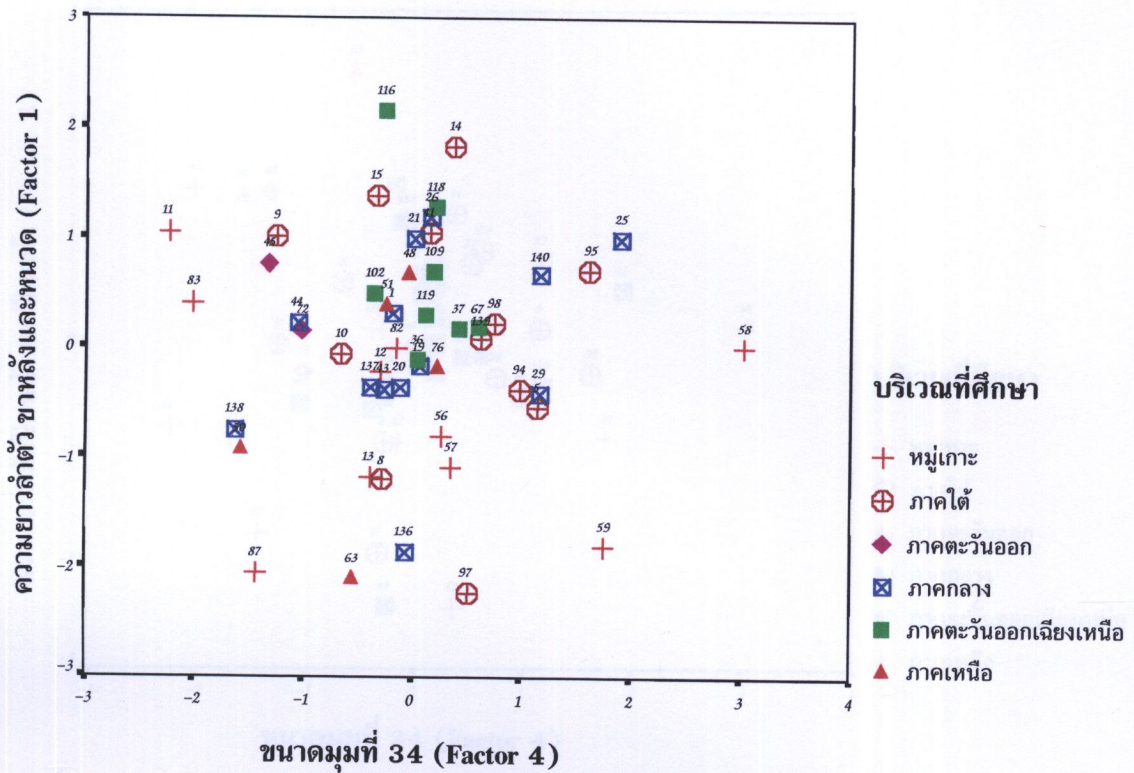
เมื่อเขียนกราฟเดนโตรแกรมโดยเปลี่ยนหน่วยระยะห่างให้อยู่ในช่วง 1 ถึง 25 เพื่อแสดงการรวมกลุ่มตัวอย่างผึ้งมีม์แต่ละจังหวัด (กราฟที่ 13) การรวมกลุ่มตัวอย่างผึ้งมีม์ตามสภาพภูมิอากาศและหมู่เกาะ (กราฟที่ 14) และการรวมกลุ่มตัวอย่างผึ้งมีม์ที่อยู่เหนือนอกและใต้เส้นละติจูดที่ 12°N (กราฟที่ 15) พบว่าตัวอย่างผึ้งมีม์มีค่าระยะห่างระหว่างกลุ่มใกล้เคียงกัน จึงไม่สามารถจำแนกกลุ่มตัวอย่างผึ้งมีม์ได้



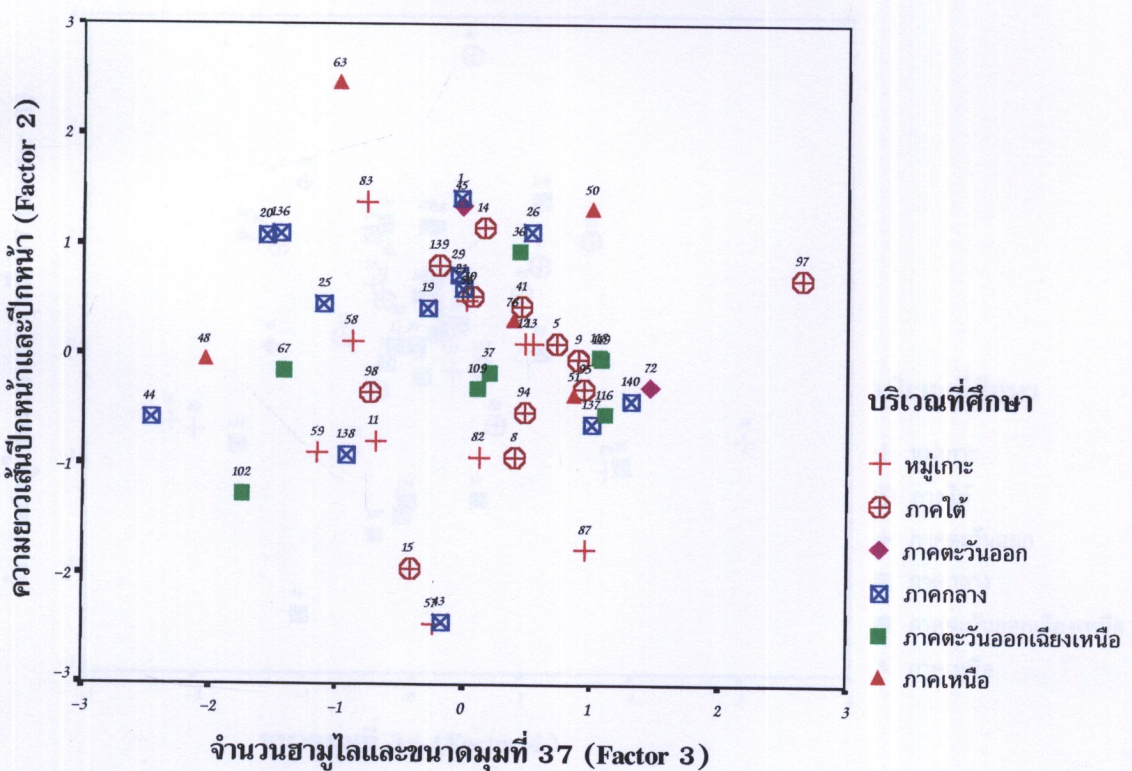
กราฟที่ 1 แสดงกราฟการกระจายของค่าปัจจัยใหม่ระหว่างความพยายามลำตัว ขาหลังและหนวด กับ ความพยายามเล่นปีกหน้าและปีกหน้า ในตัวอย่างผู้มีมัธยมตามสภาพภูมิอากาศและหมู่เกาะ



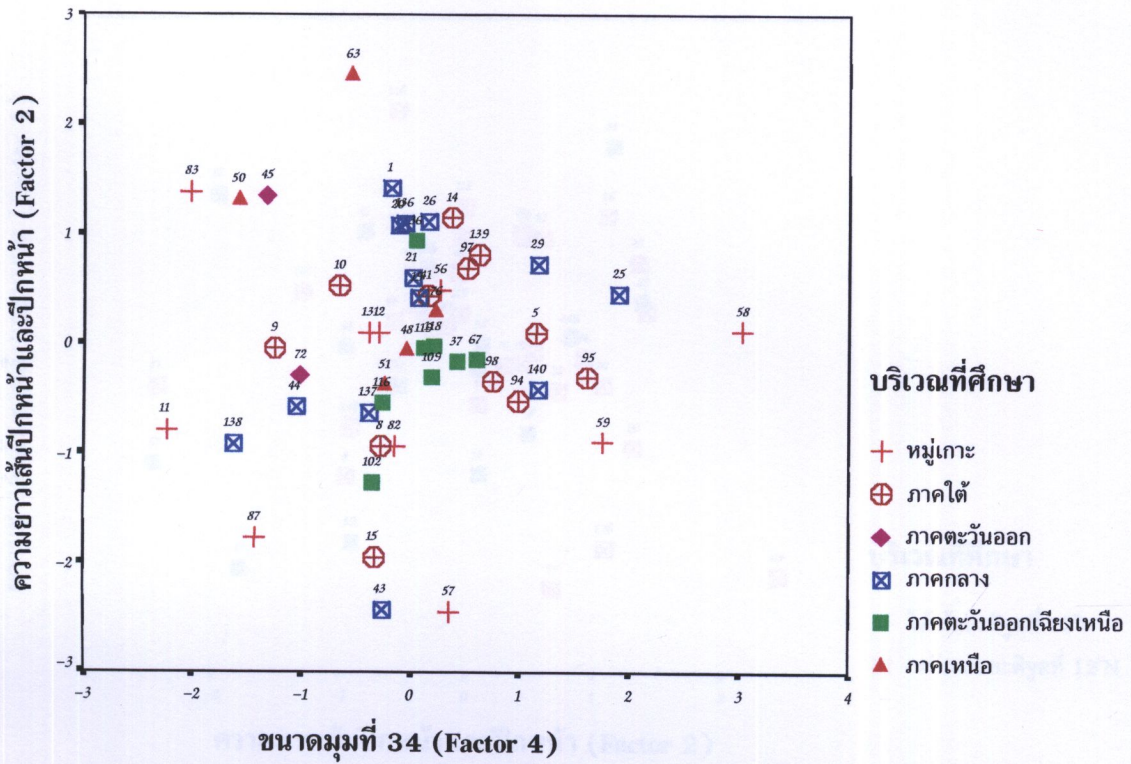
กราฟที่ 2 แสดงกราฟการกระจายของค่าปัจจัยใหม่ระหว่างความพยายามลำตัว ขาหลังและหนวด กับ จำนวนขามูลและขนาดมุมที่ 37 ในตัวอย่างผู้มีมัธยมตามสภาพภูมิอากาศและหมู่เกาะ



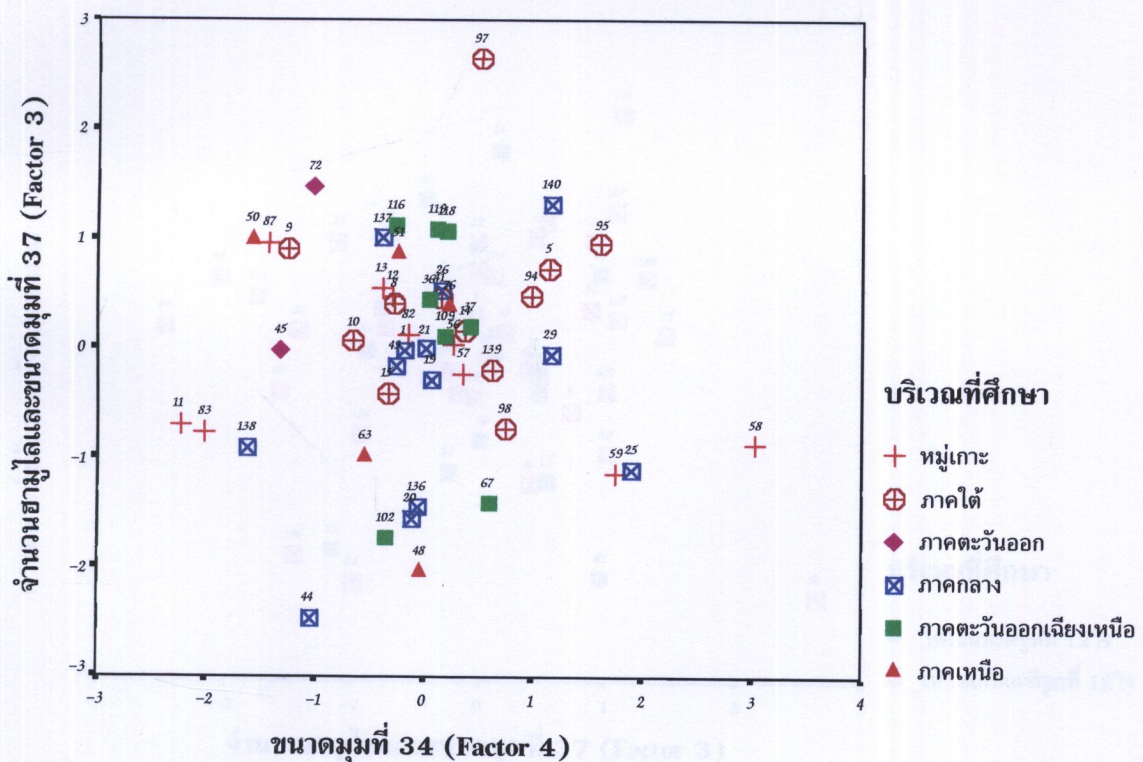
กราฟที่ 3 แสดงการกระจายของค่าปัจจัยใหม่ระหว่างความยาวลำตัว ขาหลังและหนวด กับ ขนาดมุนที่ 34 ในตัวอย่างผู้มีมัมตามสภาพภูมิอากาศและหมู่เกาะ



กราฟที่ 4 แสดงการกระจายของค่าปัจจัยใหม่ระหว่างความยาวเส้นปีกหน้าและปีกหน้ากับ จำนวนขามูลไอลและขนาดมุนที่ 37 ในตัวอย่างผู้มีมัมตามสภาพภูมิอากาศและหมู่เกาะ

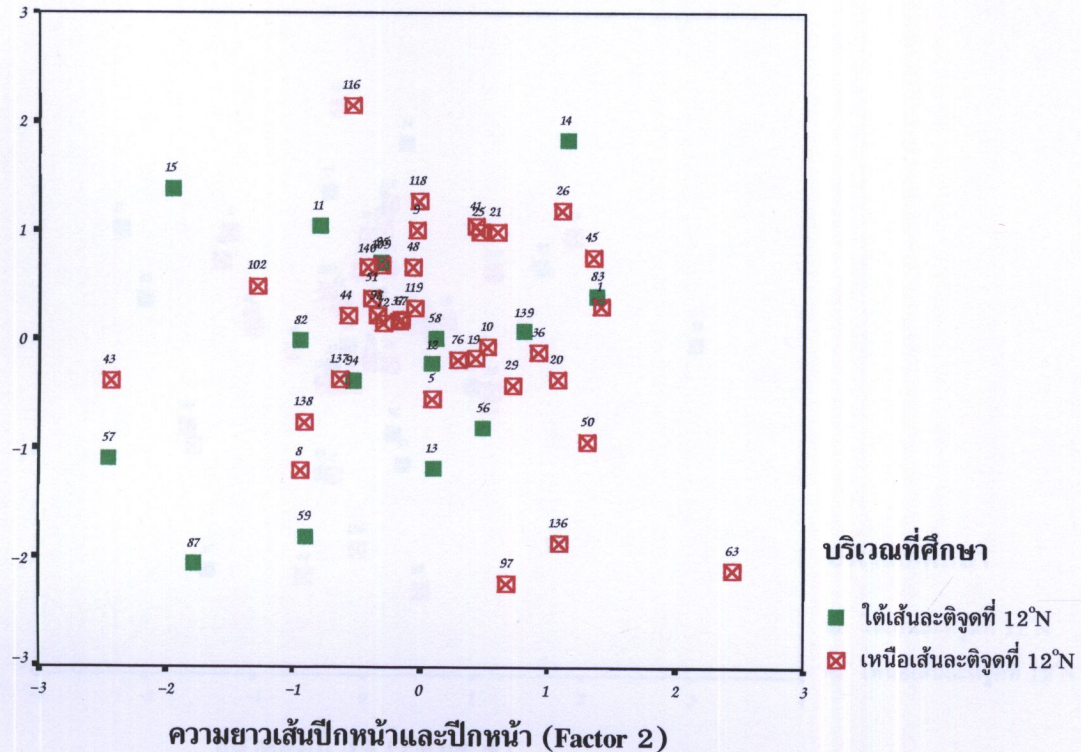


กราฟที่ 5 แสดงกราฟการกระจายของค่าปัจจัยใหม่ระหว่างความยาวเส้นปีกหน้าและปีกหัว กับขนาดมุมที่ 34 ในตัวอย่างผึ้งมีมิตามสภาพภูมิอากาศและหมู่เกาะ



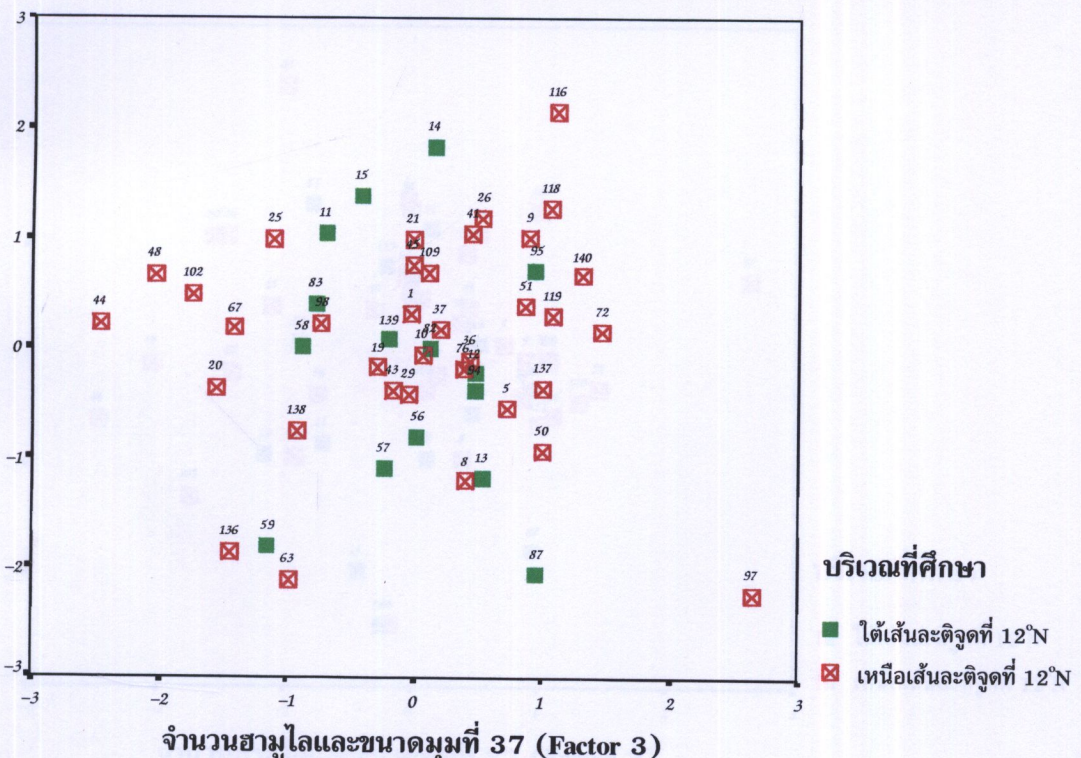
กราฟที่ 6 แสดงกราฟการกระจายของค่าปัจจัยใหม่ระหว่างจำนวนไข้ไข้และขนาดมุมที่ 37 กับ ขนาดมุมที่ 34 ในตัวอย่างผึ้งมีมิตามสภาพภูมิอากาศและหมู่เกาะ

ความยาวลำตัว ขาหลังและหนวด (Factor 1)

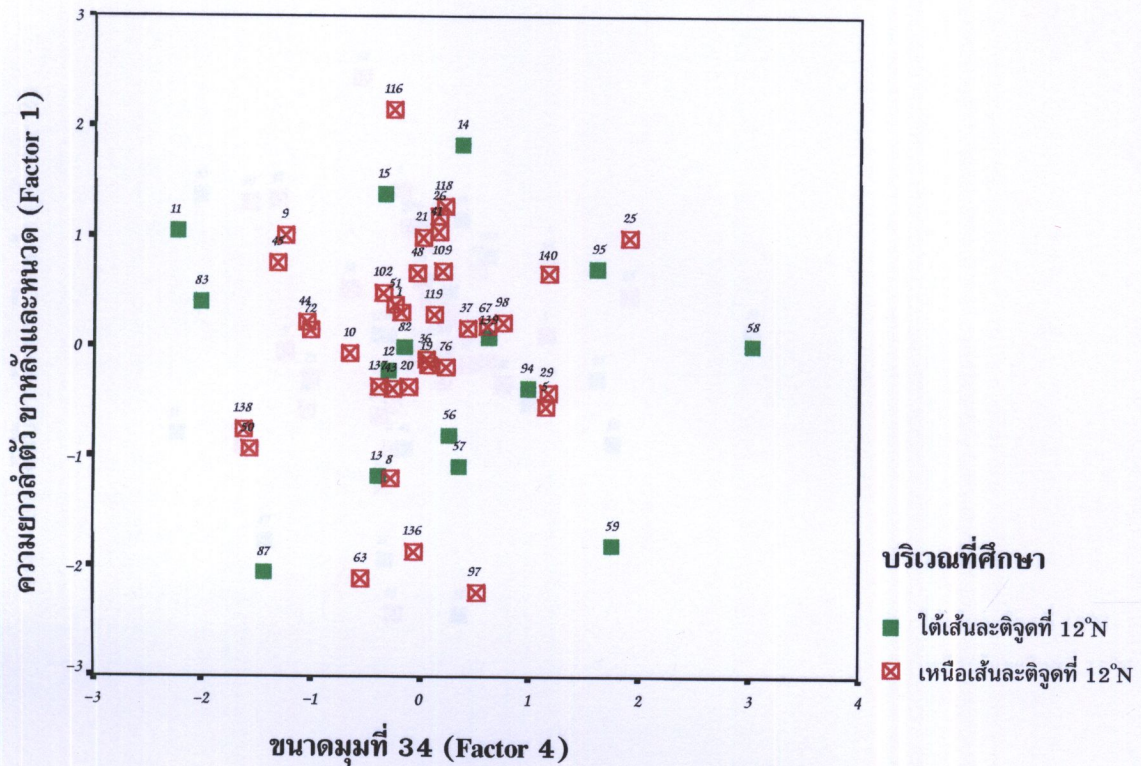


กราฟที่ 7 แสดงกราฟการกระจายของค่าปัจจัยใหม่ระหว่างความยาวลำตัว ขาหลังและหนวด กับความยาวเส้นปีกหน้าและปีกหน้า ในตัวอย่างผึ้งมิ้นที่อยู่เหนือเส้นละติจูดที่ 12°N

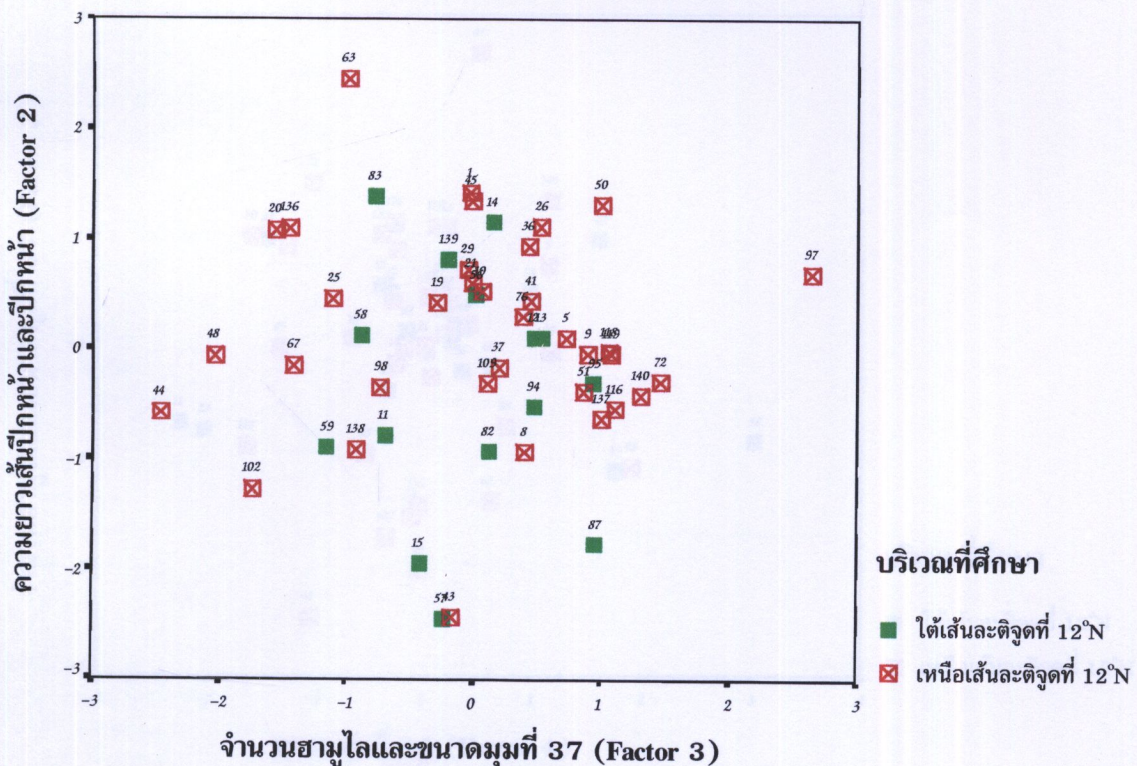
ความยาวลำตัว ขาหลังและหนวด (Factor 1)



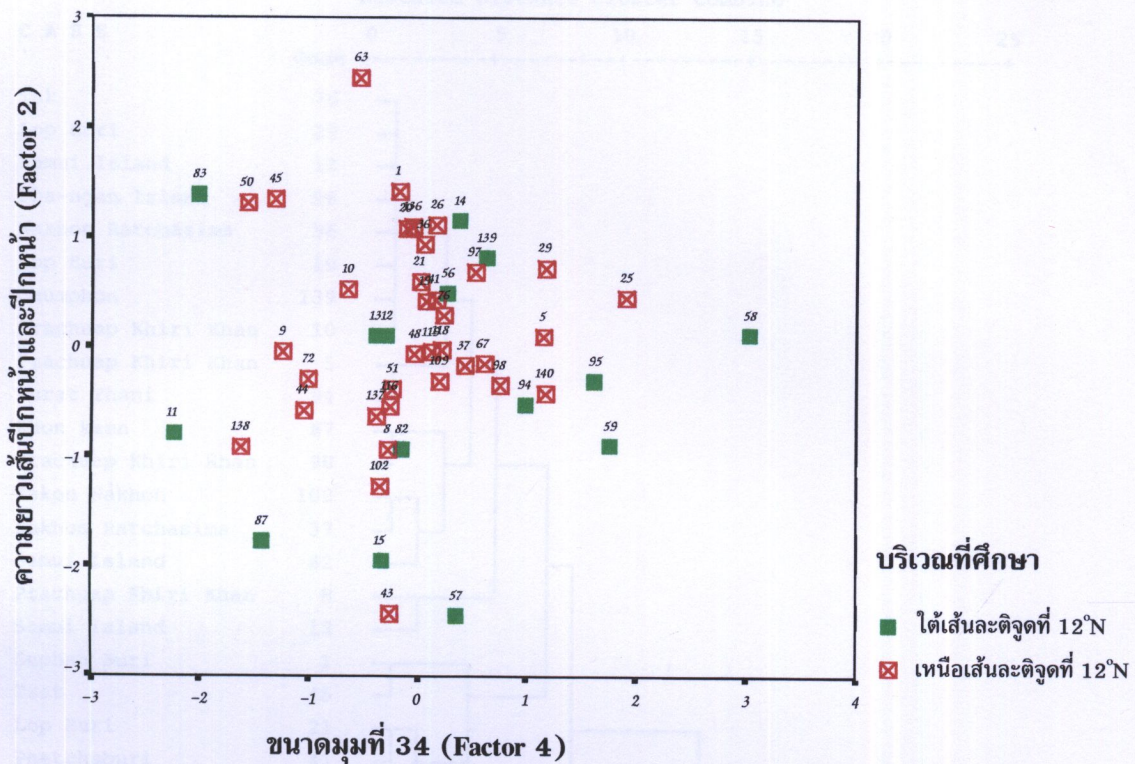
กราฟที่ 8 แสดงกราฟการกระจายของค่าปัจจัยใหม่ระหว่างความยาวลำตัว ขาหลังและหนวด กับจำนวนไขมุลและขนาดมุมที่ 37 ในตัวอย่างผึ้งมิ้นที่อยู่เหนือเส้นละติจูดที่ 12°N



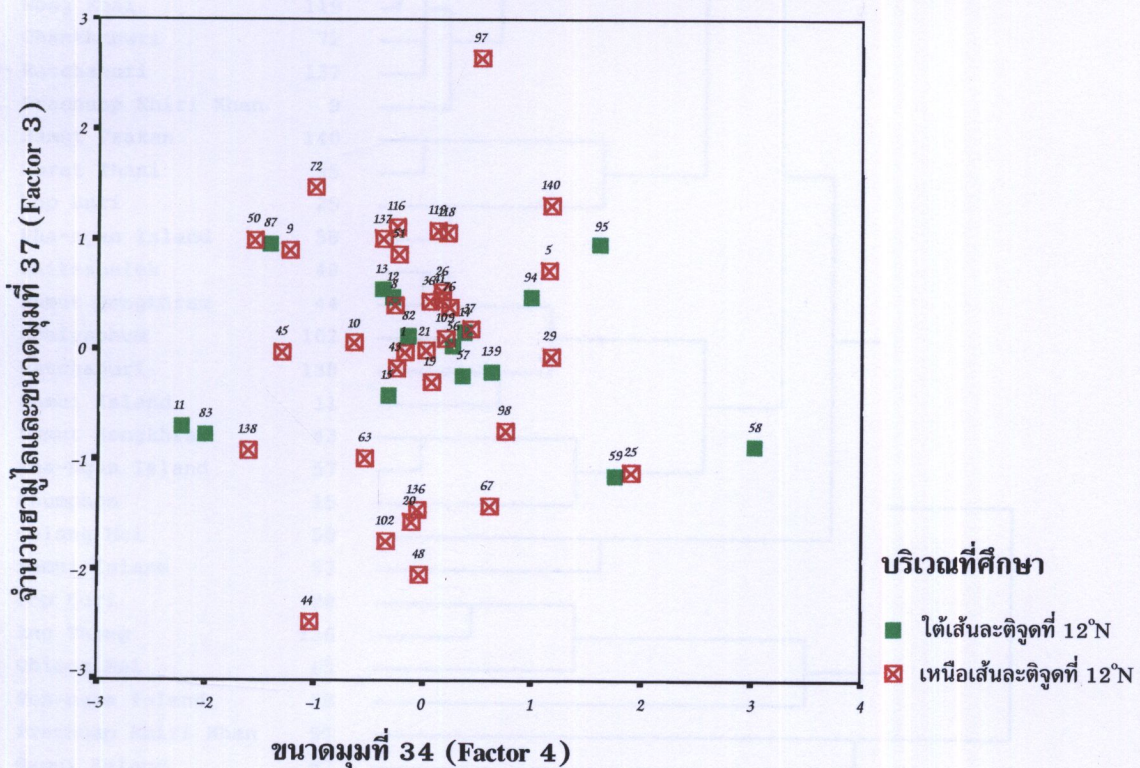
กราฟที่ 9 แสดงการกระจายของค่าปัจจัยใหม่ระหว่างความยำถ้าลั่ว ขาดหลังและหนวด กับ ขนาดมุนที่ 34 ในตัวอย่างผึ้งมีม์ที่อยู่เหนือและใต้เส้นละติจูดที่ 12°N



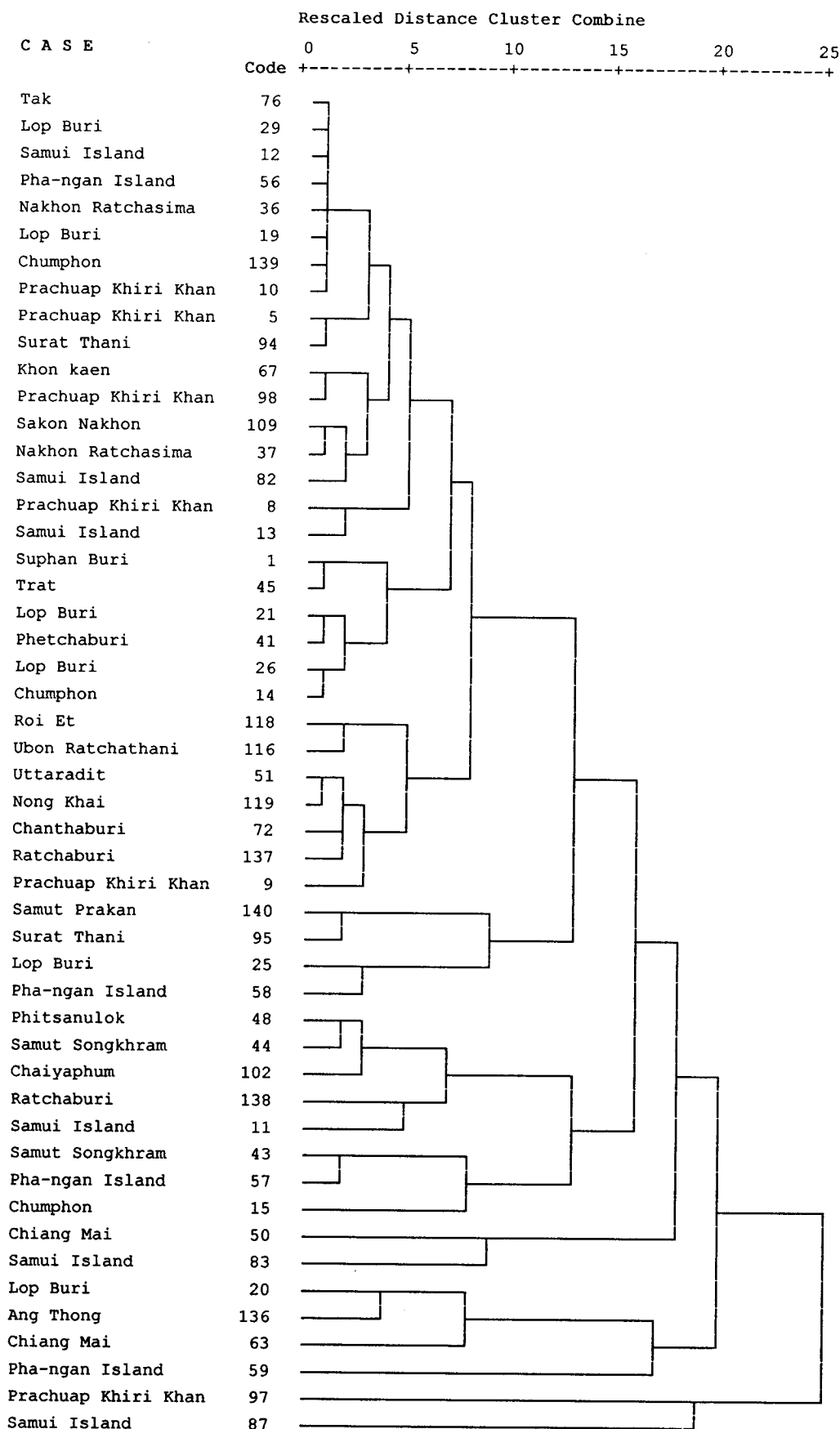
กราฟที่ 10 แสดงการกระจายของค่าปัจจัยใหม่ระหว่างความยำเส้นปีกหน้าและปีกหน้ากับ จำนวนขามูลและขนาดมุนที่ 37 ในตัวอย่างผึ้งมีม์ที่อยู่เหนือและใต้เส้นละติจูดที่ 12°N



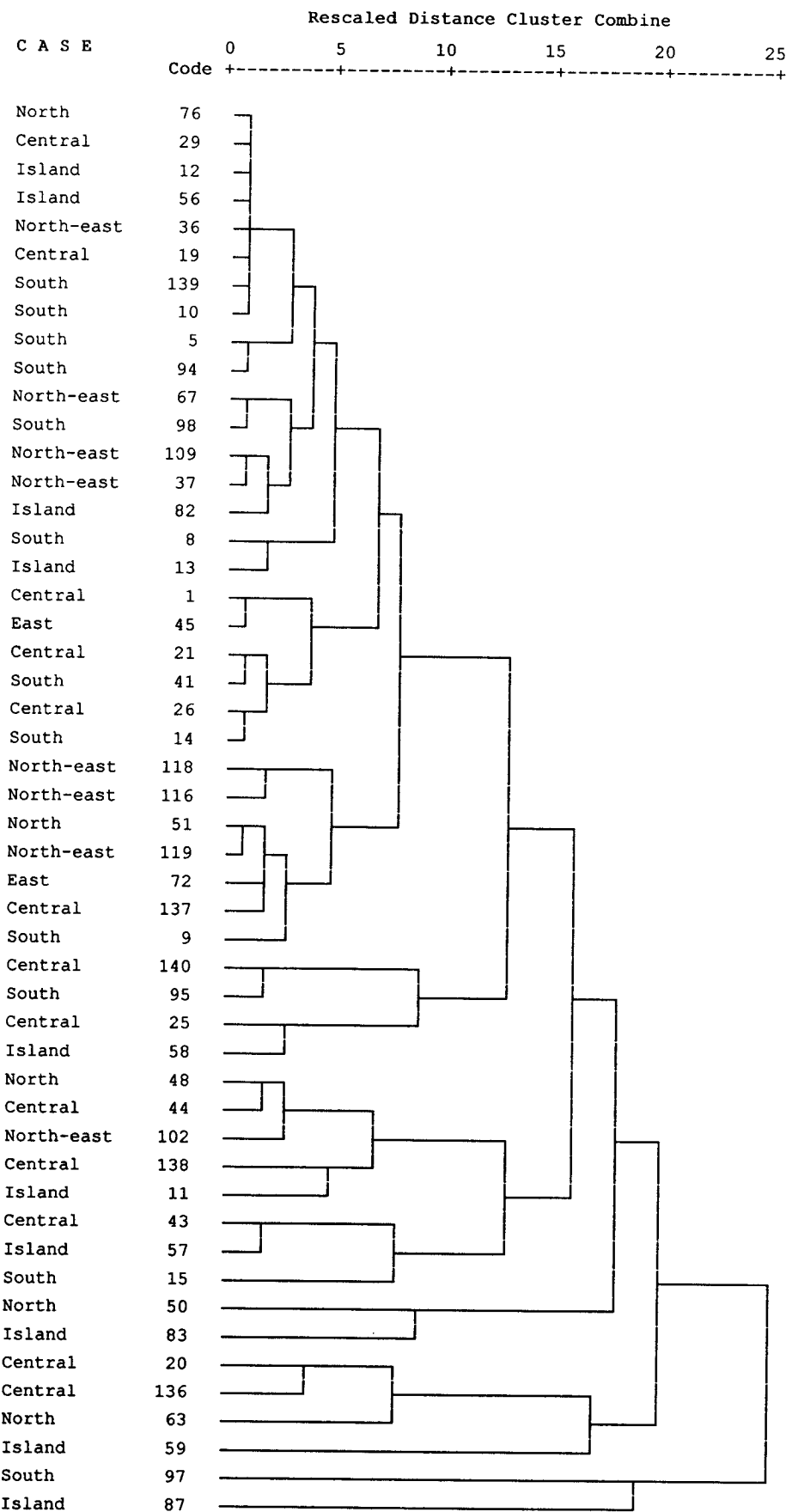
กราฟที่ 11 แสดงกราฟการกระจายของค่าปัจจัยใหม่ระหว่างความຍາວເລັນປົກທຳແລະປົກທຳ
ກับขนาດມູນທີ 34 ในตัวอย่างຜົ່ງມື້ນທີ່ຢູ່ເຫັນອແລັນລະຕິຈຸດທີ 12°N



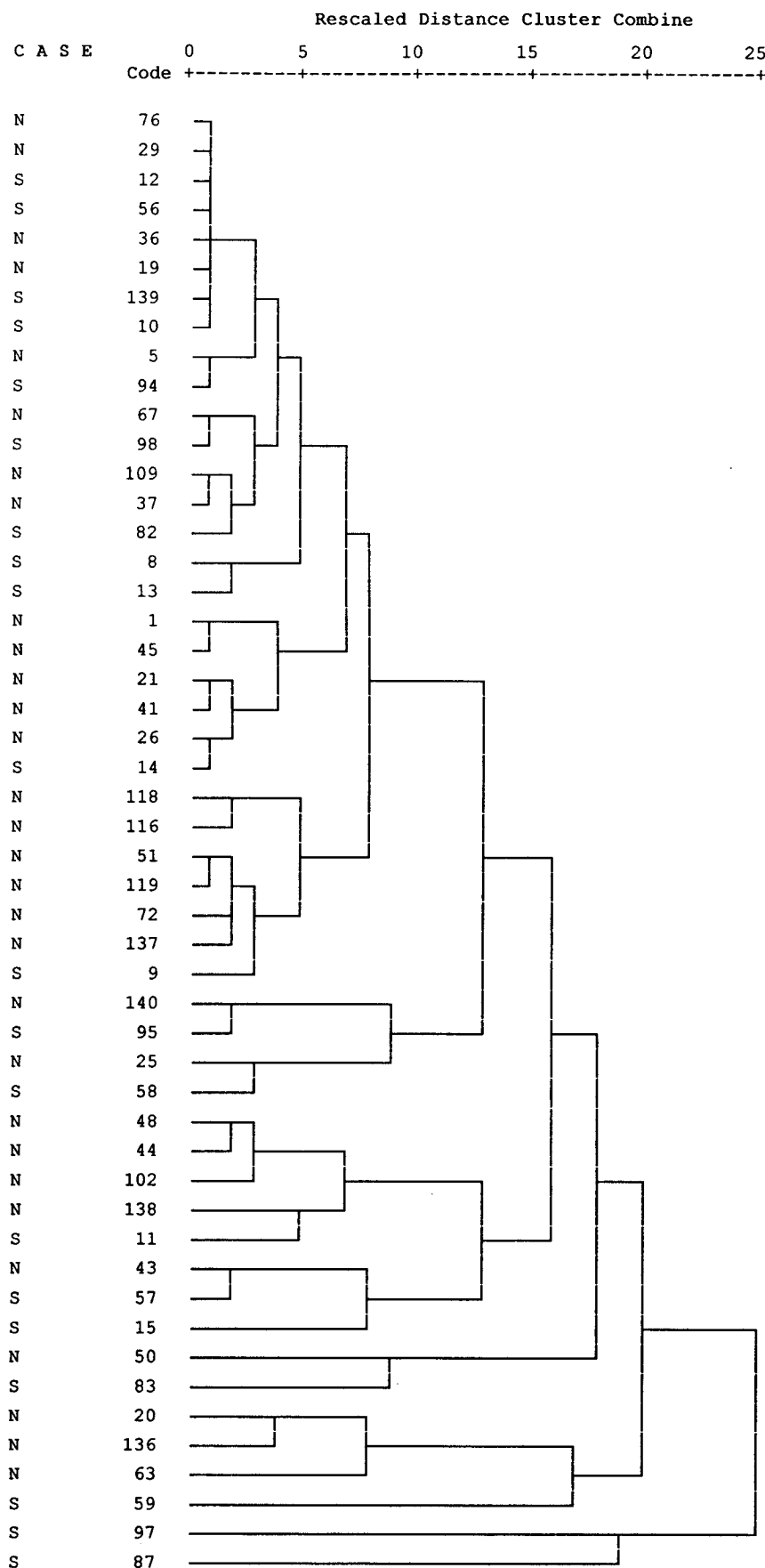
กราฟที่ 12 แสดงกราฟการกระจายของค่าปัจจัยใหม่ระหว่างຈຳນວນຂານປາໄລແລະຂາດມູນທີ 37
ກับขนาດມູນທີ 34 ในตัวอย่างຜົ່ງມື້ນທີ່ຢູ່ເຫັນອແລັນລະຕິຈຸດທີ 12°N



กราฟที่ 13 กราฟเดนโตรแกรมแสดงการรวมกลุ่มตัวอย่างผึ้งมีม์แต่ละจังหวัด



กราฟที่ 14 กราฟเด็นโกร์แกรมแสดงการรวมกลุ่มตัวอย่างผึ้งมีม์ตามสภาพภูมิอากาศและหมู่เกาะ



กราฟที่ 15 กราฟเดนโตรแกรมแสดงการรวมกลุ่มตัวอย่างผึ้งมีมที่อยู่เหนือและใต้เส้นละติจูดที่ 12°N

4.3 ผลการวิเคราะห์ความแปรปรวนแบบมีปัจจัยเดียว (One-Way ANOVA)

ผลการตรวจสอบการแจกแจงแบบปกติ ด้วยสถิติ Kolmogorov-Smirnov Test (K-S Test) และ Shapiro-Wilk พบร่วมกันที่มีลักษณะทางสัณฐานวิทยา 13 ลักษณะที่มีการแจกแจงแบบปกติ ที่ $p \leq 0.05$ (ภาคผนวก 6) ดังนี้

1. length of forewing (FWL)
2. forewing-length of radial cell (RCL)
3. length of apical portion of radial cell (ARCL)
4. angle 34 of venation (AN34)
5. angle 37 of venation (AN37)
6. hind leg-length of femur (FEL)
7. length of tibia (TL)
8. length of metatarsus (ML)
9. abdomen-total length of 3rd tergite (TL3)
10. total length of 4th tergite (TL4)
11. total length of 3rd sternite (SL3)
12. length or depth of 6th sternite (SL6)
13. total length of antenna (AL)

ผลการตรวจสอบความเท่ากันของค่าแปรปรวนในแต่ละตัวอย่าง ด้วยสถิติ Levene's Test พบร่วมกันที่มีลักษณะทางสัณฐานวิทยา 10 ลักษณะที่มีค่าแปรปรวนของแต่ละตัวอย่างเท่ากัน ที่ $p \leq 0.05$ (ภาคผนวก 6) ดังนี้

1. forewing-length of radial cell (RCL)
2. length of apical portion of radial cell (ARCL)
3. angle 37 of venation (AN37)
4. hind leg-length of femur (FEL)
5. length of metatarsus (ML)
6. abdomen-total length of 3rd tergite (TL3)
7. total length of 4th tergite (TL4)
8. total length of 3rd sternite (SL3)

9. length or depth of 6th sternite (SL6)

10. total length of antenna (AL)

ผลการวิเคราะห์ความแปรปรวนแบบมีปัจจัยเดียว ด้วยสถิติ F-Test พบร่วมค่าเฉลี่ยลักษณะทางสัณฐานวิทยาแต่ละลักษณะของตัวอย่างผึ้งมีมัมตามสภาพภูมิอากาศและหมู่เกาะ มีความแตกต่างกันอย่างมีนัยสำคัญทางสถิติ ที่ $p \leq 0.05$ (ภาคผนวก 6)

4.4 ผลการเปรียบเทียบเชิงช้อน (Multiple Comparisons)

เมื่อเปรียบเทียบความแตกต่างระหว่างค่าเฉลี่ยของลักษณะทางสัณฐานวิทยาแต่ละลักษณะพร้อมกันครั้งละหลาย ๆ คู่ของตัวอย่างผึ้งมีมัมตามสภาพภูมิอากาศและหมู่เกาะ ด้วยสถิติ Student-Newman-Keuls (SNK) (ภาคผนวก 7) ได้ผลดังนี้

- ตัวอย่างผึ้งมีมัม 3 กลุ่มนี้ค่าเฉลี่ยความยาว RCL แตกต่างกันอย่างมีนัยสำคัญทางสถิติ ที่ $p \leq 0.05$ แต่กลุ่มที่ 2 และ 3 มีการซ้อนทับกันในภาคเหนือ นอกจากนี้ตัวอย่างผึ้งมีมัมจากหมู่เกาะมีค่าเฉลี่ยความยาว RCL น้อยที่สุด และมีความแตกต่างจากตัวอย่างผึ้งมีมัมบนแผ่นดินใหญ่อย่างมีนัยสำคัญทางสถิติ ที่ $p \leq 0.05$ (ตารางที่ 3)

ตารางที่ 3 แสดงผลการเปรียบเทียบค่าเฉลี่ยความยาว RCL ของตัวอย่างผึ้งมีมัมตามสภาพภูมิอากาศและหมู่เกาะ

RCL: Student-Newman-Keuls^{a, b}

Regions	N	Subset for alpha = .05		
		1	2	3
Island	150	2.295403		
South	180		2.319700	
North-east	120		2.319825	
Central	195		2.322505	
North	75		2.335736	2.335736
East	30			2.343349
Significance		1.000	.226	.366

Means for groups in homogeneous subset are displayed.

a Uses Harmonic Mean Sample Size = 82.930.

b The group sizes are unequal. The harmonic mean of the group sizes is used. Type I error levels are not guaranteed.

- ตัวอย่างผึ้งมีมัม 2 กลุ่มนี้ค่าเฉลี่ยความยาว ARCL แตกต่างกันอย่างมีนัยสำคัญทางสถิติ ที่ $p \leq 0.05$ แต่ทั้ง 2 กลุ่มนี้มีการซ้อนทับกันมาก นอกจากนี้ตัวอย่างผึ้งมีมัมจากหมู่เกาะมีค่าเฉลี่ยความยาว ARCL น้อยที่สุด (ตารางที่ 4)

ตารางที่ 4 แสดงผลการเปรียบเทียบค่าเฉลี่ยความยาว ARCL ของตัวอย่างผู้มีมัมตามสภาพภูมิอากาศและหมู่เกาะ

ARCL: Student-Newman-Keuls^{a, b}

Regions	N	Subset for alpha = .05	
		1	2
Island	150	1.451174	
North-east	120	1.455788	1.455788
East	30	1.457091	1.457091
Central	195	1.460014	1.460014
South	180	1.462663	1.462663
North	75		1.471087
Significance		.466	.181

Means for groups in homogeneous subsets are displayed.

a Uses Harmonic Mean Sample Size = 82.930.

b The group sizes are unequal. The harmonic mean of the group sizes is used. Type I error levels are not guaranteed.

3. ตัวอย่างผู้มี 3 กลุ่มมีค่าเฉลี่ยขนาดมุน AN37 แตกต่างกันอย่างมีนัยสำคัญทางสถิติ ที่ $p \leq 0.05$ แต่ทั้ง 3 กลุ่มนี้มีการซ้อนทับกันมาก (ตารางที่ 5)

ตารางที่ 5 แสดงผลการเปรียบเทียบค่าเฉลี่ยขนาดมุน AN37 ของตัวอย่างผู้มีมัมตามสภาพภูมิอากาศและหมู่เกาะ

AN37: Student-Newman-Keuls^{a, b}

Regions	N	Subset for alpha = .05		
		1	2	3
Central	195	27.303788		
Island	150	27.493731	27.493731	
North	75	27.800880	27.800880	27.800880
North-east	120		28.242635	28.242635
South	180			28.434098
East	30			28.495500
Significance		.361	.100	.227

Means for groups in homogeneous subsets are displayed.

a Uses Harmonic Mean Sample Size = 82.930.

b The group sizes are unequal. The harmonic mean of the group sizes is used. Type I error levels are not guaranteed.

4. ตัวอย่างผู้มี 2 กลุ่มมีค่าเฉลี่ยความยาว FEL แตกต่างกันอย่างมีนัยสำคัญทางสถิติ ที่ $p \leq 0.05$ แต่ทั้ง 2 กลุ่มนี้มีการซ้อนทับกัน (ตารางที่ 6)

ตารางที่ 6 แสดงผลการเปรียบเทียบค่าเฉลี่ยความยาว FEL ของตัวอย่างผึ้งมี้มตามสภาพภูมิอากาศและหมู่เกาะ

FEL: Student-Newman-Keuls^{a, b}

Regions	N	Subset for alpha = .05	
		1	2
North	75	1.711522	
Island	150	1.712792	
Central	195	1.717997	
South	180	1.727002	1.727002
North-east	120	1.728759	1.728759
East	30		1.742480
Significance		.111	.076

Means for groups in homogeneous subsets are displayed.

a Uses Harmonic Mean Sample Size = 82.930.

b The group sizes are unequal. The harmonic mean of the group sizes is used. Type I error levels are not guaranteed.

5. ตัวอย่างผึ้งมี้ม 3 กลุ่มมีค่าเฉลี่ยความยาว ML แตกต่างกันอย่างมีนัยสำคัญทางสถิติ ที่ $p \leq 0.05$ นอกจากนี้ตัวอย่างผึ้งมี้มจากหมู่เกาะมีค่าเฉลี่ยความยาว ML น้อยที่สุด และมีความแตกต่างจากตัวอย่างผึ้งมี้มบนแผ่นดินใหญ่อย่างมีนัยสำคัญทางสถิติ ที่ $p \leq 0.05$ (ตารางที่ 7)
6. ตัวอย่างผึ้งมี้ม 2 กลุ่มมีค่าเฉลี่ยความยาว TL3 แตกต่างกันอย่างมีนัยสำคัญทางสถิติ ที่ $p \leq 0.05$ แต่ทั้ง 2 กลุ่มนี้มีการซ้อนทับกัน นอกจากนี้ตัวอย่างผึ้งมี้มจากหมู่เกาะมีค่าเฉลี่ยความยาว TL3 น้อยที่สุด (ตารางที่ 8)
7. ตัวอย่างผึ้งมี้ม 2 กลุ่มมีค่าเฉลี่ยความยาว TL4 แตกต่างกันอย่างมีนัยสำคัญทางสถิติ ที่ $p \leq 0.05$ นอกจากนี้ตัวอย่างผึ้งมี้มจากหมู่เกาะมีค่าเฉลี่ยความยาว TL4 น้อยที่สุด (ตารางที่ 9)
8. ตัวอย่างผึ้งมี้ม 3 กลุ่มมีค่าเฉลี่ยความยาว SL3 แตกต่างกันอย่างมีนัยสำคัญทางสถิติ ที่ $p \leq 0.05$ นอกจากนี้ตัวอย่างผึ้งมี้มจากหมู่เกาะมีค่าเฉลี่ยความยาว SL3 น้อยที่สุด และมีความแตกต่างจากตัวอย่างผึ้งมี้มบนแผ่นดินใหญ่อย่างมีนัยสำคัญทางสถิติ ที่ $p \leq 0.05$ (ตารางที่ 10)

ตารางที่ 7 แสดงผลการเปรียบเทียบค่าเฉลี่ยความยาว ML ของตัวอย่างผู้มีนิมตามสภาพภูมิอากาศและหมู่เกาะ

ML: Student-Newman-Keuls^{a, b}

Regions	N	Subset for alpha = .05		
		1	2	3
Island	150	1.231344		
North	75		1.243243	
South	180			1.257341
Central	195			1.262093
North-east	120			1.269757
East	30			1.270271
Significance		1.000	1.000	.126

Means for groups in homogeneous subsets are displayed.

a Uses Harmonic Mean Sample Size = 82.930.

b The group sizes are unequal. The harmonic mean of the group sizes is used. Type I error levels are not guaranteed.

ตารางที่ 8 แสดงผลการเปรียบเทียบค่าเฉลี่ยความยาว TL3 ของตัวอย่างผู้มีนิมตามสภาพภูมิอากาศและหมู่เกาะ

TL3: Student-Newman-Keuls^{a, b}

Regions	N	Subset for alpha = .05	
		1	2
Island	150	1.346241	
North	75	1.351847	
Central	195	1.364094	1.364094
East	30	1.365375	1.365375
South	180		1.373995
North-east	120		1.384563
Significance		.094	.063

Means for groups in homogeneous subsets are displayed.

a Uses Harmonic Mean Sample Size = 82.930.

b The group sizes are unequal. The harmonic mean of the group sizes is used. Type I error levels are not guaranteed.

9. ตัวอย่างผู้มีนิม 2 กลุ่มมีค่าเฉลี่ยความยาว SL6 แตกต่างกันอย่างมีนัยสำคัญทางสถิติ ที่ $p \leq 0.05$ นอกจากนี้ตัวอย่างผู้มีนิมจากหมู่เกาะมีค่าเฉลี่ยความยาว SL6 น้อยที่สุด (ตารางที่ 11)

ตารางที่ 9 แสดงผลการเปรียบเทียบค่าเฉลี่ยความยาว TL4 ของตัวอย่างผึ้งมีนตามสภาพภูมิอากาศและหมู่เกาะ

TL4: Student-Newman-Keuls^{a, b}

Regions	N	Subset for alpha = .05	
		1	2
Island	150	1.310395	
North	75	1.321397	
South	180		1.339101
Central	195		1.339780
East	30		1.340000
North-east	120		1.349683
Significance		.123	.447

Means for groups in homogeneous subsets are displayed.

a Uses Harmonic Mean Sample Size = 82.930.

b The group sizes are unequal. The harmonic mean of the group sizes is used. Type I error levels are not guaranteed.

ตารางที่ 10 แสดงผลการเปรียบเทียบค่าเฉลี่ยความยาว SL3 ของตัวอย่างผึ้งมีนตามสภาพภูมิอากาศและหมู่เกาะ

SL3: Student-Newman-Keuls^{a, b}

Regions	N	Subset for alpha = .05		
		1	2	3
Island	150	1.747156		
South	180		1.774369	
Central	195		1.785347	1.785347
North	75		1.785780	1.785780
East	30		1.795203	1.795203
North-east	120			1.797412
Significance		1.000	.061	.473

Means for groups in homogeneous subsets are displayed.

a Uses Harmonic Mean Sample Size = 82.930.

b The group sizes are unequal. The harmonic mean of the group sizes is used. Type I error levels are not guaranteed.

10. ตัวอย่างผึ้งมีน 3 กลุ่มมีค่าเฉลี่ยความยาว AL แตกต่างกันอย่างมีนัยสำคัญทางสถิติ ที่ $p \leq 0.05$ นอกจากนี้ตัวอย่างผึ้งมีนจากหมู่เกาะมีค่าเฉลี่ยความยาว AL น้อยที่สุด และมีความแตกต่างจากตัวอย่างผึ้งมีนบนแผ่นดินใหญ่อย่างมีนัยสำคัญทางสถิติ ที่ $p \leq 0.05$ (ตารางที่ 12)

ตารางที่ 11 แสดงผลการเปรียบเทียบค่าเฉลี่ยความยาว SL6 ของตัวอย่างผึ้งมี้มตามสภาพภูมิอากาศและหมู่เกาะ

SL6: Student-Newman-Keuls^{a, b}

Regions	N	Subset for alpha = .05	
		1	2
Island	150	1.439443	
North	75	1.450090	1.450090
South	180	1.450256	1.450256
Central	195	1.450682	1.450682
North-east	120		1.456569
East	30		1.459159
Significance		.192	.494

Means for groups in homogeneous subsets are displayed.

a Uses Harmonic Mean Sample Size = 82.930.

b The group sizes are unequal. The harmonic mean of the group sizes is used. Type I error levels are not guaranteed.

ตารางที่ 12 แสดงผลการเปรียบเทียบค่าเฉลี่ยความยาว AL ของตัวอย่างผึ้งมี้มตามสภาพภูมิอากาศและหมู่เกาะ

AL: Student-Newman-Keuls^{a, b}

Regions	N	Subset for alpha = .05		
		1	2	3
Island	150	2.777159		
South	180		2.812539	
Central	195		2.831095	
North-east	120		2.834275	
North	75		2.841184	
East	30			2.879469
Significance		1.000	.125	1.000

Means for groups in homogeneous subsets are displayed.

a Uses Harmonic Mean Sample Size = 82.930.

b The group sizes are unequal. The harmonic mean of the group sizes is used. Type I error levels are not guaranteed.

บทที่ 5

อภิปรายผลการศึกษา

จากการวิเคราะห์ปัจจัยครั้งที่ 1 เพื่อคัดเลือกลักษณะทางสัณฐานวิทยาที่มีค่า factor loading มากกว่าค่าสมบูรณ์ 0.6 จากลักษณะทางสัณฐานวิทยาทั้งหมด 22 ลักษณะ ในตัวอย่างผึ้งงานของผึ้งมีน์ 50 รัง ๆ ละ 15 ตัว พบร่วมกับ 14 ลักษณะที่ถูกคัดเลือกไว้ ได้แก่ abdomen-total length of 3rd tergite (TL3) total length of 4th tergite (TL4) hind leg-length of femur (FEL) length or depth of 6th sternite (SL6) length of tibia (TL) length of metatarsus (ML) total length of 3rd sternite (SL3) forewing-length of radial cell (RCL) length of forewing (FWL) length of apical portion of radial cell (ARCL) total length of antenna (AL) angle 37 of venation (AN37) number of hamuli (NH) angle 34 of venation (AN34) ซึ่งทั้ง 14 ลักษณะนี้ถูกนำไปวิเคราะห์ปัจจัยครั้งที่ 2 เพื่อจำแนกกลุ่มปัจจัยได้ 4 กลุ่ม ซึ่งใช้เป็นตัวแปรหรือปัจจัยใหม่ เมื่อพิจารณาความสัมพันธ์ของตัวแปรในปัจจัยใหม่ทั้ง 4 กลุ่มที่มีค่า factor loading มากกว่าค่าสมบูรณ์ 0.6 พบร่วมปัจจัยที่ 1 มีความสัมพันธ์กับความยาวลำตัว ขาหลังและหนวด ปัจจัยที่ 2 มีความสัมพันธ์กับความยาวเล็บปีกหน้าและปีกหน้า ปัจจัยที่ 3 มีความสัมพันธ์กับจำนวนชานูไลและขนาดมุมที่ 37 และปัจจัยที่ 4 มีความสัมพันธ์กับขนาดมุมที่ 34

เมื่อกำค่าตัวแปรหรือปัจจัยใหม่ (factor score) ทั้ง 4 กลุ่มจากการวิเคราะห์ปัจจัยครั้งที่ 2 ไปจับคู่เขียนกราฟการกระจายเพื่อจำแนกกลุ่มตัวอย่างผึ้งมีน์ตามสภาพภูมิอากาศและหมู่เกาะ และเขียนกราฟการกระจายเพื่อจำแนกกลุ่มตัวอย่างผึ้งมีน์ที่อยู่เหนือและใต้เส้นละติจูดที่ 12°N พบร่วมไม่สามารถจำแนกกลุ่มตัวอย่างผึ้งมีน์ได้ นอกจากนี้ผลการเขียนกราฟเดนโดยграммแสดงการรวมกลุ่มตัวอย่างผึ้งมีน์แต่ละจังหวัด ตามสภาพภูมิอากาศและหมู่เกาะ และตามที่อยู่เหนือและใต้เส้นละติจูดที่ 12°N จากการวิเคราะห์ทางสถิติด้วย Cluster Analysis พบร่วมไม่สามารถจำแนกกลุ่มตัวอย่างผึ้งมีน์ได้ ทั้งนี้อาจเนื่องมาจากการพุ่ตกรรมของผึ้งมีน์ได้แก่ พฤติกรรมการอพยพตามฤดูกาล การแยกรังและการหนีรังที่ค่อนข้างสูง

ผึ้งมีน์จะแสดงพฤติกรรมการอพยพตามฤดูกาลเมื่อมีความร้อนหรือปริมาณแสงอาทิตย์เพิ่มขึ้น ด้วยการย้ายไปหาที่สร้างรังใหม่ที่มีร่มเงาของต้นไม้ช่วยกันบังแสงอาทิตย์ (Tirgari, 1971) ส่วนพุ่ตกรรมการแยกรังของผึ้งมีน์นั้นสามารถแยกได้ปีละ 8 ครั้ง (Free, 1981) ซึ่งมีสาเหตุหลายประการ (สิริวัฒน์ วงศ์ศิริ, 2532) ได้แก่

1. จำนวนสมาชิกภายในรังมากเกินไป
2. อุณหภูมิภายในรังมีแนวโน้มสูงขึ้น
3. ขาดที่ว่างสำหรับวางไข่ เก็บน้ำผึ้งและเกสร
4. เริ่มมีผึ้งตัวผู้ในปริมาณมาก

5. ผึ้งนางพญาอายุมาก

โดยระยะทางที่ผึ้งมีน้ำยารังเนื่องจากพฤติกรรมการอพยพตามฤดูกาลและการแยกรังนั้น จะมีระยะทางไกล ๆ (Ruttner, 1988) ประมาณ 2-3 เมตร จนถึงหลายร้อยเมตร (Tirgari, 1971) ในบางครั้งผึ้งมีน้ำยารังเดินที่ตั้งรังหลายครั้งจนกระหงได้ที่ที่เหมาะสมสำหรับสร้างรังใหม่ (Ruttner, 1988) ถ้าย้ายรังไปในระยะทางไม่เกิน 100 เมตรจากรังเดิม ผึ้งมีน้ำยากลับมาเก็บน้ำผึ้ง และเก็บไข่ผึ้งจากรังเดิมไปสร้างรังใหม่ (Free, 1981; Ruttner, 1988)

ส่วนการย้ายรังในระยะทางไกล ๆ จะเกิดในกรณีที่ผึ้งมีน้ำยารังหรือทิ้งรัง ซึ่งจะเกิดขึ้นปีละ 2-3 ครั้ง (Free, 1981) โดยมีสาเหตุหลายประการ ได้แก่

1. สภาพอากาศร้อน แห้งแล้ง หรือขาดแคลนน้ำ (Ruttner, 1988) สำหรับทางภาคเหนือของประเทศไทยนั้นสามารถพบเห็นผึ้งมีน้ำยาระยะ 2 เดือนในฤดูแล้งและ 5 เดือนในฤดูฝน (กรกฎาคม-พฤษจิกายน) (Wongsiri et al., 1996)
2. การรุกรานจากศัตรู ซึ่งเป็นสาเหตุสำคัญที่ทำให้ผึ้งมีน้ำยารัง (Free, 1981) เช่น ผึ้งเสื้อหนอนกินไข่ผึ้ง (Free, 1981; สิริวัฒน์ วงศ์ศิริ, 2532) โรคศัตรูผึ้ง *Euvartoa sinhai* Delfinado & Baker, 1974 (Akratanakul and Burgett, 1976; Mossadegh and Birjandi, 1986) madet *Oecophylla smaragdina* (Seeley, 1985) ถึงแม้ว่า ผึ้งมีน้ำยาก็สามารถแสดงพฤติกรรมการต่อสู้กับศัตรูที่รุกรานได้ แต่ผึ้งมีน้ำยารังยังง่ายเมื่อถูกรบกวน (Morse and Benton, 1967) นอกจากนี้การตีผึ้งมีน้ำเพื่อเอาน้ำผึ้ง กะรนและตัวอ่อนมาเป็นอาหาร (Chen et al., 1998) รวมทั้งการขยายรังผึ้งมีน้ำเพื่อเพิ่มรายได้ของชาวบ้านนั้น (Wongsiri et al., 1996; Wongsiri et al., 2000) ยังเป็นสาเหตุสำคัญที่ทำให้ผึ้งมีน้ำยาระบบที่มีการกระจายออกไปกว้างมากขึ้นอีกด้วย (Crane, 1993; Wongsiri et al., 1996)
3. แหล่งอาหาร หรือพืชอาหารของผึ้ง จัดเป็นสาเหตุสำคัญอีกประการหนึ่งต่อการกระจายของผึ้ง (Koeniger and Vorwohl, 1979) เพราะผึ้งเป็นแมลงที่มีพฤติกรรมการเก็บรวบรวมน้ำผึ้งและกะรน จากน้ำหวานและกะรนของดอกไม้ เพื่อไว้ใช้ในยามขาดแคลนอาหาร (อุดม จิรเศวตถุ และสุทธิชัย สุทธิวรารักษ์, 2540) ซึ่งพันธุ์ไม้ที่เป็นพืชอาหารของผึ้งมีปลายประเภท ได้แก่ ไม้ป่า ไม้ผล พืชไร่ พืชผัก พืชอาหารสัตว์ พืชคลุนดิน ตลอดจนวัชพืชต่าง ๆ ซึ่งพืชอาหารแต่ละชนิดจะมีช่วงระยะเวลาในการออกดอกไม่ตรงกัน (ภาคผนวก 7) (จันทร์เพญ ลิมปพย่อง, 2540; Pyramarn and Wongsiri, 1986; Wongsiri and Tangkanasing, 1986) เช่น ดอกมะม่วงจะออกดอกในช่วงเดือนมกราคมถึงเดือนมีนาคม และดอกมะม่วงเป็นพืชอาหารที่ผึ้งมีน้ำยาระบบที่ชอบเข้าไปหากินหวาน (Wongsiri et al., 1996) ถ้าดอกมะม่วงroyal ผึ้งมีน้ำยาก็หาอาหารจากพืชอาหารชนิดอื่นที่อยู่ใกล้เคียงกันในระยะ 3 กิโลเมตร (Buchmann and Shipan, 1993) เพื่อทดสอบน้ำหวานจากดอกมะม่วง หรืออพยพย้ายรังเพื่อหาแหล่งอาหารแหล่งใหม่ นอกจากนี้ยังพบว่าผึ้งมีน้ำยาระบบที่มีในประเทศไทยจะแสดงพฤติกรรมการ

อพยพตามฤดูกาลไปยังแหล่งอาหารแหล่งใหม่ ถ้าในบริเวณที่สร้างรังมีการขาดแคลนอาหารตามฤดูกาล (สิริวัฒน์ วงศ์ศิริ, 2532; Ruttner, 1988; Deowanish *et al.*, 2001)

สำหรับผลการจำแนกกลุ่มตัวอย่างผึ้งมีน้ำด้วยสถิติ Cluster Analysis พบว่ามีตัวอย่างผึ้งมีน้ำเพียง 2 รังที่ถูกจัดให้อยู่ในกลุ่มที่ 2 คือ ตัวอย่างผึ้งมีน้ำจากจังหวัดประจวบคีรีขันธ์ (97) และภาคสมุย จังหวัดสุราษฎร์ธานี (87) ซึ่งแสดงถึงความผันแปรของประชากรผึ้งมีน้ำที่แตกต่างจากประชากรส่วนใหญ่ในบริเวณดังกล่าว ซึ่งการผันแปรนี้อาจเนื่องมาจากการถูกคัดเลือกให้เหมาะสมกับสภาพแวดล้อมเฉพาะถิ่นได้ อย่างไรก็ตามความสามารถของประชากรกลุ่มนี้ในด้านของจำนวนและการอยู่รอดจะมากหรือน้อยกว่าประชากรส่วนใหญ่เป็นส่วนที่จะต้องทำการศึกษารายละเอียดเพื่อหาข้อสรุปต่อไป

จากการวิเคราะห์ความแปรปรวนแบบทางเดียว และการเปรียบเทียบเชิงช้อนด้วยสถิติ Student-Newman-Keuls เพื่อทดสอบความแตกต่างระหว่างค่าเฉลี่ยของลักษณะทางสัณฐานวิทยาในแต่ละพื้นที่ตามสภาพภูมิอากาศและหมู่เกาะ เมื่อพิจารณาค่าเฉลี่ยของลักษณะทางสัณฐานวิทยาที่ล้มพันธ์กับขนาดลำตัว ได้แก่ abdomen-total length of 3rd tergite (TL3) total length of 4th tergite (TL4) total length of 3rd sternite (SL3) และ length or depth of 6th sternite (SL6) พบว่าตัวอย่างผึ้งมีน้ำจากหมู่เกาะมีขนาดลำตัวเล็กที่สุดเมื่อเปรียบเทียบกับผึ้งมีน้ำบนแผ่นดินใหญ่ ทั้งนี้สอดคล้องกับเกณฑ์ของ Bergmann ที่ว่า “สัตว์ที่อาศัยอยู่ในเขตตอบอุ่นจะมีขนาดลำตัวเล็กกว่า สัตว์ที่อาศัยอยู่ในเขตหนาว” (Ruttner, 1988) นอกจากนี้พบว่าค่าเฉลี่ยของลักษณะทางสัณฐานวิทยาที่เกี่ยวข้องกับongyang ค่าเฉลี่ยลักษณะทางสัณฐานวิทยาของ forewing-length of radial cell (RCL) length of apical portion of radial cell (ARCL) length of metatarsus (ML) และ total length of antenna (AL) จากตัวอย่างผึ้งมีน้ำบนหมู่เกาะมีค่าน้อยกว่าตัวอย่างผึ้งมีน้ำบนแผ่นดินใหญ่ เมื่อพิจารณาเฉพาะค่าเฉลี่ยลักษณะทางสัณฐานวิทยาของ forewing-length of radial cell (RCL) length of metatarsus (ML) total length of 3rd sternite (SL3) และ total length of antenna (AL) พบว่าสามารถแยกตัวอย่างผึ้งมีน้ำบนหมู่เกาะออกจากตัวอย่างผึ้งมีน้ำบนแผ่นดินใหญ่ได้ ทั้งนี้อาจเนื่องมาจากผึ้งมีน้ำบนหมู่เกาะซึ่งอาจจะเป็นผึ้งมีน้ำที่อยู่มาตั้งแต่ต้นเดิน หรือถูกนำเข้าไปโดยมนุษย์เป็นระยะเวลานาน ๆ นั้น เกิดกระบวนการกัดกินการผสมพันธุ์ระหว่างผึ้งมีน้ำบนหมู่เกาะกับผึ้งมีน้ำบนแผ่นดินใหญ่เนื่องจากมีลักษณะทางสัณฐานวิทยาคล้ายคลึงกัน (Geographical barrier) ได้แก่ ทะเบียนทำให้ประชากรผึ้งมีน้ำทั้ง 2 บริเวณไม่สามารถผสมพันธุ์แลกเปลี่ยนเจน (gene) กันได้ (นิตยา เลาะจินดา, 2539) แต่ตัวอย่างไรก็ตามลักษณะที่มีความแตกต่างกันอย่างมีนัยสำคัญ หรือมีการผันแปร ที่ชี้ให้เห็นถึงแนวโน้มการแยกออกจากกันระหว่างประชากรผึ้งมีน้ำบนหมู่เกาะกับแผ่นดินใหญ่ที่ศึกษาในครั้งนี้มีน้อยลักษณะ ซึ่งไม่น่าจะเพียงพอที่จะใช้ในการจำแนกกลุ่มได้

ส่วนผลการเปรียบเทียบค่าเฉลี่ยลักษณะทางสัณฐานวิทยาของ total length of antenna (AL) ในตัวอย่างผึ้งมีน้ำจากภาคตะวันออก พบว่าสามารถแยกออกจากกลุ่มอื่น ๆ ได้เช่นกัน และผลการเปรียบเทียบค่าเฉลี่ยลักษณะทางสัณฐานวิทยาของ length of metatarsus (ML) ในตัวอย่าง

ผึ้งมีม์จากภาคเหนือ พบร่วมกับผู้คนในภาคกลางและภาคใต้ แต่เมื่อพิจารณาจำนวนตัวอย่าง ผึ้งมีม์จากภาคตะวันออกและภาคเหนือจะพบว่ามีจำนวนน้อยมากเมื่อเปรียบเทียบกับภาคอื่น ๆ และหมู่เกาะ จึงน่าจะทำการศึกษารายละเอียดในส่วนนี้ต่อไปเพื่อทำข้อสรุปที่ชัดเจน

เมื่อพิจารณาผลการเปรียบเทียบค่าเฉลี่ยลักษณะทางสัณฐานวิทยาทั้ง 10 ลักษณะ พบร่วม ส่วนใหญ่มีรูปแบบการจัดจำแนกกลุ่มตัวอย่างผึ้งมีม์ในแต่ละลักษณะไม่สอดคล้องกัน ทั้งนี้อาจเนื่อง มาจากผึ้งมีม์พฤติกรรมการอพยพตามฤดูกาล (สิริวัฒน์ วงศ์ศิริ, 2532; Deowanish *et al.*, 2001; Ruttner, 1988) การแยกรังและการหนีรัง (Free, 1981; Ruttner, 1988) รวมทั้ง สามารถสร้างรังได้ในพื้นที่หลากหลาย (Ruttner, 1988; Wongsiri *et al.*, 2000) และมีพิษอาหาร หลายชนิด (จันทร์เพ็ญ ลิมปพยอม, 2540; Pyramarn and Wongsiri, 1986) ดังนั้นผึ้งมีม์จึงมี ความสามารถในการปรับตัวให้เข้ากับสิ่งแวดล้อมเพื่อการอยู่รอดได้ดี และพบกระจายอยู่ทั่วประเทศไทย

บทที่ 6

สรุปผลการศึกษา

- การศึกษาทางมอร์ฟومेटrik โดยใช้ลักษณะทางสัณฐานวิทยา 22 ลักษณะ คือ forewing-length of radial cell (RCL) length of apical portion of radial cell (ARCL) length of forewing (FWL) angle 34 of venation (AN34) angle 35 of venation (AN35) angle 37 of venation (AN37) hindwing-length of basal portion of radial vein (BRVL) number of hamuli (NH) length of vannal lobe (VL) hind leg-length of femur (FEL) length of tibia (TL) length of metatarsus (ML) tongue-total length of tongue (TONGL) length of labial palp (LPL) abdomen-total length of 3rd tergite (TL3) length of dark band of 4th tergite (DTL4) total length of 4th tergite (TL4) length of wax mirror on 3rd sternite (WSL3) total length of 3rd sternite (SL3) length or depth of 6th sternite (SL6) antenna-length of flagellum (FL) และ total length of antenna (AL) ของตัวอย่างผึ้งมีมีความหลากหลายและหมู่เกาะ และที่อยู่เหนือและใต้เส้นละติจูดที่ 12°N ของประเทศไทยไม่มีความแตกต่างกัน เมื่อทดสอบด้วยสถิติการวิเคราะห์ปัจจัย (Factor Analysis) และ การจำแนกกลุ่มด้วย Cluster Analysis
- การศึกษาทางมอร์ฟومेटrik โดยใช้ลักษณะทางสัณฐานวิทยา 4 ลักษณะ ได้แก่ forewing-length of radial cell (RCL) length of metatarsus (ML) total length of 3rd sternite (SL3) และ total length of antenna (AL) สามารถใช้จำแนกตัวอย่างผึ้งมีมีจากหมู่เกาะออก จากผึ้งมีมีบนแผ่นดินใหญ่ของประเทศไทยได เมื่อทดสอบด้วยสถิติการวิเคราะห์ความแปรปรวน แบบทางเดียว และการเปรียบเทียบเชิงช้อนด้วยสถิติ Student-Newman-Keuls
- การวิเคราะห์ปัจจัยครั้งที่ 1 ได้ลักษณะทางสัณฐานวิทยาของตัวอย่างผึ้งมีมีในประเทศไทยที่มี ค่าสัมประสิทธิ์ (factor loading) มากกว่าค่าสมบูรณ์ 0.6 อยู่ 14 ลักษณะ คือ abdomen-total length of 3rd tergite (TL3) total length of 4th tergite (TL4) length or depth of 6th sternite (SL6) length of tibia (TL) length of metatarsus (ML) total length of 3rd sternite (SL3) forewing-length of radial cell (RCL) length of forewing (FWL) length of apical portion of radial cell (ARCL) total length of antenna (AL) angle 37 of venation (AN37) number of hamuli (NH) angle 34 of venation (AN34)
- การวิเคราะห์ปัจจัยครั้งที่ 2 สามารถจำแนกกลุ่มปัจจัยใหม่ได 4 กลุ่ม คือ ปัจจัยที่ 1 มีความ สัมพันธ์กับความยาวลำตัว ขาหลังและหนวด คือ abdomen-total length of 3rd tergite (TL3) total length of 4th tergite (TL4) length or depth of 6th sternite (SL6) total length of 3rd sternite (SL3) length of tibia (TL) hind leg-length of femur (FEL) length of metatarsus (ML) และ total length of antenna (AL) ปัจจัยที่ 2 มีความสัมพันธ์กับความยาวเล็บปีกหน้า

และปีกหน้า คือ forewing-length of radial cell (RCL) length of apical portion of radial cell (ARCL) length of forewing (FWL) ปัจจัยที่ 3 มีความสัมพันธ์กับจำนวนไข่暮ไอลและขนาดมนุนที่ 37 คือ number of hamuli (NH) และ angle 37 of venation (AN37) และปัจจัยที่ 4 มีความสัมพันธ์กับขนาดมนุนที่ 34 คือ angle 34 of venation (AN34)

5. เนื่องจากจำนวนตัวอย่างผึ้งงานของผึ้งมีมีจากภาคเหนือและภาคตะวันออกของประเทศไทยที่ศึกษาในครั้งนี้มีปริมาณค่อนข้างน้อย จึงควรจะศึกษาเพิ่มเติม
6. จากการศึกษาลักษณะทางสัณฐานวิทยา 22 ลักษณะ พบร่วม 4 ลักษณะ ที่สามารถใช้จำแนกผึ้งมีมีจากหมู่เกาะօอกจากผึ้งมีมีบนแผ่นดินใหญ่ได้ จึงควรมีการศึกษาเปรียบเทียบลักษณะอื่น ๆ ของผึ้งมีมีจากหมู่เกาะและบนแผ่นดินใหญ่เพิ่มเติม โดยเฉพาะลักษณะที่เกี่ยวข้องกับการหาอาหาร
7. เนื่องจากระดับความสูงมีความสัมพันธ์กับลักษณะทางสัณฐานวิทยาบางลักษณะที่อาจทำให้สามารถจำแนกกลุ่มประชากรผึ้งชนิดเดียวกันได้ (Mattu and Verma, 1984a; 1984b; Verma et al., 1994; Hepburn et al., 2001) จึงควรศึกษาการจัดจำแนกกลุ่มประชากรผึ้งมีมีในประเทศไทยที่อยู่ต่างระดับความสูงกันด้วย

รายการอ้างอิง

ภาษาไทย

จันทร์เพ็ญ ลิมป์พยอม. 2540. ชนิดและแหล่งพืชอาหารผึ้ง. ในเอกสารวิชาการ สัมมนาการเลี้ยงผึ้งแห่งชาติ ครั้งที่ 5. หน้า 43-47. 20-21 มีนาคม ณ โรงแรมเชียงใหม่ภูค้ำ อำเภอเมือง จังหวัดเชียงใหม่.

นิตยา เลาะจินดา. 2539. วิถีวนากาชของสัตว์. กรุงเทพมหานคร: โรงพิมพ์ลินคอร์น.

พงศ์เทพ อัครอนกุล. 2534. ว่าด้วยผึ้งและการเลี้ยงผึ้ง. กรุงเทพมหานคร: โรงพิมพ์ไทยวัฒนาพาณิช.

เพ็ญศรี ตั้งคณะสิงห์. 2531. สัตว์นุกรมวิธานพร้อมตัวอย่างการศึกษาของໄร. กรุงเทพมหานคร: สำนักพิมพ์จุฬาลงกรณ์มหาวิทยาลัย.

สิริวัฒน์ วงศ์ศิริ. 2532. ชีววิทยาของผึ้ง. กรุงเทพมหานคร: แสงศิลป์การพิมพ์.

สิริวัฒน์ วงศ์ศิริ, สุรัตน์ เดียววาณิชย์ และศิรินันธ์ เอี่ยมประภา. 2542. ผึ้งหลวง (*Apis dorsata*) กับคนเมือง. งานวิจัย 2(3): 58-63.

เสานีย์ เสนาทอง. 2540. ฐานข้อมูลและการศึกษารูปแบบตระกูลของเด่าและตะพาบในประเทศไทย. วิทยานิพนธ์ปริญญามหาบัณฑิต ภาควิชาชีววิทยา บัณฑิตวิทยาลัย จุฬาลงกรณ์มหาวิทยาลัย.

อุดม จิรเศตกุล และสิทธิชัย สุทธิวรากษ์. 2540. ผึ้งกับการช่วยผสมเกสรพืช. ในเอกสารวิชาการ สัมมนาการเลี้ยงผึ้งแห่งชาติ ครั้งที่ 5. หน้า 34-42. 20-21 มีนาคม ณ โรงแรมเชียงใหม่ภูค้ำ อำเภอเมือง จังหวัดเชียงใหม่.

อุบลวรรณ บุญฉั่ว. 2538. ความแตกต่างของเชพพิลัยของผึ้ง 4 ชนิดที่อาศัยอยู่ร่วมกันในป่าดิบแล้ง. วิทยานิพนธ์ปริญญามหาบัณฑิต ภาควิชาชีววิทยา บัณฑิตวิทยาลัย จุฬาลงกรณ์มหาวิทยาลัย.

ภาษาอังกฤษ

Akratanakul, P., and Burgett, M. 1976. *Euvartoia sinhai* Delfinado and Baker (Acarina: Mesostigmata): A parasitic mite of *Apis florea*. Journal of Apicultural Research 15(1): 11-13.

Bookstein, F. L. 1982. Foundations of Morphometrics. Ann. Rev. Ecol. Syst. 13: 451-470.
Cited in เพ็ญศรี ตั้งคณะสิงห์. 2531. สัตว์นุกรมวิธานพร้อมตัวอย่างการศึกษาของໄร. กรุงเทพมหานคร: สำนักพิมพ์จุฬาลงกรณ์มหาวิทยาลัย.

Buchmann, S. L., and Shipman, C. W. 1993. Distribution of *Apis* foragers: Colony placement for pollination and honey production. In L. J. Connor; T. Rinderer; H. A. Sylvester; and S.

- Wongsiri (eds.), Asian Apiculture, pp. 410–414. Connecticut: Wicwas Press.
- Chen, et al. 1998. Honey bees and other edible insects used as human food in Thailand. American Entomologist 44(1): 24–29.
- Cochlov, B. P. 1916. Investigations on the length of the bee tongue. Min. of Agric. Petrograd. 17–41. (Russian). Cited in F. Ruttner. Biogeography and Taxonomy of Honeybees. Berlin: Springer–Verlag, 1988.
- Crane, E. 1979. Honey a Comprehensive Survey. London: Heinemann.
- Crane, E. 1990. Bees and Beekeeping: Science, Practice and World Resources. Oxford: Heinemann Newnes.
- Crane, E. 1993. Current status of research on Asian honey bee. In L. J. Connor; T. E. Rinderer; H. A. Sylvester; and S. Wongsiri (eds.), Asian Apiculture, pp. 19–41. Connecticut: Wicwas Press.
- Crane, E. 1999. The World History of Beekeeping and Honey Hunting. London: Duckworth.
- Crewe, R. M.; Hepburn, H. R.; and Moritz, R. F. A. 1994. Morphometric analysis of 2 southern African races of honeybee. Apidologie 25: 61–70.
- Daly, H. V. 1985. Insect morphometrics. Annual Review of Entomology 30: 415–438.
- Deowanish, S., et al. 2001. Biodiversity of dwarf honey bees in Thailand. In Wongsiri, S. (ed.), Proceedings of the Seventh International Conference on Tropical Bees: Management and Diversity & Fifth Asian Apicultural Association Conference 19–25 March, 2000, pp. 97–103. Thailand.
- Elzinga, R. J. 1997. Fundamentals of Entomology. 4th ed. New Jersey: Prentice Hall.
- Free, J. B. 1981. Biology and behaviour of the honeybee *Apis florea*, and possibilities for beekeeping. Bee World 62(2): 46–59.
- Fuchs, S.; Koeniger, N.; and Tingek, S. 1996. The morphometric position *Apis nuluensis* Tingek, Koeniger and Koeniger, 1996 within cavity-nesting honey bees. Apidologie 27: 397–405.
- Gould, J. L., and Gould, C. G. 1988. The Honey Bee. New York: Scientific American Library.
- Grantz, G. W. 1977. A manual of Acarology. Corvallis, Oregon: Harper & Row.
- Hepburn, H. R.; Radloff, S. E.; Verma, S.; and Verma, L. R. 2001. Morphometric analysis of

- Apis cerana* populations in the southern Himalayan region. *Apidologie* 32: 435-447.
- Koeniger, N., and Koeniger, G. 2000. Reproductive isolation among species of the genus *Apis*. *Apidologie* 31: 313-339.
- Koeniger, N.; Koeniger, G.; Tingek, S.; Mardan, M.; and Rinderer, T. E. 1988. Reproductive isolation by different time of drone flight between *Apis cerana* (Fabricius, 1793) and *Apis koschevnikovi* (Buttel-Reepen, 1906). *Apidologie* 19: 103-106.
- Koeniger, N., and Vorwohl, G. 1979. Competition for food among four sympatric species of Apini in Sri Lanka (*Apis dorsata*, *Apis cerana*, *Apis florea* and *Trigona iridipennis*). *Journal of Apicultural Research* 18(2): 95-109.
- Lekprayoon, S., and Wongsiri, S. 1989. Queen production with *Apis florea* in Thailand. *Proceedings of the First Asia-Pacific Conference of Entomology*, Chiang Mai, November 8-13.
- Limbipichai, K. 1990. *Morphometric studies on the eastern honey bee (*Apis cerana* Fabricius) in Thailand and the Malaysian Peninsula*. Master's Thesis, Department of Biology, Graduate School, Chulalongkorn University.
- Lord, W. G., and Nagi, S. K. 1987. *Apis florea* discovered in Africa. *Bee World* 68: 39-40. Cited in อุบลวรรณ บุญจำ. 2538. ความแตกต่างของชีพพิลัยของผึ้ง 4 ชนิดที่อาศัยอยู่ร่วมกัน ในป่าดินแดง. วิทยานิพนธ์ปริญญามหาบัณฑิต ภาควิชาชีววิทยา บัณฑิตวิทยาลัย จุฬาลงกรณ์มหาวิทยาลัย.
- Mattu, V. K., and Verma, L. R. 1983. Comparative morphometric studies on the Indian honeybee of the north-west Himalayas. 1. Tongue and antenna. *Journal of Apicultural Research* 22(2): 79-85.
- Mattu, V. K., and Verma, L. R. 1984a. Comparative morphometric studies on the Indian honeybee of the north-west Himalayas. 2. Wings. *Journal of Apicultural Research* 23 (1): 3-10.
- Mattu, V. K., and Verma, L. R. 1984b. Comparative morphometric studies on the Indian honeybee of the north-west Himalayas. 3. Hind leg, tergites and sternites. *Journal of Apicultural Research* 23(1): 3-10.
- Mattu, V. K., and Verma, L. R. 1984c. Morphometric studies on the Indian honeybee, *Apis cerana indica* F. effect of seasonal variations. *Apidologie* 15(1): 63-74.
- Mogga, J., and Ruttner, F. 1988. *Apis florea* in Africa: source of the founder population. *Bee*

- World 69(3): 100-103. Cited in อุบลวรรณ บุญจำ. 2538. ความแตกต่างของชีพพิสัยของผึ้ง 4 ชนิดที่อาศัยอยู่ร่วมกันในป่าดิบแล้ง. วิทยานิพนธ์ปริญญามหาบัณฑิต ภาควิชาชีววิทยา บัณฑิตวิทยาลัย จุฬาลงกรณ์มหาวิทยาลัย.
- Morimoto, H. 1965. Investigations on a method of measuring abdominal size in worker honeybees, *Apis mellifera ligustica* and *Apis cerana cerana*. Journal of Apicultural Research 4(1): 17-21.
- Morimoto, H. 1968. The use of the labial palpus as a measure of proboscis length in worker honeybees, *Apis mellifera ligustica* and *Apis cerana cerana*. Journal of Apicultural Research 4(1): 17-21.
- Morse, R. A., and Benton A. W. 1967. Venom collection from species of honeybees in south-east Asia. Bee World 48(1): 19-29.
- Mossadegh, M. S. 1993. New geographical distribution line of *Apis florea* in Iran. In Connor, L. J.; Rinderer, T. E.; Sylvester, H. A.; and Wongsiri, S. (eds.), Asian Apiculture, pp. 64-66. Connecticut: Wicwas Press.
- Mossadegh, M. S., and Birjandi, A. K. 1986. *Euvarroa sinhai* Delfinado & Baker (Acarina: Mesostigmata): A parasite mite on *Apis florea* F. in Iran. American Bee Journal 126 (10): 684-685.
- Otis, G. W. 1991. A review of the diversity of species within *Apis*. In Smith, D. R. (ed) Diversity in the Genus Apis. pp. 29-49. Boulder, Colorado: Westview Press.
- Otis, G. W. 1996. Distributions of recently recognized species of honey bees (Hymenoptera: Apidae; *Apis*) in Asia. Journal of the Kansas Entomological Society 69: 311-333.
- Pyramarn, K., and Wongsiri, S. 1986. Bee flora for four species of *Apis* in Thailand. Journal of Scientific Research Chulalongkorn University 11(2): 95-103.
- Radloff, S. E., and Hepburn, H. E. 1997a. Multivariate analysis of honeybees, *Apis mellifera* Linnaeus (Hymenoptera: Apidae), of the Horn of Africa. African Entomology 5(1): 57-64.
- Radloff, S. E., and Hepburn, H. E. 1997b. Multivariate analysis of honeybee populations, *Apis mellifera* Linnaeus (Hymenoptera: Apidae), from western central Africa: morphometrics and pheromones. African Entomology 5(2): 195-204.
- Radloff, S. E.; Hepburn, H. R.; Robertson, M. P.; van Hille, R.; Davidson, Z.; and Villet, M. H. 1996. Discriminant analysis of the honeybee populations of southwestern Africa.

African Entomology 4(1): 1–6.

- Rinderer, T. E.; Buco, S. M.; Rubink, W. L.; Daly, H. V.; Stelzer, J. A.; Riggio, R. M.; and Baptista, F. C. 1993. Morphometric identification of Africanized and European honey bees using large reference populations. Apidologie 24: 569–585.
- Rinderer, T. E.; Koeniger, N.; Tingek, S.; Mardan, M.; and Koeniger, G. 1989. A morphological comparison of the cavity dwelling honeybees of Borneo *Apis koschevnikovi* (Buttel-Reepen, 1906) and *A. cerana* (Fabricius, 1793). Apidologie 20: 405–411.
- Rinderer, T. E., Oldroyd, B. P.; Wongsiri, S.; Sylvester, H. A.; de Guzman, L. I.; Stelzer, J. A.; and Riggio, R. M. 1995. A morphological comparison of the dwarf honey bees of southeastern Thailand and Palawan, Philippines. Apidologie 26: 387–394.
- Ruttner, F. 1986. Geographical variability and classification. In T. E. Rinderer (ed.), Bee Genetics and Breeding, pp. 23–56. Florida: Academic Press.
- Ruttner, F. 1988. Biogeography and Taxonomy of Honeybees. Berlin: Springer-Verlag.
- Ruttner, F.; Milner, E.; and Dews, J. E. 1990. The Dark European Honey Bee. Brighton: G Beard & Son.
- Ruttner, F.; Pourasghar, D.; and Kauhausen, D. 1985. Die Honigbienen des RAN. 1. *Apis florea* Fabricius. Apidologie 16(2): 119–138. Cited in M. S. Mossadegh. New geographical distribution line of *Apis florea* in Iran. In Connor, L. J.; Rindere, T. E.; Sylvester, H. A.; and Wongsiri, S. (eds.), Asian Apiculture, pp. 64–66. Connecticut: Wicwas Press, 1993.
- Sakagami, S. F.; Matsumura, T.; and Ito, K. 1980. *Apis laboriosa* in Himalaya, the little known world largest honeybee (Hymenoptera : Apidae). Insecta Matsumurana 19: 47–77.
- Seeley, T. D. 1985. Honeybee Ecology. New Jersey: Princeton University Press.
- Seeley, T. D.; Seeley, R. H.; and Akratanakul, P. 1982. Colony defence strategies of the honeybees in Thailand. Ecological Monographs 52(1): 43–63. Cited in อุบลวรรณ บุญจำ. 2538. ความแตกต่างของชีพพิสัยของผึ้ง 4 ชนิดที่อาศัยอยู่ร่วมกันในป่าดิบแล้ง. วิทยานิพนธ์ปริญญามหาบัณฑิต ภาควิชาชีววิทยา บัณฑิตวิทยาลัย จุฬาลงกรณ์มหาวิทยาลัย.
- Stauffer, P. H. 1979. A fossilized honey bee comb from late cenozoic cave deposits at Batu caves, Malay Peninsula. Journal of Paleontology 53(6): 1416–1421. Cited in ลิริวัฒน์ วงศ์ศิริ. 2532. ชีววิทยาของผึ้ง. กรุงเทพมหานคร: แสงศิลป์การพิมพ์.

- Sylvester, H. A., and Wongsiri, S. 1986. Beekeeping and research needs in Thailand. *Apiaacta* 21: 119-125.
- Tirgari, S. 1971. On the biology and manipulation of *Apis (Micrapis) florea* F. in Iran. *Proc. 23rd Int. Apic. Congr.* 330-332.
- Verma, L. R.; Mattu, V. K.; and Daly, H. V. 1994. Multivariate morphometrics of the Indian honeybee in the northwest Himalayan region. *Apidologie* 25: 203-223.
- Whitcombe, R. P. 1984. *Apis florea*. Thesis Univ. Durham. Cited in F. Ruttner. *Biogeography and Taxonomy of Honeybees*. Berlin: Springer-Verlag, 1988.
- Wongsiri, S. 1988. Queen production, Advanced Course in Beekeeping with Apis cerana in Tropical and Subtropical Asia, 23 pp. Malaysia.
- Wongsiri, S.; Chanchao, C.; Deowanish, S.; Aemprapa, S.; Chaiyawong, T.; Petersen, S.; and Leepitakrat, S. 2000. Honey bee diversity and beekeeping in Thailand. *Bee World* 81 (1): 20-29.
- Wongsiri, S.; Lai, Y.; and Sylvester, H. A. 1990. Queen rearing with *Apis cerana*. *American Bee Journal* 130: 32-35.
- Wongsiri, S.; Lekprayoon, C.; Thapa, R.; Thirakhupt, K.; Rinderer, T. E.; Sylvester, H. A.; Oldroyd, B. P.; and Booncham, U. 1996. Comparative biology of *Apis andreniformis* and *Apis florea* in Thailand. *Bee World* 77(4): 23-35.
- Wongsiri, S., and Tangkanasing, P. 1986. *Apis cerana* F. beekeeping in Thailand: Problems and research needs. *Journal of Scientific Research Chulalongkorn University* 11(1): 1-6.
- Wongsiri, S., et al. 2001. (submitted). Comparative biology and distribution of the honey bees *Apis dorsata*, *A. florea*, and *A. andreniformis* (Hymenoptera: Apidae) in Thailand and the Indo-Malaysian Peninsula. *Apidologie*.
- Wu, Y., and Kuang, B. 1987. Two species of small honeybee a study of the genus *Micrapis*. *Bee World* 68: 153-155.

ภาคผนวก

ภาคผนวก 1

น้ำยาหอยเออร์ (Hoyer's Medium) (เพ็ญศรี ตั้งคณะสิงห์, 2531; Grantz, 1977) เป็นสารประเทกละลายน้ำได้ ดัดแปลงมาจากน้ำยาเบอร์ลีส (Berlese) โดยมีส่วนประกอบดังนี้

1. น้ำกลิ้น	50	มิลลิลิตร
2. กัมอาราบิก (gum arabic)	30	กรัม
3. คลอราลไฮเดรต (chloral hydrate)	200	กรัม
4. กลีเซอรีน (glycerine)	20	มิลลิลิตร

วิธีการเตรียม

1. ซึ่งกัมอาราบิกใส่ในถ้วยตวงที่มีน้ำกลิ้น ใช้แท่งแก้วคนกัมอาราบิกจนกระทั่งละลายนำ หมด
2. ค่อย ๆ ใส่คลอราลไฮเดรตทีละน้อย โดยใช้แท่งแก้วคนอยู่ตลอดเวลา ต่อจากนั้นจึงใส่กลีเซอรีน
3. ใช้แท่งแก้วคนต่อไปจนกระทั่งคลอราลไฮเดรตละลายหมด อาจจะใช้เครื่อง Stirrer ช่วยกวนให้คลอราลไฮเดรตละลายเร็วขึ้น ทิ้งไว้จนกระทั่งสารละลายอิ่มตัวดี
4. กรองสารละลายด้วยกระดาษกรองเบอร์ 4 (Filter paper whatman 4 MM) จะได้น้ำยาหอยเออร์ที่ปราศจากฝุ่นละออง
5. เก็บน้ำยาหอยเออร์ใส่ขวดแก้วที่มีฝาจุกปิดแน่น

ภาคผนวก 2

ค่าเฉลี่ยของตั้งแต่สูงที่สุดวันวิทยาแต่ละถังสำหรับแต่ละช่วง

Sampling area	Code	TONGL	LPL	FWL	RCL	ARCL	AN34	AN35	AN37	BRVL	VL	NH
Chiang Mai	50	3.3959	1.0523	6.4047	2.3694	1.4789	18.0483	99.8069	29.3043	1.0927	1.2499	11.0000
Chiang Mai	63	3.3923	1.0350	6.4455	2.3691	1.4951	18.9272	95.8074	25.5062	1.0930	1.2398	11.1333
Uttaradit	51	3.4215	1.0661	6.3251	2.2920	1.4382	19.1644	98.5060	27.9239	1.0875	1.2245	10.7333
Tak	76	3.1939	1.0659	6.3053	2.3299	1.4595	19.1942	98.4883	28.6761	1.0792	1.2180	11.0000
Phitsanulok	48	3.4548	1.0865	6.2964	2.3184	1.4838	19.1792	100.3606	27.5938	1.0792	1.2060	12.1333
Nong Khai	119	3.3976	1.0717	6.3028	2.3354	1.4507	19.4715	103.4859	29.1383	1.0744	1.1659	11.0000
Sakon Nakhon	109	3.4295	1.0640	6.2965	2.3054	1.4490	19.5523	98.9318	28.6943	1.0722	1.2424	11.4000
Khon Kaen	67	3.4099	1.0469	6.2543	2.3279	1.4601	19.5182	104.1508	27.2391	1.0446	1.1385	11.6000
Chaiyaphum	102	3.3788	1.0300	6.2049	2.2648	1.4538	18.6041	98.4642	26.1819	1.0693	1.2208	11.5333
Nakhon Ratchasima	36	3.3023	1.0571	6.2995	2.3529	1.4803	18.9888	97.0162	27.5058	1.0739	1.2184	11.0000
Nakhon Ratchasima	37	3.3491	1.0791	6.2559	2.3058	1.4492	19.4117	100.1176	27.2629	1.0989	1.1717	10.9333
Roi Et	118	3.4736	1.0915	6.3201	2.3374	1.4660	19.3581	100.2957	30.3814	1.0767	1.1575	11.4000
Ubon Ratchathani	116	3.3974	1.0809	6.3794	2.3290	1.4373	19.2302	99.0727	29.5374	1.1003	1.1948	10.9333
Lop Buri	19	3.2715	1.0546	6.2814	2.3407	1.4510	19.0922	96.8533	25.7289	1.0862	1.1647	10.7333
Lop Buri	20	3.2202	1.0913	6.3671	2.3436	1.4610	18.9403	95.6738	25.0071	1.1029	1.2160	11.3333

Sampling area	Code	TONGL	LPL	FWL	RCL	ARCL	AN34	AN35	AN37	BRVL	VL	NH
Lop Buri	21	3.3646	1.0743	6.3848	2.3484	1.4494	19.6311	101.9135	27.8290	1.1296	1.2530	11.3333
Lop Buri	25	3.2365	1.0638	6.3771	2.3395	1.4614	20.5174	99.2334	26.4980	1.1115	1.2133	11.3333
Lop Buri	26	3.4232	1.1184	6.4482	2.3505	1.4829	19.3575	100.1240	27.9588	1.1197	1.2686	10.8667
Lop Buri	29	3.5170	1.0857	6.3551	2.3392	1.4836	20.1092	101.5637	28.4563	1.0890	1.2344	11.4667
Ang Thong	136	3.0802	1.0475	6.2350	2.3213	1.4861	18.7316	101.2613	25.7376	1.0402	1.1962	11.3333
Suphan Buri	1	3.4221	1.0734	6.4225	2.3668	1.4843	19.0393	97.0959	26.9791	1.0976	1.2086	10.9333
Chanthaburi	72	3.4296	1.0819	6.2820	2.3199	1.4422	18.5186	98.5999	28.9138	1.0918	1.2035	10.7333
Trat	45	3.2335	1.0603	6.4680	2.3668	1.4720	18.3737	92.9825	28.0771	1.0768	1.2342	11.4000
Samut Prakan	140	3.2105	1.0554	6.2490	2.2961	1.4677	19.8026	103.4492	30.0463	1.0533	1.1895	11.0667
Samut Songkhram	43	3.3180	1.0352	6.0595	2.2396	1.4219	18.8309	100.7227	28.3905	1.0223	1.1343	11.1333
Samut Songkhram	44	3.3836	1.0358	6.2561	2.3168	1.4546	18.0608	100.5814	26.0525	1.0833	1.2363	11.8000
Ratchaburi	137	3.4015	1.0419	6.2112	2.3075	1.4501	19.0736	98.7793	29.3262	1.0533	1.1730	10.8667
Ratchaburi	138	3.3925	1.0508	6.1893	2.2824	1.4262	18.1277	100.8844	26.9391	1.0283	1.1396	11.4667
Phetchaburi	41	3.3951	1.0752	6.3664	2.3479	1.4860	19.0530	100.4452	29.5624	1.1290	1.1934	11.3333
Prachuap Khiri Khan	5	3.3153	1.0503	6.2174	2.3348	1.4753	19.9383	99.9710	30.6401	1.0539	1.2194	11.4000
Prachuap Khiri Khan	8	3.1896	1.0196	6.1286	2.2637	1.4445	19.0369	101.8932	27.4466	1.0086	1.2031	10.8000
Prachuap Khiri Khan	9	3.3817	1.0420	6.3547	2.3199	1.4569	18.2510	101.0584	28.3636	1.0647	1.2078	10.8667
Prachuap Khiri Khan	10	3.1804	1.0540	6.3357	2.3465	1.4730	18.7363	96.9158	27.9783	1.0680	1.2140	11.2000

Sampling area	Code	TONGL	LPL	FWL	RCL	ARCL	AN34	AN35	AN37	BRVL	VL	NH
Prachuap Khiri Khan	97	3.3876	1.0534	6.2010	2.3157	1.4679	19.2543	97.7034	28.8016	1.0555	1.1677	10.0667
Prachuap Khiri Khan	98	3.4064	1.0402	6.2542	2.3166	1.4554	19.8211	101.4745	27.7123	1.0834	1.1907	11.4667
Chumphon	14	3.4755	1.0692	6.4935	2.3675	1.4752	19.5282	98.2348	27.3726	1.1205	1.1837	11.2000
Chumphon	15	3.1092	1.0470	6.2408	2.2746	1.4284	19.2482	98.9983	28.0482	1.0758	1.1904	11.5333
Chumphon	139	3.3945	1.0611	6.3746	2.3577	1.4720	19.7817	98.1949	28.3739	1.0901	1.1752	11.4000
Surat Thani	94	3.3007	1.0368	6.2165	2.2881	1.4590	19.6647	99.9048	27.6557	1.0425	1.1908	10.8000
Surat Thani	95	3.1213	1.0487	6.3186	2.3032	1.4583	20.5975	98.8643	29.2538	1.0975	1.1631	11.0000
Pha-ngan Island	56	3.3879	1.0617	6.3392	2.3023	1.4680	19.3318	99.3118	27.5187	1.0681	1.1617	11.1333
Pha-ngan Island	57	3.3750	1.0297	6.0949	2.2041	1.3918	19.4780	101.2903	26.3002	1.0265	1.2152	11.0667
Pha-ngan Island	58	3.4043	1.0526	6.2008	2.2851	1.5027	21.1109	100.7376	26.4734	1.0400	1.1872	11.0667
Pha-ngan Island	59	3.2199	1.0597	6.1570	2.2794	1.4403	20.4685	101.4217	26.8174	1.0340	1.1321	11.4667
Samui Island	11	3.3645	1.0529	6.3438	2.3371	1.4427	17.5696	102.1918	27.5195	1.0789	1.1916	11.4667
Samui Island	12	3.1256	1.0331	6.3198	2.3151	1.4697	18.9143	98.9683	27.4626	1.0234	1.1383	10.8000
Samui Island	13	3.1919	1.0627	6.2840	2.3084	1.4567	19.0097	99.7137	27.6517	1.0273	1.2277	11.0000
Samui Island	82	3.3662	1.0493	6.2632	2.2882	1.4311	19.4663	100.4344	28.3236	1.0664	1.1640	11.4000
Samui Island	83	3.3981	1.0695	6.4034	2.3832	1.5035	17.4588	99.4065	28.0614	1.0315	1.1948	11.6667
Samui Island	87	3.2391	1.0154	6.0467	2.2512	1.4053	18.1537	98.7197	28.8087	0.9973	1.1368	10.9333

ค่าเฉลี่ยของตัวแปรทางสัมฐานวิทยาศาสตร์ระดับผิวในตัวอย่างน้ำที่จังหวัดแม่ฮ่องสอน (ต่อ)

Sampling area	Code	FEL	TL	ML	TL3	DTL4	TL4	SL3	WSL3	SL6	FL	AL
Chiang Mai	50	1.7092	2.1716	1.2237	1.3492	0.6292	1.3105	1.7702	0.7576	1.4381	1.7904	2.8435
Chiang Mai	63	1.6899	2.1496	1.2267	1.2798	0.5244	1.2832	1.7601	0.7798	1.4429	1.7841	2.8369
Uttaradit	51	1.7176	2.2056	1.2556	1.3778	0.5721	1.3200	1.8107	0.7561	1.4604	1.7763	2.8411
Tak	76	1.7145	2.1506	1.2429	1.3518	0.5448	1.3473	1.8207	0.7793	1.4438	1.7748	2.8243
Phitsanulok	48	1.7264	2.1784	1.2673	1.4006	0.6825	1.3460	1.7672	0.7525	1.4652	1.7758	2.8602
Nong Khai	119	1.7226	2.2070	1.2715	1.3803	0.5022	1.3321	1.7697	0.7475	1.4502	1.9762	2.8278
Sakon Nakhon	109	1.7364	2.2112	1.2722	1.3409	0.5365	1.3384	1.8040	0.7843	1.4700	1.7870	2.8454
Khon kaen	67	1.6879	2.1747	1.2378	1.3829	0.5251	1.3651	1.8101	0.8136	1.4426	1.7746	2.8289
Chaiyaphum	102	1.7123	2.1739	1.2291	1.3999	0.5112	1.3460	1.7869	0.7556	1.4589	1.7388	2.7823
Nakhon Ratchasima	36	1.7278	2.2299	1.2871	1.3636	0.5067	1.3314	1.7798	0.7545	1.4441	1.7522	2.8080
Nakhon Ratchasima	37	1.7350	2.1731	1.2828	1.3644	0.5099	1.3352	1.7833	0.7636	1.4483	1.7733	2.8292
Roi Et	118	1.7590	2.2502	1.2895	1.4027	0.5746	1.3568	1.8040	0.7414	1.4541	1.7777	2.8514
Ubon Ratchathani	116	1.7490	2.2397	1.2880	1.4417	0.5295	1.3924	1.8414	0.7899	1.4844	1.8286	2.9011
Lop Buri	19	1.7001	2.1646	1.2907	1.3946	0.5410	1.3460	1.7701	0.7742	1.4366	1.7846	2.8539
Lop Buri	20	1.7179	2.1704	1.2784	1.3558	0.5689	1.3302	1.8050	0.7682	1.4354	1.7830	2.8623
Lop Buri	21	1.7649	2.2173	1.2868	1.3695	0.5822	1.3505	1.8131	0.7510	1.4664	1.8078	2.9404
Lop Buri	25	1.7384	2.2054	1.2772	1.3949	0.5651	1.3924	1.8505	0.7530	1.4568	1.7722	2.8433

Sampling area	Code	FEL	TL	ML	TL3	DTL4	TL4	SL3	WSL3	SL6	FL	AL
Lop Buri	26	1.7694	2.2251	1.2865	1.4032	0.5511	1.3727	1.8369	0.7848	1.4856	1.8257	2.9007
Lop Buri	29	1.7317	2.2004	1.2447	1.3486	0.5181	1.3244	1.7601	0.7596	1.4402	1.7809	2.7775
Ang Thong	136	1.6853	2.1217	1.2339	1.2902	0.4800	1.2971	1.7727	0.7369	1.4225	1.7595	2.7986
Suphan Buri	1	1.7339	2.2052	1.2811	1.3860	0.5727	1.3651	1.7944	0.7773	1.4643	1.8212	2.8874
Chanthaburi	72	1.7284	2.2007	1.2520	1.3889	0.5054	1.3359	1.7646	0.7556	1.4471	1.7787	2.8410
Trat	45	1.7566	2.2378	1.2886	1.3619	0.5479	1.3441	1.8258	0.7707	1.4712	1.8329	2.9180
Samut Prakan	140	1.7621	2.2010	1.2748	1.3841	0.5060	1.3473	1.7950	0.7934	1.4414	1.7504	2.7988
Samut Songkhram	43	1.6632	2.1049	1.2216	1.3689	0.5340	1.3289	1.7242	0.7061	1.4366	1.7261	2.7492
Samut Songkhram	44	1.6918	2.1386	1.2619	1.3905	0.5270	1.3397	1.7944	0.7596	1.4658	1.7427	2.7759
Ratchaburi	137	1.6876	2.1604	1.2285	1.3448	0.4470	1.3346	1.7455	0.7424	1.4574	1.7588	2.8045
Ratchaburi	138	1.6875	2.1399	1.2411	1.3022	0.4863	1.2883	1.7475	0.7212	1.4499	1.7484	2.8116
Petchaburi	41	1.7497	2.2326	1.2724	1.4019	0.6241	1.3822	1.8136	0.7944	1.4637	1.7586	2.8167
Prachuap Khiri Khan	5	1.6873	2.1562	1.2483	1.3651	0.4959	1.3416	1.7551	0.7115	1.4126	1.7895	2.8131
Prachuap Khiri Khan	8	1.6768	2.1432	1.2204	1.3156	0.5016	1.2825	1.7283	0.7318	1.4441	1.7454	2.7695
Prachuap Khiri Khan	9	1.7465	2.2302	1.2799	1.3968	0.5079	1.3530	1.7955	0.7793	1.4751	1.7965	2.8607
Prachuap Khiri Khan	10	1.7265	2.1940	1.2432	1.3892	0.5016	1.3244	1.7712	0.7490	1.4505	1.7923	2.8359
Prachuap Khiri Khan	97	1.6884	2.1540	1.2267	1.3079	0.4857	1.2781	1.7323	0.7328	1.3943	1.7308	2.7464
Prachuap Khiri Khan	98	1.7051	2.1794	1.2631	1.3733	0.5092	1.3333	1.7864	0.7495	1.4571	1.7581	2.8056

Sampling area	Code	FEL	TL	ML	TL3	DTL4	TL4	SL3	WSL3	SL6	FL	AL
Chumphon	14	1.8092	2.2598	1.3311	1.4333	0.5949	1.3841	1.8111	0.7732	1.4715	1.8060	2.9087
Chumphon	15	1.7515	2.2164	1.2387	1.4063	0.5905	1.3619	1.7399	0.7242	1.4757	1.7742	2.8012
Chumphon	139	1.7331	2.1928	1.2505	1.3498	0.5511	1.3403	1.8131	0.7823	1.4604	1.7624	2.8190
Surat Thani	94	1.7083	2.1707	1.2471	1.3632	0.5092	1.3359	1.7576	0.7439	1.4384	1.7272	2.7486
Surat Thani	95	1.7417	2.1991	1.2667	1.3854	0.5086	1.3517	1.7884	0.7747	1.4598	1.7816	2.8248
Pha-ngan Island	56	1.7130	2.1704	1.2462	1.3365	0.5130	1.3016	1.7705	0.7530	1.4318	1.7678	2.8086
Pha-ngan Island	57	1.6847	2.1343	1.2141	1.3244	0.4933	1.2819	1.7081	0.7232	1.3964	1.7116	2.7433
Pha-ngan Island	58	1.7325	2.1738	1.2384	1.3797	0.5416	1.3568	1.8020	0.7702	1.4589	1.7260	2.7796
Pha-ngan Island	59	1.6691	2.0906	1.2117	1.3232	0.5092	1.2838	1.7121	0.7273	1.4024	1.7091	2.7014
Samui Island	11	1.7467	2.2126	1.2225	1.4114	0.5556	1.3663	1.7702	0.7177	1.4805	1.7494	2.7954
Samui Island	12	1.7401	2.1873	1.2384	1.3545	0.5425	1.3135	1.7698	0.7627	1.4761	1.7284	2.7431
Samui Island	13	1.7177	2.1697	1.2243	1.3244	0.4889	1.2927	1.7146	0.7444	1.4279	1.7592	2.7839
Samui Island	82	1.7330	2.1806	1.2550	1.3333	0.4794	1.2965	1.7414	0.7419	1.4586	1.7619	2.7886
Samui Island	83	1.7339	2.2147	1.2715	1.4083	0.5416	1.3613	1.7692	0.7495	1.4550	1.8462	2.8935
Samui Island	87	1.6573	2.1015	1.1913	1.2667	0.5886	1.2495	1.7135	0.6964	1.4069	1.7322	2.7341

ภาคผนวก 3

Factor Analysis 1

Descriptive Statistics

Characters	Mean	Std. Deviation	Analysis N
Zscore(TONGL)	-5.2202687E-15	1.0000000	50
Zscore(LPL)	1.017852E-14	1.0000000	50
Zscore(FWL)	-1.7132962E-14	1.0000000	50
Zscore(RCL)	5.329071E-16	1.0000000	50
Zscore(ARCL)	-2.0694557E-15	1.0000000	50
Zscore(AN34)	2.131628E-16	1.0000000	50
Zscore(AN35)	-4.2577053E-15	1.0000000	50
Zscore(AN37)	2.904343E-15	1.0000000	50
Zscore(BRVL)	1.776357E-15	1.0000000	50
Zscore(VL)	-3.9390713E-15	1.0000000	50
Zscore(NH)	-4.8139270E-15	1.0000000	50
Zscore(FEL)	-3.2418512E-15	1.0000000	50
Zscore(TL)	-3.3022474E-14	1.0000000	50
Zscore(ML)	1.065814E-16	1.0000000	50
Zscore(TL3)	1.945111E-15	1.0000000	50
Zscore(DTL4)	-5.0182081E-16	1.0000000	50
Zscore(TL4)	1.237233E-14	1.0000000	50
Zscore(SL3)	-4.6629367E-16	1.0000000	50
Zscore(WSL3)	-1.0746959E-15	1.0000000	50
Zscore(SL6)	-1.5716317E-14	1.0000000	50
Zscore(FL)	6.932233E-15	1.0000000	50
Zscore(AL)	3.286260E-15	1.0000000	50

Correlation Matrix

Characters	Zscore (TONGJ)	Zscore (LPL)	Zscore (FWL)	Zscore (RCL)	Zscore (ARCL)	Zscore (AN34)	Zscore (AN35)	Zscore (AN37)	Zscore (BRVLL)	Zscore (VL)	Zscore (NH)
Zscore(TONGL)	1.000	.357	.241	.211	.136	-.029	.152	.152	.328	.149	.122
Zscore(LPL)	.357	1.000	.592	.530	.365	.161	-.074	.174	.635	.293	.094
Zscore(FWL)	.241	.592	1.000	.865	.604	-.081	-.370	.012	.741	.479	.102
Zscore(RCL)	.211	.530	.865	1.000	.730	-.154	-.335	.077	.608	.366	.107
Zscore(ARCL)	.136	.365	.604	.730	1.000	.099	-.197	-.024	.315	.321	.120
Zscore(AN34)	-.029	.161	-.081	-.154	.099	1.000	.192	.068	.163	-.102	-.056
Zscore(AN35)	.152	-.074	-.370	-.335	-.197	.192	1.000	.189	-.239	-.235	.205
Zscore(AN37)	-.152	.174	.012	.077	-.024	.068	.189	1.000	.034	-.092	-.162
Zscore(BRVL)	.328	.635	.741	.608	.315	.163	-.239	.034	1.000	.466	.088
Zscore(VL)	.149	.293	.479	.366	.321	-.102	-.235	-.092	.466	1.000	.082
Zscore(NH)	.122	.094	.102	.107	.120	-.056	.205	-.162	.088	.082	1.000
Zscore(FEL)	.171	.582	.727	.490	.346	.126	-.102	.229	.637	.296	.086
Zscore(TL)	.300	.544	.736	.564	.346	.021	-.150	.330	.620	.318	.040
Zscore(ML)	.254	.607	.655	.564	.340	.134	-.198	.079	.876	.230	.083
Zscore(TL3)	.242	.424	.440	.329	.209	.047	.062	.186	.520	.132	.221
Zscore(DTL4)	.176	.337	.374	.299	.203	-.098	-.127	.032	.416	.185	.317
Zscore(TL4)	.224	.482	.535	.461	.338	.153	.017	.173	.617	.203	.244
Zscore(SL3)	.200	.514	.680	.565	.418	.157	-.160	.039	.697	.356	.129

Characters	Zscore (TONGL)	Zscore (LPL)	Zscore (FWL)	Zscore (RCL)	Zscore (ARCL)	Zscore (AN34)	Zscore (AN35)	Zscore (AN37)	Zscore (BRVLL)	Zscore (VL)	Zscore (NH)
Zscore(WSL3)	.197	.387	.615	.498	.485	.202	-.122	-.026	.536	.263	-.018
Zscore(SL6)	.200	.307	.580	.369	.214	-.120	-.065	.077	.505	.245	.244
Zscore(FL)	.215	.486	.575	.570	.254	-.097	-.057	.237	.417	.243	.032
Zscore(AL)	.286	.607	.781	.690	.354	-.134	-.297	.079	.670	.449	.133

Correlation Matrix (continue)

Characters	Zscore (FEL)	Zscore (TL)	Zscore (ML)	Zscore (TL3)	Zscore (DTL4)	Zscore (TL4)	Zscore (SL3)	Zscore (WSL3)	Zscore (SL6)	Zscore (FL)	Zscore (AL)
Zscore(TONGL)	.171	.300	.254	.242	.176	.224	.200	.197	.200	.215	.286
Zscore(LPL)	.582	.544	.607	.424	.337	.482	.514	.387	.307	.486	.607
Zscore(FWL)	.727	.736	.655	.440	.374	.535	.680	.615	.580	.575	.781
Zscore(RCL)	.490	.564	.564	.329	.299	.461	.565	.498	.369	.570	.690
Zscore(ARCL)	.346	.346	.340	.209	.203	.338	.418	.485	.214	.254	.354
Zscore(AN34)	.126	.021	.134	.047	-.098	.153	.157	.202	-.120	-.097	-.134
Zscore(AN35)	-.102	-.150	-.198	.062	-.127	.017	-.160	-.122	-.065	-.057	-.297
Zscore(AN37)	.229	.330	.079	.186	.032	.173	.039	-.026	.077	.237	.079
Zscore(BRVL)	.637	.620	.676	.520	.416	.617	.697	.536	.505	.417	.670
Zscore(VL)	.296	.318	.230	.132	.185	.203	.356	.263	.245	.243	.449

Characters	Zscore (FEL)	Zscore (TL)	Zscore (ML)	Zscore (TL3)	Zscore (DTL4)	Zscore (TL4)	Zscore (SL3)	Zscore (WSL3)	Zscore (SL6)	Zscore (FL)	Zscore (AL)
Zscore(NH)	.086	.040	.083	.221	.317	.244	.129	-.018	.244	.032	.133
Zscore(FEL)	1.000	.902	.749	.662	.363	.687	.636	.496	.701	.408	.638
Zscore(TL)	.902	1.000	.752	.697	.310	.713	.651	.502	.704	.524	.690
Zscore(ML)	.749	.752	1.000	.639	.263	.682	.703	.546	.542	.530	.763
Zscore(TL3)	.662	.697	.639	1.000	.367	.901	.584	.390	.657	.362	.507
Zscore(DTL4)	.363	.310	.263	.367	1.000	.364	.344	.169	.331	.129	.382
Zscore(TL4)	.687	.713	.682	.901	.364	1.000	.758	.531	.692	.375	.603
Zscore(SL3)	.636	.651	.703	.584	.344	.758	1.000	.727	.637	.386	.693
Zscore(WSL3)	.496	.502	.546	.390	.169	.531	.727	1.000	.463	.296	.507
Zscore(SL6)	.701	.704	.542	.657	.331	.692	.637	.463	1.000	.363	.571
Zscore(FL)	.408	.524	.530	.362	.129	.375	.386	.296	.363	1.000	.683
Zscore(AL)	.638	.690	.763	.507	.382	.603	.693	.507	.571	.683	1.000

KMO and Bartlett's Test

Kaiser-Meyer-Olkin Measure of Sampling Adequacy.	.815
Bartlett's Test of Sphericity	816.619
df	231
Significance	.000

Communalities

Characters	Initial	Extraction
Zscore (TONGL)	1.000	.542
Zscore (LPL)	1.000	.644
Zscore (FWL)	1.000	.896
Zscore (RCL)	1.000	.810
Zscore (ARCL)	1.000	.605
Zscore (AN34)	1.000	.801
Zscore (AN35)	1.000	.681
Zscore (AN37)	1.000	.652
Zscore (BRVL)	1.000	.692
Zscore (VL)	1.000	.403
Zscore (NH)	1.000	.732
Zscore (FEL)	1.000	.792
Zscore (TL)	1.000	.859
Zscore (ML)	1.000	.743
Zscore (TL3)	1.000	.808
Zscore (DTL4)	1.000	.459
Zscore (TL4)	1.000	.854
Zscore (SL3)	1.000	.786
Zscore (WSL3)	1.000	.656
Zscore (SL6)	1.000	.755
Zscore (FL)	1.000	.621
Zscore (AL)	1.000	.808

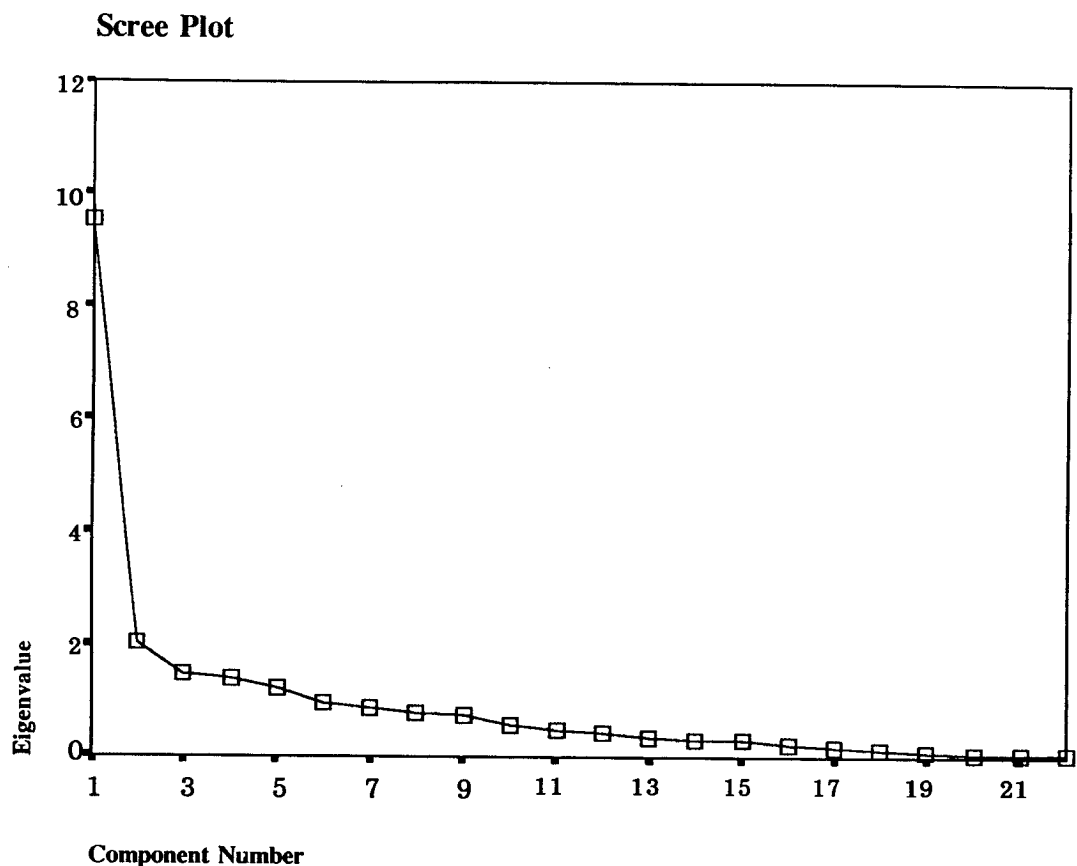
Extraction Method: Principal Component Analysis.

Total Variance Explained

Components	Initial Eigenvalues			Extraction Sums of Squared Loadings			Rotation Sums of Squared Loadings		
	Total	% of Variance	Cumulative %	Total	% of Variance	Cumulative %	Total	% of Variance	Cumulative %
1	9.535	43.339	43.339	9.535	43.339	43.339	6.263	28.469	28.469
2	2.004	9.109	52.448	2.004	9.109	52.448	4.657	21.167	49.636
3	1.471	6.686	59.134	1.471	6.686	59.134	1.708	7.765	57.401
4	1.374	6.246	65.380	1.374	6.246	65.380	1.523	6.923	64.324
5	1.216	5.526	70.906	1.216	5.526	70.906	1.448	6.582	70.906
6	.928	4.220	75.126						
7	.859	3.903	79.030						
8	.767	3.484	82.514						
9	.721	3.275	85.789						
10	.540	2.454	88.243						
11	.470	2.137	90.380						
12	.441	2.004	92.385						
13	.357	1.624	94.008						
14	.318	1.445	95.453						
15	.278	1.262	96.715						
16	.226	1.025	97.740						
17	.152	.693	98.434						

Components	Initial Eigenvalues			Extraction Sums of Squared Loadings			Rotation Sums of Squared Loadings		
	Total	% of Variance	Cumulative %	Total	% of Variance	Cumulative %	Total	% of Variance	Cumulative %
18	.131	.595	99.029						
19	7.363E-02	.335	99.364						
20	6.293E-02	.286	99.650						
21	4.992E-02	.227	99.877						
22	2.714E-02	.123	100.000						

Extraction Method: Principal Component Analysis.



Component Matrix

Characters	Components				
	1	2	3	4	5
Zscore(FWL)	.882	-.341			
Zscore(TL)	.866				
Zscore(AL)	.857				
Zscore(FEL)	.840	.207			
Zscore(ML)	.840				
Zscore(SL3)	.836			.278	
Zscore(BRVL)	.816				
Zscore(TL4)	.808	.389			
Zscore(RCL)	.760	-.435			
Zscore(SL6)	.722	.236	.268		-.325
Zscore(TL3)	.720	.478			
Zscore(LPL)	.703				.345
Zscore(WSL3)	.674		-.220	.385	
Zscore(FL)	.612				-.452
Zscore(ARCL)	.531	-.378		.254	.326
Zscore(VL)	.445	-.416			
Zscore(AN35)	-.216	.675			.420
Zscore(NH)			.735		.313
Zscore(DTL4)	.453		.495		
Zscore(AN34)		.349	-.505	.603	.244
Zscore(AN37)		.416	-.393	-.542	
Zscore(TONGL)	.341			-.255	.571

Extraction Method: Principal Component Analysis.

a 5 components extracted.

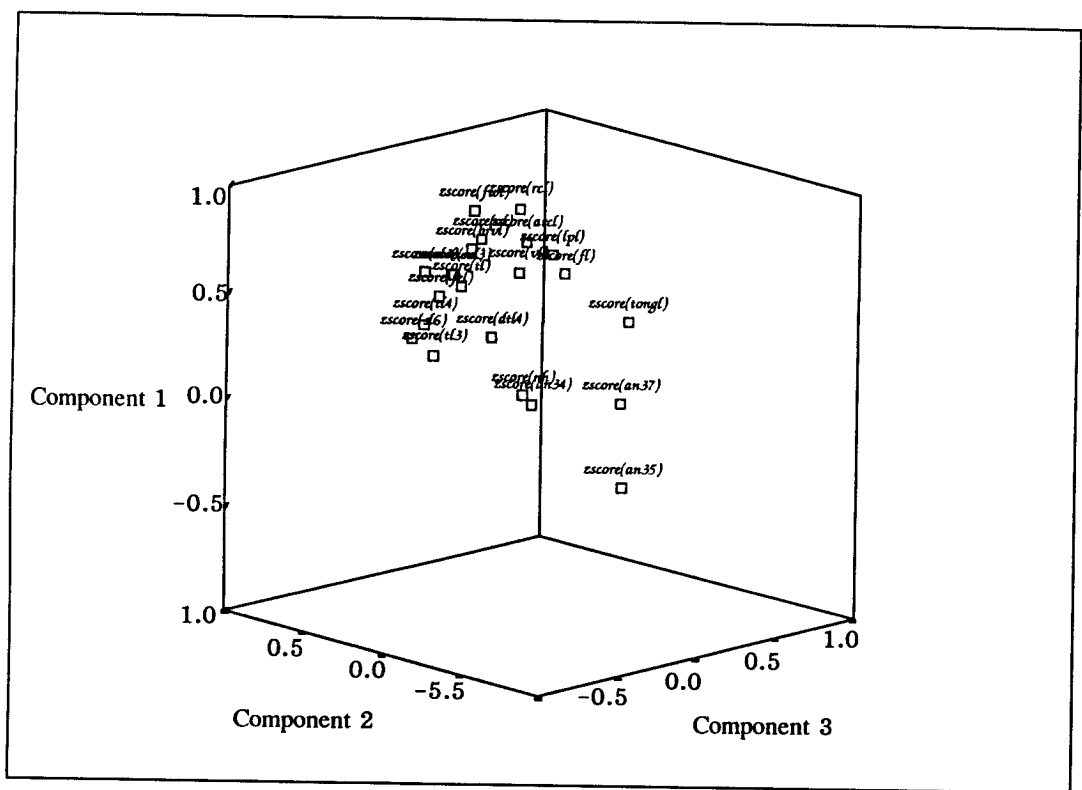
Rotated Component Matrix

Characters	Components				
	1	2	3	4	5
Zscore(TL4)	.862			.211	
Zscore(TL3)	.856			.221	
Zscore(FEL)	.821	.304			
Zscore(SL6)	.819				
Zscore(TL)	.812	.332	.278		
Zscore(ML)	.728	.426			
Zscore(SL3)	.715	.473			.204
Zscore(RCL)	.304	.823			
Zscore(FWL)	.519	.780			
Zscore(ARCL)		.731			.224
Zscore(AL)	.589	.608			-.233
Zscore(VL)		.592			
Zscore(BRVL)	.566	.582			
Zscore(LPL)	.376	.539	.423		
Zscore(WSL3)	.496	.517			.363
Zscore(AN35)		-.473	.448	.342	.368
Zscore(AN37)	.206		.698	-.299	
Zscore(TONGL)		.249	.600	.336	
Zscore(FL)	.350	.442	.484		-.237
Zscore(NH)				.848	
Zscore(DTL4)	.338	.231		.508	
Zscore(AN34)					.882

Extraction Method: Principal Component Analysis. Rotation Method: Varimax with Kaiser Normalization.

a Rotation converged in 11 iterations.

Component Plot in Rotated Space



ภาคผนวก 4

Factor Analysis 2

Descriptive Statistics

Characters	Mean	Std. Deviation	Analysis N
Zscore(FWL)	-1.7132962E-14	1.0000000	50
Zscore(RCL)	5.329071E-16	1.0000000	50
Zscore(ARCL)	-2.0694557E-15	1.0000000	50
Zscore(AN37)	2.904343E-15	1.0000000	50
Zscore(NH)	-4.8139270E-15	1.0000000	50
Zscore(FEL)	-3.2418512E-15	1.0000000	50
Zscore(TL)	-3.3022474E-14	1.0000000	50
Zscore(ML)	1.065814E-16	1.0000000	50
Zscore(TL3)	1.945111E-15	1.0000000	50
Zscore(TL4)	1.237233E-14	1.0000000	50
Zscore(SL3)	-4.6629367E-16	1.0000000	50
Zscore(SL6)	-1.5716317E-14	1.0000000	50
Zscore(AL)	3.286260E-15	1.0000000	50
Zscore(AN34)	2.131628E-16	1.0000000	50

Correlation Matrix

Characters	Zscore(TONGL)	Zscore(FWL)	Zscore(RCL)	Zscore(ARCL)	Zscore(AN37)	Zscore(NH)	Zscore(FEL)	Zscore(TL)
Zscore(TONGL)	1.000	.241	.211	.136	.152	.122	.171	.300
Zscore(FWL)	.241	1.000	.865	.604	.012	.102	.727	.736
Zscore(RCL)	.211	.865	1.000	.730	.077	.107	.490	.564
Zscore(ARCL)	.136	.604	.730	1.000	-.024	.120	.346	.346
Zscore(AN37)	.152	.012	.077	-.024	1.000	-.162	.229	.330
Zscore(NH)	.122	.102	.107	.120	-.162	1.000	.086	.040
Zscore(FEL)	.171	.727	.490	.346	.229	.086	1.000	.902
Zscore(TL)	.300	.736	.564	.346	.330	.040	.902	1.000
Zscore(ML)	.254	.655	.564	.340	.079	.083	.749	.752
Zscore(TL3)	.242	.440	.329	.209	.186	.221	.662	.697
Zscore(TL4)	.224	.535	.461	.338	.173	.244	.687	.713
Zscore(SL3)	.200	.680	.565	.418	.039	.129	.636	.651
Zscore(SL6)	.200	.580	.369	.214	.077	.244	.701	.704
Zscore(AL)	.286	.781	.690	.354	.079	.133	.638	.690
Zscore(AN34)	-.029	-.081	-.154	.099	.068	-.056	.126	.021

Correlation Matrix (continue)

Characters	Zscore(ML)	Zscore(TL3)	Zscore(TL4)	Zscore(SL3)	Zscore(SL6)	Zscore(AL)	Zscore(AN34)
Zscore(TONGL)	.254	.242	.224	.200	.200	.286	-.029
Zscore(FWL)	.655	.440	.535	.680	.580	.781	-.081
Zscore(RCL)	.564	.329	.461	.565	.369	.690	-.154
Zscore(ARCL)	.340	.209	.338	.418	.214	.354	.099
Zscore(AN37)	.079	.186	.173	.039	.077	.079	.068
Zscore(NH)	.083	.221	.244	.129	.244	.133	-.056
Zscore(FEL)	.749	.662	.687	.636	.701	.638	.126
Zscore(TL)	.752	.697	.713	.651	.704	.690	.021
Zscore(ML)	1.000	.639	.682	.703	.542	.763	.134
Zscore(TL3)	.639	1.000	.901	.584	.657	.507	.047
Zscore(TL4)	.682	.901	1.000	.758	.692	.603	.153
Zscore(SL3)	.703	.584	.758	1.000	.637	.693	.157
Zscore(SL6)	.542	.657	.692	.637	1.000	.571	-.120
Zscore(AL)	.763	.507	.603	.693	.571	1.000	-.134
Zscore(AN34)	.134	.047	.153	.157	-.120	-.134	1.000

KMO and Bartlett's Test

Kaiser-Meyer-Olkin Measure of Sampling Adequacy.		.791
Bartlett's Test of Sphericity	Approx. Chi-Square	599.400
	df	91
	Sig.	.000

Communalities

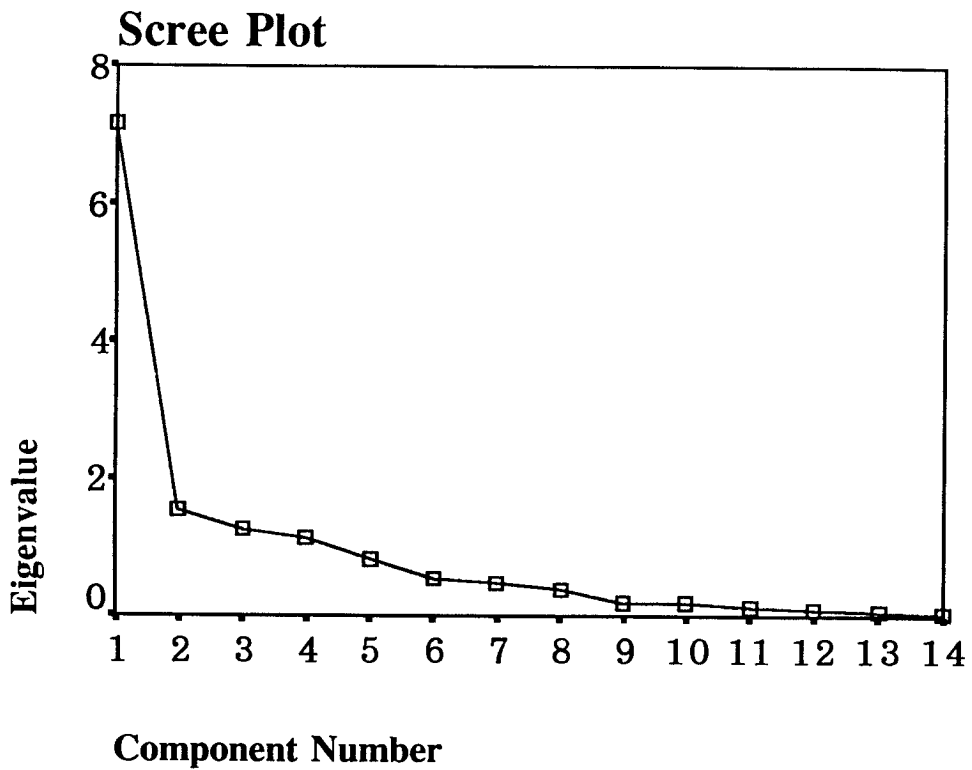
Characters	Initial	Extraction
Zscore(FWL)	1.000	.900
Zscore(RCL)	1.000	.899
Zscore(ARCL)	1.000	.751
Zscore(AN37)	1.000	.623
Zscore(NH)	1.000	.658
Zscore(FEL)	1.000	.805
Zscore(TL)	1.000	.883
Zscore(ML)	1.000	.732
Zscore(TL3)	1.000	.805
Zscore(TL4)	1.000	.859
Zscore(SL3)	1.000	.733
Zscore(SL6)	1.000	.751
Zscore(AL)	1.000	.756
Zscore(AN34)	1.000	.942

Extraction Method: Principal Component Analysis.

Total Variance Explained

Components	Initial Eigenvalues			Extraction Sums of Squared Loadings			Rotation Sums of Squared Loadings		
	Total	% of Variance	Cumulative %	Total	% of Variance	Cumulative %	Total	% of Variance	Cumulative %
1	7.159	51.137	51.137	7.159	51.137	51.137	5.467	39.050	39.050
2	1.552	11.084	62.221	1.552	11.084	62.221	3.183	22.732	61.782
3	1.259	8.994	71.214	1.259	8.994	71.214	1.266	9.041	70.823
4	1.128	8.060	79.275	1.128	8.060	79.275	1.183	8.451	79.275
5	.819	5.849	85.123						
6	.524	3.746	88.870						
7	.482	3.446	92.316						
8	.382	2.730	95.046						
9	.204	1.454	96.500						
10	.177	1.265	97.766						
11	.134	.955	98.721						
12	8.047E-02	.575	99.296						
13	6.643E-02	.475	99.770						
14	3.217E-02	.230	100.000						

Extraction Method: Principal Component Analysis.

**Component Matrix**

Characters	Components			
	1	2	3	4
Zscore(TL)	.893			
Zscore(FEL)	.868			
Zscore(FWL)	.855	-.394		
Zscore(TL4)	.847	.309		
Zscore(ML)	.846			
Zscore(SL8)	.834			
Zscore(AL)	.832			
Zscore(SL6)	.767		-.302	
Zscore(TL3)	.766	.412	-.221	
Zscore(RCL)	.785	-.569		
Zscore(ARCL)	.524	-.560	.214	.343
Zscore(NH)			-.757	.209
Zscore(AN37)		.444	.533	-.338
Zscore(AN34)		.377	.324	.833

Extraction Method: Principal Component Analysis.

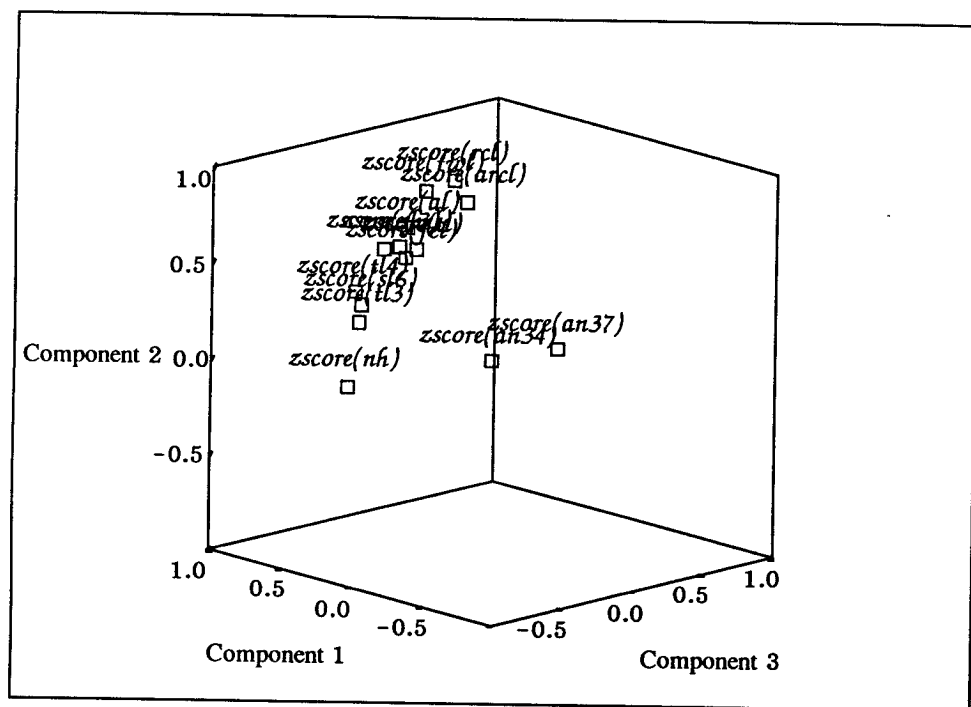
a 4 components extracted.

Rotated Component Matrix

Characters	Components			
	1	2	3	4
Zscore(TL3)	.894			
Zscore(TL4)	.887			
Zscore(SL6)	.820			-.209
Zscore(TL)	.819	.371	.267	
Zscore(FEL)	.805	.351		
Zscore(ML)	.724	.440		
Zscore(SL3)	.694	.468		
Zscore(AL)	.621	.566		-.221
Zscore(RCL)	.298	.886		.206
Zscore(ARCL)		.833		
Zscore(FWL)	.502	.792		
Zscore(NH)	.273		-.759	
Zscore(AN37)	.268		.732	
Zscore(AN34)				.966

Extraction Method: Principal Component Analysis. Rotation Method: Varimax with Kaiser Normalization.

a Rotation converged in 6 iterations.

Component Plot in Rotated Space

ภาคผนวก 5

Cluster Analysis

Case Processing Summary

Cases					
Valid		Missing		Total	
N	Percent	N	Percent	N	Percent
50	100.0	0	.0	50	100.0

a Average Linkage (Between Groups)

Agglomeration Schedule

Stage	Cluster Combined		Coefficients	Stage Cluster First Appears		Next Stage
	Cluster 1	Cluster 2		Cluster 1	Cluster 2	
1	76	29	.070	0	0	2
2	76	12	.130	1	0	6
3	51	119	.234	0	0	21
4	19	139	.305	0	0	7
5	21	41	.346	0	0	19
6	76	56	.429	2	0	11
7	19	10	.498	4	0	13
8	67	98	.498	0	0	28
9	5	94	.503	0	0	27
10	1	45	.504	0	0	29
11	76	36	.551	6	0	13
12	26	14	.557	0	0	19
13	76	19	.601	11	7	27
14	109	37	.620	0	0	20
15	43	57	.701	0	0	38
16	140	95	.722	0	0	41
17	118	116	.831	0	0	33
18	72	137	.852	0	0	21
19	21	26	.920	5	12	29
20	109	82	1.044	14	0	28
21	51	72	1.079	3	18	26
22	8	13	1.125	0	0	32

Stage	Cluster Combined		Coefficients	Stage Cluster First Appears		Next Stage
	Cluster 1	Cluster 2		Cluster 1	Cluster 2	
23	48	44	1.238	0	0	25
24	25	58	1.397	0	0	41
25	48	102	1.502	23	0	36
26	51	9	1.630	21	0	33
27	76	5	1.793	13	9	30
28	109	67	1.826	20	8	30
29	21	1	2.039	19	10	35
30	76	109	2.265	27	28	32
31	20	136	2.429	0	0	39
32	76	8	2.856	30	22	35
33	51	118	2.902	26	17	37
34	138	11	3.109	0	0	36
35	76	21	4.148	32	29	37
36	48	138	4.329	25	34	43
37	51	76	4.481	33	35	42
38	43	15	4.635	15	0	43
39	63	20	4.652	0	31	45
40	50	83	5.088	0	0	46
41	25	140	5.148	24	16	42
42	51	25	7.668	37	41	44
43	48	43	7.846	36	38	44
44	51	48	9.600	42	43	46
45	63	59	10.537	39	0	48
46	50	51	10.675	40	44	48
47	97	87	11.637	0	0	49
48	50	63	12.286	46	45	49
49	50	97	15.631	48	47	0

Cluster Membership

Case	2 Clusters
50: Chiang Mai	1
63: Chiang Mai	1
51: Uttaradit	1
76: Tak	1
48: Phitsanulok	1
119: Nong Khai	1
109: Sakon Nakhon	1
67: Khon kaen	1
102: Chaiyaphum	1
36: Nakhon Ratchasima	1
37: Nakhon Ratchasima	1
118: Roi Et	1
116: Ubon Ratchathani	1
19: Lop Buri	1
20: Lop Buri	1
21: Lop Buri	1
25: Lop Buri	1
26: Lop Buri	1
29: Lop Buri	1
136: Ang Thong	1
1: Suphan Buri	1
72: Chanthaburi	1
45: Trat	1
140: Samut Prakan	1
43: Samut Songkram	1
44: Samut Songkram	1
137: Ratchaburi	1
138: Ratchaburi	1
41: Phetchaburi	1
5: Prachuap Khiri Khan	1
8: Prachuap Khiri Khan	1
9: Prachuap Khiri Khan	1

Case	2 Clusters
10: Prachuap Khiri Khan	1
97: Prachuap Khiri Khan	2
98: Prachuap Khiri Khan	1
14: Chumphon	1
15: Chumphon	1
139: Chumphon	1
94: Surat Thani	1
95: Surat Thani	1
56: Pha-ngan Island	1
57: Pha-ngan Island	1
58: Pha-ngan Island	1
59: Pha-ngan Island	1
11: Samui Island	1
12: Samui Island	1
13: Samui Island	1
82: Samui Island	1
83: Samui Island	1
87: Samui Island	2

ภาคผนวก 6

One-Way ANOVA

Test of Normality

		Kolmogorov-Smirnov ^a			Shapiro-Wilk		
		Statistic	df	Significance	Statistic	df	Significance
TONGL	North	.141	75	.001			
	North-east	.134	120	.000			
	Central	.035	195	.200*			
	East	.152	30	.077	.876	30	.010**
	South	.147	180	.000			
	Island	.149	150	.000			
FWL	North	.083	75	.200*			
	North-east	.052	120	.200*			
	Central	.064	195	.049			
	East	.125	30	.200*	.927	30	.051
	South	.043	180	.200*			
	Island	.054	150	.200*			
RCL	North	.088	75	.200*			
	North-east	.068	120	.200*			
	Central	.059	195	.092			
	East	.102	30	.200*	.980	30	.825
	South	.033	180	.200*			
	Island	.051	150	.200*			
ARCL	North	.069	75	.200*			
	North-east	.048	120	.200*			
	Central	.040	195	.200*			
	East	.134	30	.182	.945	30	.179
	South	.031	180	.200*			
	Island	.041	150	.200*			
AN34	North	.065	75	.200*			
	North-east	.058	120	.200*			
	Central	.056	195	.200*			
	East	.103	30	.200*	.979	30	.811
	South	.055	180	.200*			
	Island	.032	150	.200*			

		Kolmogorov-Smirnov ^a			Shapiro-Wilk		
		Statistic	df	Significance	Statistic	df	Significance
AN37	North	.081	75	.200	.975	30	.705
	North-east	.051	120	.200			
	Central	.039	195	.200			
	East	.075	30	.200			
	South	.039	180	.200			
	Island	.037	150	.200			
NH	North	.167	75	.000	.888	30	.010**
	North-east	.201	120	.000			
	Central	.210	195	.000			
	East	.227	30	.000			
	South	.207	180	.000			
	Island	.204	150	.000			
FEL	North	.067	75	.200	.951	30	.270
	North-east	.089	120	.021			
	Central	.051	195	.200			
	East	.085	30	.200			
	South	.040	180	.200			
	Island	.069	150	.081			
TL	North	.088	75	.200	.984	30	.930
	North-east	.065	120	.200			
	Central	.038	195	.200			
	East	.084	30	.200			
	South	.041	180	.200			
	Island	.087	150	.007			
ML	North	.089	75	.200	.954	30	.313
	North-east	.076	120	.087			
	Central	.048	195	.200			
	East	.141	30	.133			
	South	.110	180	.000			
	Island	.066	150	.200			
TL3	North	.078	75	.200	.944	30	.172
	North-east	.065	120	.200			
	Central	.093	195	.000			
	East	.129	30	.200			
	South	.102	180	.000			
	Island	.082	150	.016			

		Kolmogorov-Smirnov*			Shapiro-Wilk		
		Statistic	df	Significance	Statistic	df	Significance
TL4	North	.065	75	.200	.943	30	.163
	North-east	.090	120	.018			
	Central	.068	195	.030			
	East	.131	30	.197			
	South	.083	180	.004			
	Island	.062	150	.200			
SL3	North	.096	75	.084	.927	30	.049
	North-east	.075	120	.094			
	Central	.048	195	.200			
	East	.131	30	.198			
	South	.075	180	.015			
	Island	.058	150	.200			
SL6	North	.100	75	.061	.959	30	.387
	North-east	.067	120	.200			
	Central	.058	195	.200			
	East	.132	30	.195			
	South	.072	180	.023			
	Island	.064	150	.200			
AL	North	.073	75	.200	.977	30	.750
	North-east	.104	120	.003			
	Central	.171	195	.000			
	East	.123	30	.200			
	South	.040	180	.200			
	Island	.046	150	.200			

* This is a lower bound of the true significance.

** This is an upper bound of the true significance.

a Lilliefors Significance Correction

Test of Homogeneity of Variances

Characters	Levene Statistic	df1	df2	Significance
FWL	2.259	5	744	.047
RCL	1.626	5	744	.151
ARCL	1.928	5	744	.088
AN34	4.851	5	744	.000
AN37	1.121	5	744	.348
FEL	2.169	5	744	.056
TL	2.331	5	744	.041
ML	1.563	5	744	.168
TL3	1.701	5	744	.132
TL4	1.459	5	744	.201
SL3	1.428	5	744	.212
SL6	1.075	5	744	.373
AL	.799	5	744	.551

ANOVA

		Sum of Squares	df	Mean Square	F	Significance
RCL	Between Groups	.124	5	.025	8.451	.000
	Within Groups	2.189	744	.003		
	Total	2.313	749			
ARCL	Between Groups	.024	5	.005	2.391	.036
	Within Groups	1.499	744	.002		
	Total	1.523	749			
AN37	Between Groups	169.723	5	33.945	6.144	.000
	Within Groups	4110.423	744	5.525		
	Total	4280.146	749			
FEL	Between Groups	.046	5	.009	4.374	.001
	Within Groups	1.569	744	.002		
	Total	1.616	749			
ML	Between Groups	.138	5	.028	19.077	.000
	Within Groups	1.077	744	.001		
	Total	1.215	749			
TL3	Between Groups	.126	5	.025	8.941	.000
	Within Groups	2.104	744	.003		
	Total	2.230	749			
TL4	Between Groups	.137	5	.027	12.997	.000
	Within Groups	1.570	744	.002		
	Total	1.707	749			
SL3	Between Groups	.214	5	.043	14.744	.000
	Within Groups	2.160	744	.003		
	Total	2.374	749			
SL6	Between Groups	.024	5	.005	3.685	.003
	Within Groups	.984	744	.001		
	Total	1.008	749			
AL	Between Groups	.473	5	.095	13.402	.000
	Within Groups	5.254	744	.007		
	Total	5.727	749			

ภาคผนวก 7

พืชอาหารของผึ้ง (*Apis spp.*) (ดัดแปลงมาจาก Pyramarn and Wongsiri, 1986)
กลุ่มพืชเพาะปลูก

No.	Family	Scientific name	Thai name	English name	Bee Collection		Blossom period
					nectar	pollen	
1	Anacardiaceae	<i>Mangifera indica</i> Linn.	มะม่วง	mango	+	-	Jan.-March
2	Alliaceae	<i>Allium sativum</i> Linn.	กระเทียม	garlic	-	+	Jan.-Feb.
3	Bombacaceae	* <i>Bombax ceiba</i> Linn.	ร้า	kapok tree, silk cotton tree	+	+	Feb.-March
4	Bombacaceae	<i>Ceiba pentandra</i> Gaertn.	บุบ	kapok, white	+	+	Feb.-March
5	Bombacaceae	<i>Durio zibethinus</i> Linn.	ทุเรียน	durian	+	+	Jan.-March
6	Bromeliaceae	<i>Ananas comosus</i> Merr.	สับปะรด	pine-apple	+	-	all year round
7	Cucurbitaceae	<i>Citrullus lanatus</i> Mats. & Nakai	แตงโม	water melon	-	+	Fan.-Feb.
8	Cucurbitaceae	<i>Cucumis sativus</i> Linn.	แครง瓜	cucumber	-	+	all year round
9	Cucurbitaceae	<i>Cucurbita moschata</i> Duch. ex Poir	ฟักทอง	pumpkin	+	-	all year round
10	Cucurbitaceae	<i>Luffa acutangula</i> Roxb.	บัวเหลี่ยม	Angled loofah	-	+	all year round
11	Cucurbitaceae	<i>Trichosanthes cucumerina</i> Linn.	บัวชน	-	-	+	all year round
12	Euphorbiaceae	<i>Hevea brasiliensis</i> Muell. Arg.	ยางพารา	para rubber	+	+	Jan.-March
13	Euphorbiaceae	<i>Manihot esculenta</i> Crantz	มันสำปะหลัง	Cassava, tapioca plant	-	+	Jan.-March
14	Gramineae	<i>Oryza sativa</i> Linn.	ข้าว	Rice	-	+	Oct.-Nov.
15	Gramineae	<i>Zea mays</i> Linn.	ข้าวโพด	Maize	-	+	all year round (abundantly in June-July)
16	Labiatae	<i>Ocimum sanctum</i> Linn.	กะเพรา	holy basil	+	+	all year round
17	Mimosaceae	<i>Leucaena leucocephala</i> de Wit	กระดินไทย	Leucaena	-	+	all year round
18	Meliaceae	<i>Sandoricum koetjape</i> Merr.	กระท้อน	sentul, sentol, red sentul, red sentol	+	+	March-April
19	Musaceae	<i>Musa sapientum</i> Linn.	กล้วยน้ำว้า	banana	+	-	all year round
20	Myrtaceae	<i>Eugenia javanica</i> Lamk.	ชนฑู่ แก้วแหห่ม, ชนฑู่เชียว	wax apple, java apple	+	+	all year round
21	Myrtaceae	<i>Eugenia malaccensis</i> Linn.	ชนฑู่สาหร่าย, ชนฑู่ม่า เหมียว	pomerac, Malay apple	+	+	all year round
22	Myrtaceae	<i>Psidium guajava</i> Linn.	พร่อง	guava	+	+	all year round
23	Palmae	<i>Cocos nucifera</i> Linn.	มะพร้าว	coconut palm	+	+	all year round

No.	Family	Scientific name	Thai name	English name	Bee Collection		Blossom period
					nectar	pollen	
24	Palmae	<i>Borassus flabellifer</i> Linn.	ตาลโคนด	palmyra palm, fan palm	-	+	March-May
25	Palmae	<i>Nypa fruticans</i> Wurmb.	จาก	atap palm	+	+	all year round
26	Pedaliaceae	* <i>Sesamum indicum</i> Linn.	งา	Sesame	+	+	July-Aug.
27	Rhamnaceae	<i>Zizyphus mauritiana</i> Lamk.	พุทรา	-	+	+	July-Aug.
28	Rubiaceae	<i>Coffea arabica</i> Linn.	กาแฟ	Arabica coffee	+	+	Dec.-Jan.
29	Rutaceae	<i>Citrus aurantium</i> Linn.	ส้ม	bitter orange	+	+	all year round
30	Rutaceae	<i>Citrus aurantifolia</i> Swingle	มะนาว	Lime	+	+	all year round
31	Rutaceae	<i>Citrus grandis</i> Osb.	ส้มโอ	pomelo, pummelo, shaddock	+	+	Feb.-March
32	Rutaceae	<i>Citrus hystrix</i> DC.	มะกรูด	leech lime, Mauritius-papeda	+	+	all year round
33	Rutaceae	<i>Citrus reticulata</i> Blanco	ส้มเชียหวาน	Mandarin orange	+	+	all year round (abundantly in Jan.-March)
34	Rutaceae	<i>Citrus sinensis</i> Osb.	ส้มเกลี้ยง, แข็ง	Sweet orange	+	+	all year round (abundantly in Jan.-March)
35	Sapindacee	<i>Euphoria longan</i> Steud.	ลำไย	longan	+	+	Feb.-March
36	Sapindaceae	<i>Litchi chinensis</i> Sonn.	ลิ้นจี่	litchi	+	+	Jan.-Feb.
37	Sapindaceae	<i>Nephelium lappaceum</i> Linn.	เงาะ	rambutan	+	+	Feb.-April

negative result = -, positive result = +

* = recommended for planting to increase honey product by Crane et al., 1984

กลุ่มไม้ประดับ

No.	Family	Scientific name	Thai name	English name	Bee Collection		Blossom period
					nectar	pollen	
1	Acanthaceae	<i>Asystasia gangetica</i> T. Anders.	นาทยา, ย่าทยา	-	-	+	all year round
2	Apocynaceae	<i>Cerbera odollam</i> Gaertn.	ตินเป็ดน้ำ	-	+	+	all year round
3	Araliaceae	<i>Brassaia actinophylla</i> Endl.	หนวด ปลาหมึก	octopus tree, umbrella tree	+	+	April-May
4	Bignoniaceae	<i>Jacaranda filicifolia</i> D. Don	ศรีตรัง	-	+	+	Jan.-April
5	Caesalpiniaceae	<i>Caesalpinia pulcherrima</i> Sw.	หางนกยูงไทย	peacock crest, pride of Barbados	-	+	all year round
6	Caesalpiniaceae	<i>Cassia siamea</i> Britt.	ขี้เหล็ก	Cassod tree, Thai copper pod	+	+	all year round

No.	Family	Scientific name	Thai name	English name	Bee Collection		Blossom period
					nectar	pollen	
7	Caesalpiniaceae	<i>Delonix regia</i> Rafin.	หางนกยูงผั่ง	flame of the forest, flambouyant tree	+	-	April-July
8	Caesalpiniaceae	<i>Peltophorum pterocarpum</i> Back. Ex Heyne	บันที	-	-	+	Feb.-March
9	Compositae	<i>Cosmos sulfureus</i> Cav.	ดาวกระจาย	cosmos	-	+	all year round
10	Compositae	<i>Helianthus annuus</i> Linn.	ทานตะวัน	sun flower	+	+	all year round
11	Convolvulaceae	<i>Ipomoea purpurea</i> Roth	ตอกผักกุ้ง	-	+	-	all year round
12	Dilleniaceae	<i>Tetracera loureiri</i> Pierre	รสสุคนธ์	-	-	+	all year round
13	Fabaceae	<i>Gliricidia sepium</i> Steud.	แคนฟูร์	-	+	+	Feb.-May
14	Fabaceae	<i>Pterocarpus indicus</i> Willd.	ประดู่เหลือง	-	+	+	March (only a week)
15	Guttiferae	<i>Calophyllum inophyllum</i> Linn.	กระพิง	Alexandrian-laurel	+	-	Jan.-March
16	Guttiferae	<i>Cratoxylum mangayi</i> Dyer	แค้ว	-	+	+	Nov.-Dec.
17	Guttiferae	<i>Mammea siamensis</i> Kosterm.	สารภี	-	+	-	Dec.-Jan.
18	Lecythidaceae	<i>Couroupita guinensis</i> Aubl.	สาลีลังกา, ลูกปืนใหญ่	cannon ball tree	+	+	all year round
19	Lythraceae	<i>Lagerstroemia floribunda</i> Jack	ตะแบกนา	-	+	+	June-Oct.
20	Lythraceae	<i>Lagerstroemia indica</i> Linn.	ยี่เช่ง	-	+	+	June-Oct.
21	Lythraceae	<i>Lagerstroemia loddonii</i> Teijsm. & Binn.	เสลา (ใบใหญ่)	-	+	+	April-May
22	Lythraceae	<i>Lagerstroemia macrocarpa</i> Wall.	อินทนิลนบก, จ้อล้อ	-	+	+	March-May
23	Lythraceae	<i>Lagerstroemia speciosa</i> Pers.	อินทนิลน้ำ	queen's crepe myrtle	+	+	Jan.-May
24	Mimosaceae	<i>Acacia farnesiana</i> Willd.	กระดินเทศ, ดอกคำใต้	sponge tree, cassie flower	-	+	Oct.-Nov.
25	Mimosaceae	<i>Samanea saman</i> Merr.	ชานทី	rain tree	+	+	Feb.-May
26	Nymphaeaceae	<i>Nelumbo nucifera</i> Gaertn.	บัวหลวง	lotus	-	+	all year round
27	Nymphaeaceae	<i>Nymphaea nouchali</i> Brum.	บัวเตื่อน	water lily	-	+	all year round
28	Palmae	<i>Veitchia merrillii</i> H.E. Moore	หมากนல, ปาล์มนเรนิล่า	Merrill's palm	-	+	Dec.-Feb.
29	Rutaceae	<i>Murraya paniculata</i> Jack	แก้ว	China box tree, orange jasmin, Andaman satinwood	+	+	all year round (abundantly in June-July)
30	Rutaceae	<i>Triphasia trifolia</i> P. Wils	มะนาวเทศ	lime berry	+	+	Jan.-Feb.
31	Sapotaceae	<i>Mimusops elengi</i> Linn.	พิกุล	bullet wood	+	+	Jan.-June
32	Thunbergiaceae	<i>Thunbergia erecta</i> G. Anders	ซ่องนาง	bush clockvine	+	+	all year round

negative result = -, positive result = +

กลุ่มวัชพืช

No.	Family	Scientific name	Thai name	English name	Bee Collection		Blossom period
					Nectar	pollen	
1	Amaranthaceae	<i>Alternanthera ficoidea</i> R.Br.ex Griseb var. bettzickian Back.	ผักเบี้ยแಡก	Joy wed	-	+	all year round
2	Commelinaceae	<i>Commelina bengalensis</i> Linn.	ผักปราน	day flower, wandering jew	-	+	all year round
3	Compositae	<i>Ageratum conyzoides</i> Linn.	สาบเน็งสาบ กะ	-	+	-	Nov.-Dec.
4	Compositae	<i>Eupatorium odoratum</i> Linn.	สาบเลือ	white snake root	+	+	all year round
5	Compositae	<i>Tridax procumbens</i> Linn.	ตีนตุ๊กแก	-	-	+	all year round
6	Compositae	<i>Vernonia cinerea</i> Less.	หญ้าลักษอง	little iron weed	-	+	all year round
7	Cyperaceae	<i>Cyperus rotundus</i> Linn.	หญ้าันหัวหมู	nut grass	-	+	all year round
8	Fabaceae	<i>Phaseolus lathyroides</i> Linn.f.	ถั่วฝรั่ง	-	-	+	all year round
9	Fabaceae	<i>Pueraria phaseoloides</i> Benth.	ถั่วเสียงข่า	-	-	+	all year round
10	Fabaceae	<i>Sesbania aculeata</i> Poir.	โสนคางคก	sesbania	-	+	all year round
11	Fabaceae	<i>Sesbania javanica</i> Miq.	ดอกโสน	sesbania	-	+	all year round
12	Gramineae	<i>Axonopus compressus</i> P. Beauv.	หญ้าปาก ควาย	-	-	+	all year round
13	Gramineae	<i>Eleusine indica</i> Gaertn.	-	goosegrass, were grass	-	+	all year round
14	Gramineae	<i>Imperata cylindrica</i> P. Beauv.	หญ้าคา	-	-	+	all year round (abundantly in May)
15	Gramineae	<i>Paspalum conjugatum</i> Berg.	หญ้านม หนอน	hilograss sour paspalum	-	+	all year round
16	Gramineae	<i>Pennisetum pedicellatum</i> Trin.	หญ้าขาวจน	-	-	+	all year round (abundantly in November)
17	Malvaceae	<i>Abutilon hirtum</i> Sweet	ครอบเจ้าวัว	-	-	+	all year round
18	Malvaceae	<i>Sida acuta</i> Burm.	หญ้าขัดอย	southern sida, broom weed	-	+	all year round
19	Mimosaceae	<i>Mimosa invisa</i> Mart. Ex Colla	ไม้ราบเดา (มีหนาน)	giant sensitive plant	-	+	all year round
20	Mimosaceae	<i>Mimosa invisa</i> Mart. Ex Colla var. <i>inermis</i> Adelb.	ไม้ราบเลือย (รีหนาน)	-	-	+	all year round
21	Mimosaceae	<i>Mimosa pigra</i> Linn.	ไม้ราบยกซ์	giant mimosa, thorny sensitive plant	-	+	all year round
22	Mimosaceae	<i>Mimosa pudica</i> Linn.	หญ้าแพ้ไข่, ไม้ราบ	sensitive plant	-	+	all year round

No.	Family	Scientific name	Thai name	English name	Bee Collection		Blossom period
					nectar	pollen	
23	Onagraceae	<i>Jussiaea linifolia</i> Vahl	เตี้ยบนา	water primrose	-	+	all year round
24	Passifloraceae	<i>Passiflora foetida</i> Linn.	กะทกรก	red fruit passion flower, passion flower	+	-	all year round
25	Typhaceae	<i>Typha angustifolia</i> Linn.	ธูปถุก, อกซัง	lesser reedmace	-	+	all year round
26	Scrophulariaceae	<i>Scoparia dulcis</i> Linn.	กระดายจาม ไหง, กระน้ำ	Macao tea	-	+	all year round
27	Xyridaceae	<i>Xyris indica</i> Linn.	กระตินนา	yellow eyed grass	-	+	June-Aug.

negative result = -, positive result = +

กลุ่มพืชในป่า

No.	Family	Scientific name	Thai name	English name	Bee Collection		Blossom period
					nectar	pollen	
1	Capparaceae (Capparidaceae)	<i>Crateva religiosa</i> Forst.F.	กุ่มบก	-	+	+	March-April
2	Dipterocarpaceae	<i>Dipterocarpus intricatus</i> Dyer	ยางคราด	-	+	-	Oct.-Dec.
3	Elaeocarpaceae	<i>Elaeocarpus hygrophilus</i> Kurz	มะกอกน้ำ	-	+	-	July-Sept.
4	Euphorbiaceae	<i>Croton oblongifolius</i> Roxb.	เบ้าใหญ่	-	+	+	July-Aug.
5	Euphorbiaceae	<i>Croton robustus</i> Kurz	เบ้าเลือด	-	+	+	July-Aug.
6	Musaceae	<i>Musa acuminata</i> Colla	กล้วยป่า	-	+	-	All year round

negative result = -, positive result = +

ภาคผนวก 8

รายละเอียดการเก็บตัวอย่าง

รหัสตัวอย่าง	สถานที่เก็บตัวอย่าง	วัน/เดือน/ปี
1	ไร่คุณพิพิพ ต. วังคัน อ. ด่านช้าง จ. สุพรรณบุรี	22/5/42
5	บ. คลาลัย ต. คลาลัย กิ่ง อ. ลamer้อยยอด จ. ปราจีนบุรี	1/6/42
8	บ. คงไม้งาม ต. ร่อนทอง อ. บางสะพาน จ. ปราจีนบุรี	1/6/42
9	บ. คงไม้งาม ต. ร่อนทอง อ. บางสะพาน จ. ปราจีนบุรี	1/6/42
10	บ. นาบเบิด ต. ทรายทอง อ. บางสะพานน้อย จ. ปราจีนบุรี	1/6/42
11	หาดเจว อ. เกาะสมุย จ. สุราษฎร์ธานี	3/6/42
12	หินตานินาย อ. เกาะสมุย จ. สุราษฎร์ธานี	3/6/42
13	วัดแจ้ง ต. อ่างทอง อ. เกาะสมุย จ. สุราษฎร์ธานี	4/6/42
14	ถ้ำสิงห์ อ. เมือง จ. ชุมพร	5/6/42
15	ถ้ำสิงห์ อ. เมือง จ. ชุมพร	5/6/42
19	อ. พัฒนานิคม จ. ลพบุรี	19/6/42
20	อ. พัฒนานิคม จ. ลพบุรี	19/6/42
21	อ. พัฒนานิคม จ. ลพบุรี	19/6/42
25	อ. พัฒนานิคม จ. ลพบุรี	19/6/42
26	อ. พัฒนานิคม จ. ลพบุรี	19/6/42
29	ต. ล้านารายณ์ อ. ชัยนาടดา จ. ลพบุรี	20/6/42
36	บ. เทพนิมิต ต. ตะแบกบาน อ. ครบุรี จ. นครราชสีมา	26/6/42
37	บ. เทพนิมิต ต. ตะแบกบาน อ. ครบุรี จ. นครราชสีมา	26/6/42
41	เชื่อนแก่งกระจาด กิ่ง อ. แก่งกระจาด จ. เพชรบุรี	11/7/42
43	ต. บางขันแทก อ. แม่กลอง จ. สมุทรสงคราม	12/7/42
44	ต. บางขันแทก อ. แม่กลอง จ. สมุทรสงคราม	12/7/42
45	ต. ค่าณชุมพล อ. บ่อไร่ จ. ตราด	16/10/42
48	เขตห้ามล่าสัตว์ป่าคำพ่อพลด อ. เนินมะปราง จ. พิษณุโลก	17/2/43
50	อ. เชียงดาว จ. เชียงใหม่	20/2/43
51	ต. ท่าอ้อสู อ. เมือง จ. อุตรดิตถ์	21/2/43
56	บ. นาเดื่อหวาน ต. เกาะพะজัน อ. เกาะพะ�ัน จ. สุราษฎร์ธานี	11/3/44
57	บ. ในสวน ต. เกาะพะจัน อ. เกาะพะจัน จ. สุราษฎร์ธานี	11/3/44
58	บ. นอก ต. บ้านใต้ อ. เกาะพะจัน จ. สุราษฎร์ธานี	12/3/44

รหัสตัวอย่าง	สถานที่เก็บตัวอย่าง	วัน/เดือน/ปี
59	บ. ໄຕ ต. บ้านใต้ อ. เกาะพะงัน จ. สุราษฎร์ธานี	12/3/44
63	อ. แมริน จ. เชียงใหม่	15/3/44
67	อ. พระยีน จ. ขอนแก่น	20/3/44
72	กองไม้แห้ง ศูนย์วิจัยพืชสวนพลี อ. แหลมสิงห์ จ. จันทบุรี	23/3/44
76	บ. สันกลาง จ. ตาก	28/3/44
82	บ. บางมะขาม ต. อ่างทอง อ. เกาะสมุย จ. สุราษฎร์ธานี	5/4/44
83	บ. โพrogกำ ต. อ่างทอง อ. เกาะสมุย จ. สุราษฎร์ธานี	5/4/44
87	บ. สารเกศ ต. คลึงงาม อ. เกาะสมุย จ. สุราษฎร์ธานี	6/4/44
94	ต. ตลาด อ. ไชยา จ. สุราษฎร์ธานี	8/4/44
95	ต. ตลาด อ. ไชยา จ. สุราษฎร์ธานี	8/4/44
97	บ. หนองตาเลือ ต. บ่อนอก อ. เมือง จ. ประจวบคีรีขันธ์	10/4/44
98	บ. หนองตาเลือ ต. บ่อนอก อ. เมือง จ. ประจวบคีรีขันธ์	10/4/44
102	บ. หนองดินดำ ต. บ้านแจ้ง อ. ภูเซี้ยะ จ. ชัยภูมิ	20/4/44
109	บ. ทุ่งโพธิ์ อ. วนรนิวาส จ. ศะลนคร	21/4/44
116	บ. ทุ่งณี ต. นาเจิง อ. ม่วงสามสิบ จ. อุบลราชธานี	22/4/44
118	ต. ชัยเมือง อ. เสลภูมิ จ. ร้อยเอ็ด	22/4/44
119	บ. โถกสะแบง ต. โถกเสี้ยว อ. โขพิสัย จ. หนองคาย	1/5/44
136	บ. ม่วงเตี้ย ต. ม่วงเตี้ย อ. วิเศษชัยชาญ จ. อ่างทอง	5/5/44
137	ต. ดำเนินสะดวก อ. ดำเนินสะดวก จ. ราชบุรี	12/5/44
138	ต. ดำเนินสะดวก อ. ดำเนินสะดวก จ. ราชบุรี	13/5/44
139	ศูนย์วิจัยพืชสวนชุมพร จ. ชุมพร	21/5/44
140	ต. แหลมฟ้าผ่า อ. พระสมุทรเจดีย์ จ. สมุทรปราการ	22/5/44

ประวัติผู้เขียนวิทยานิพนธ์

นางสาวทรอตนีย์ ไชยวงศ์ เกิดวันที่ 9 มีนาคม พ.ศ. 2518 ที่จังหวัดฉะเชิงเทรา ส่วนเรื่องการศึกษาระดับปริญญาตรีในปีการศึกษา 2539 โดยได้รับประกาศนียบัตรปริญญา วิทยาศาสตรบัณฑิต สาขาวิชาเอกชีววิทยา จากมหาวิทยาลัยบูรพา เช้าศึกษาต่อในหลักสูตร วิทยาศาสตรมหาบัณฑิต สาขาวิชาสัตววิทยา ภาควิชาชีววิทยา คณะวิทยาศาสตร์ จุฬาลงกรณ์มหาวิทยาลัย ในปีการศึกษา 2541